



UNIVERSIDAD NACIONAL AUTÓNOMA DE MÉXICO  
POSGRADO EN CIENCIA E INGENIERÍA DE LA COMPUTACIÓN  
COMPUTACIÓN CIENTÍFICA

*“Aproximación de datos dispersos con Series de Fourier y RBFs”*

TESIS  
QUE PARA OPTAR POR EL GRADO DE  
MAESTRO EN CIENCIAS DE LA COMPUTACIÓN

PRESENTA:  
URIEL OCTAVIO MORELES VÁZQUEZ

Director de Tesis:  
DRA. SUSANA GÓMEZ GÓMEZ  
INSTITUTO DE INVESTIGACIONES EN MATEMÁTICAS APLICADAS Y EN  
SISTEMAS

Ciudad Universitaria, Cd. Mx. Noviembre 2017



Universidad Nacional  
Autónoma de México

Dirección General de Bibliotecas de la UNAM

**Biblioteca Central**



**UNAM – Dirección General de Bibliotecas**  
**Tesis Digitales**  
**Restricciones de uso**

**DERECHOS RESERVADOS ©**  
**PROHIBIDA SU REPRODUCCIÓN TOTAL O PARCIAL**

Todo el material contenido en esta tesis esta protegido por la Ley Federal del Derecho de Autor (LFDA) de los Estados Unidos Mexicanos (México).

El uso de imágenes, fragmentos de videos, y demás material que sea objeto de protección de los derechos de autor, será exclusivamente para fines educativos e informativos y deberá citar la fuente donde la obtuvo mencionando el autor o autores. Cualquier uso distinto como el lucro, reproducción, edición o modificación, será perseguido y sancionado por el respectivo titular de los Derechos de Autor.



*Para mi abuela*

# Agradecimientos

Agradezco a el CONACYT por las becas otorgadas para cubrir los costos de manutención de mi estancia en la ciudad de México y en Alemania por un periodo total de dos años. Agradezco también a mi asesor en la Universidad de Giessen, Alemania, el Prof. Dr. Oleg Davydov, por su excelente asesoría durante mi estancia en ese país. El Prof. Davydov me proporcionó referencias relevantes para completar éste trabajo y me ayudó con la implementación de los métodos descritos en la tesis.

A mi asesora en la UNAM, la Dra. Susana Gómez, quiero agradecerle por su curso de Cómputo Científico en el cual aprendí a paralelizar algoritmos usando la librería MPI. La Dra. Gómez también me dio acceso al cluster IIMAS para compilar el código Fortran del método propuesto en la tesis.

También me gustaría agradecer al Dr. Pedro González Casanova por su curso de Funciones de Base Radial(RBFs). Un compañero de ese curso, Rafael Miranda Cordero, ayudó a demostrar que el método propuesto está bien planteado en el sentido de la existencia y unicidad de la solución.

El Dr. Marcos Aurelio Capistrán Ocampo fue mi asesor de tesis de licenciatura. Él fue quien propuso usar Series de Fourier para un problema particular de aproximación. Trabajando con él me di cuenta que la metodología usada en ese problema se podía usar en problemas más generales. Una diferencia fundamental

entre ese trabajo y el presente es la incorporación del término de regularización también llamado funcional de energía. Dicho término cuantifica la curvatura o rugosidad de la superficie aproximante.

A mis compañeros computólogos me gustaría agradecerles por su disposición en responder preguntas de alguien con una formación académica diferente.

Finalmente, me gustaría mencionar que los profesores que han influido en mi formación me han colocado en una buena posición para entender los temas avanzados necesarios para completar éste trabajo.

# Resumen

Un nuevo método de aproximación de datos dispersos es propuesto. El método se basa en la técnica de mínimos cuadrados con un término de regularización y usa series de Fourier. Se compara éste método con dos métodos recientes basados en series de Fourier, splines y RBFs. Se implementan experimentos numéricos con datos de referencia y datos reales.

# Índice general

|   |           |
|---|-----------|
| Dedicatoria   | III       |
| Agradecimientos   | IV        |
| Resumen   | VI        |
| Índice de figuras   | IX        |
| Índice de tablas  | X         |
| Siglas  | 1         |
| Introducción  | 2         |
| <b>1. Transformada rápida de Fourier para datos no equiespaciados</b> | <b>5</b>  |
| 1.1. Interpolación de datos dispersos con polinomios trigonométricos  | 11        |
| <b>2. Método local basado en splines y RBFs</b>                       | <b>15</b> |
| 2.1. Aproximación local híbrida . . . . .                             | 26        |
| <b>3. Método propuesto</b>  | <b>36</b> |
| 3.1. Calculando el Hessiano . . . . .                                 | 40        |

|   |           |
|---|-----------|
| <b>4. Resultados numéricos</b>            | <b>48</b> |
| 4.1. Datos de Franke . . . . .            | 48        |
| 4.2. Datos de Valles curvos . . . . .     | 51        |
| 4.3. Datos del glaciar . . . . .          | 53        |
| <b>5. Conclusiones y trabajo futuro</b>   | <b>57</b> |
| 5.1. Trabajo futuro . . . . .             | 58        |
| <b>A. Simplificando el sistema lineal</b> | <b>60</b> |
| <b>B. Código Fortran</b>                  | <b>83</b> |
| <b>Bibliografía</b>                       | <b>94</b> |

# Índice de figuras

|  |    |
|--|----|
| 2.1. La <i>mall</i> a <i>cuatro direccional</i> $\Delta$ que cubre el dominio $\Omega$ . . . . .                         | 19 |
| 2.2. Los índices $[m, l]$ de los puntos $\eta_{i,j}^{[m,l]}$ dentro del cuadrado $Q_{i,j}$ . .                           | 19 |
| 2.3. Un ejemplo de un MDS $\mathcal{M}$ . . . . .  | 20 |
| 2.4. Soporte de los splines base (triángulos blancos) de clase $C^1$ asociados con los puntos en $\mathcal{M}$ . . . . . | 26 |
| 4.1. Datos de Franke . . . . .   | 49 |
| 4.2. Métodos en los datos de Franke . . . . .  | 51 |
| 4.3. Métodos en los datos de valles curvos . . . . .   | 53 |
| 4.4. Métodos en los datos del glaciar . . . . .  | 55 |
| 4.5. Curvas de nivel . . . . .   | 56 |

# Índice de tablas

|  |    |
|--|----|
| 2.1. Significado de los parámetros usados en el método de Davydov [Davydov, Morandi y Sestini, 2006] . . . . .   | 35 |
| 3.1. Valor de $\int_{-h}^h \int_{-l}^l \cos(\frac{\pi mx}{l}) \cos(\frac{\pi ny}{h}) \cos(\frac{\pi ix}{l}) \cos(\frac{\pi jy}{h}) dx dy$ para distintos valores de $m, n, i, j$ . . . . . | 42 |
| 3.2. Valor de $\int_{-h}^h \int_{-l}^l \sin(\frac{\pi mx}{l}) \cos(\frac{\pi ny}{h}) \sin(\frac{\pi ix}{l}) \cos(\frac{\pi jy}{h}) dx dy$ para distintos valores de $m, n, i, j$ . . . . . | 43 |
| 3.3. Valor de $\int_{-h}^h \int_{-l}^l \cos(\frac{\pi mx}{l}) \sin(\frac{\pi ny}{h}) \cos(\frac{\pi ix}{l}) \sin(\frac{\pi jy}{h}) dx dy$ para distintos valores de $m, n, i, j$ . . . . . | 44 |
| 3.4. Valor de $\int_{-h}^h \int_{-l}^l \sin(\frac{\pi mx}{l}) \sin(\frac{\pi ny}{h}) \sin(\frac{\pi ix}{l}) \sin(\frac{\pi jy}{h}) dx dy$ para distintos valores de $m, n, i, j$ . . . . . | 45 |
| 4.1. Parámetros usados en el método de Davydov para los datos de Franke . . . . .  | 49 |
| 4.2. Parámetros usados en el método propuesto en los datos de Franke   | 49 |
| 4.3. Parámetro usado en el método de Potts para los datos de Franke  | 50 |
| 4.4. Error de aproximación de los métodos en una malla de tamaño 241 por 241 . . . . .   | 50 |
| 4.5. Parámetros usados por el método propuesto en los datos de valles curvos . . . . .   | 52 |

|  |    |
|--|----|
| 4.6. Parámetro usado en el método de Potts [Kunis y Potts, 2007]<br>para los valles curvos . . . . . | 52 |
| 4.7. Error de aproximación de los métodos para valles curvos . . . . .                               | 52 |
| 4.8. Parámetros usados por el método de Davydov en los datos del<br>glaciar . . . . .                | 54 |
| 4.9. Parámetros usados por el método propuesto en los datos del glaciar                              | 54 |

# Siglas

**BB** Bernstein-Bézier. 16, 17, 18, 23

**CONACYT** Consejo Nacional de Ciencia y Tecnología. IV

**FFT** Transformada Rápida de Fourier. 6, 7

**IIMAS** Instituto de Investigaciones en Matemáticas y en Sistemas. IV

**LHA** Aproximación Local Híbrida. 30

**MDS** Conjunto Mínimo Determinante. 17, 21

**MPI** Message Passage Interface. IV, 46

**NDFT** Transformada Discreta de Fourier No Equiespaciada. 5, 7, 9

**RBF** Función de Base Radial. VI, 3, 4, 15, 26, 27, 32, 33, 34

**SVD** Descomposición en Valores Singulares. 24

**UNAM** Universidad Nacional Autónoma de México. IV

# Introducción

El problema de aproximación de datos dispersos en dos dimensiones consiste en aproximar o reconstruir una función de la cual se conoce solamente un número finito de valores en puntos dispersos de un dominio acotado  $\Omega$ . Más precisamente, los datos de entrada del problema es un conjunto finito de puntos  $\{(X_i, Y_i, Z_i)\}_{i=1}^N$  donde  $(X_i, Y_i) \in \Omega \subset \mathbb{R}^2$  y  $Z_i$  son observaciones de una función desconocida  $g : \Omega \rightarrow \mathbb{R}$ ,  $Z_i \approx g(X_i, Y_i)$ . El objetivo es encontrar o construir una función  $f$  que aproxime a  $g$  en todo el dominio  $\Omega$ ,  $f(x, y) \approx g(x, y)$  para  $(x, y) \in \Omega$ . En el caso general, cuando los datos pueden estar contaminados por ruido, el problema es conocido como el problema de ajuste o aproximación de datos dispersos. Por otro lado, si los valores exactos de la función  $g$  son conocidos en los nodos  $(X_i, Y_i)$ ,  $Z_i = g(X_i, Y_i)$ , entonces a el problema se le conoce como el problema de interpolación de datos dispersos. Éste es un caso particular del problema general.

Los métodos de aproximación de datos dispersos se pueden clasificar como globales o locales. Los métodos locales dependen de triangulaciones del dominio en las cuales a cada elemento le corresponde una función componente que aproxima los datos de manera local. En contraste, los métodos globales no dependen de triangulación alguna y producen una función que aproxima los datos en todo el dominio. Entre los distintos métodos de aproximación de datos dispersos los

que se basan en funciones de base radial(RBFs) han recibido gran atención gracias a su precisión. Sin embargo, métodos globales basados en RBFs sufren de inestabilidad numérica. Ésta es la razón por la cual algunos autores usan RBFs localmente en conjuntos pequeños para desarrollar sus métodos como uno de los tres descritos en éste trabajo.

Otro tipo de funciones como los polinomios se usan para producir aproximaciones globales en una dimensión. Algunos científicos trataron de usar polinomios para atacar el problema en más de una dimensión hasta que en 1952 el teorema de Maihuber-Curtis fue demostrado estableciendo que el problema multivariado no está bien planteado<sup>1</sup>. Éste teorema motivó a los científicos a ir en otras direcciones.

Richard Franke [Franke, 1979] hizo una comparación crítica de 29 métodos de interpolación de datos dispersos de su época. Los criterios que él usó fueron: tiempo de ejecución, memoria utilizada, precisión y facilidad de implementación. Franke concluyó que los métodos basdos en RBFs eran los mejores.

Éste problema es de interés por sus aplicaciones entre las cuales listamos algunas. En restauración de imágenes los métodos de interpolación de datos dispersos se pueden usar para rellenar huecos en los datos. En este caso, datos faltantes en una imagen necesitan ser reconstruidos a partir de los datos disponibles. Una segunda aplicación es el modelado del suelo marino. El suelo marino es escaneado con sensores que se colocan en la base de los barcos. Dichos sensores emiten ondas que rebotan en el suelo marino y regresan al barco en distintos tiempos dependiendo de la profundidad. Los datos que se colectan se conocen como datos batimétricos que son convertidos en puntos espaciales y pueden

---

<sup>1</sup>el teorema de Mairhuber-Curtis es más general e involucra otro tipo de funciones además de polinomios

ajustarse con superficies que resultan de aplicar métodos de aproximación.

En el presente trabajo describimos e implementamos dos métodos recientes y los comparamos con un tercer método que es propuesto aquí. En el segundo capítulo describimos brevemente el método de Potts [Kunis y Potts, 2007]. Éste es global e interpola los datos de manera exacta, o dicho en otras palabras, considera que los datos no tienen ruido. El método de Potts incorpora la técnica de gradiente conjugado para resolver un sistema lineal. En el tercer capítulo presentamos el método de Davydov [Davydov y Zeilfelder, 2004][Davydov, Sestini y Morandi, 2005][Davydov, Morandi y Sestini, 2006]. Éste método es local y se basa en splines y RBFs. En el capítulo 4, proponemos un nuevo método basado en Series de Fourier y la técnica de mínimos cuadrados con un término de regularización, también conocida como técnica de mínimos cuadrados penalizados. Una característica en común entre el método propuesto y el método de Potts es el uso de series de Fourier. Sin embargo, en el método propuesto, a diferencia del método de Potts, minimizamos la rugosidad de la superficie aproximante y consideramos que los datos pueden tener ruido. El método de Davydov y el método planteado coinciden en el uso de la técnica de mínimos cuadrados.

# Capítulo 1

## Transformada rápida de Fourier para datos no equiespaciados

En éste capítulo resumimos el trabajo de Steidl[Steidl, 1998] y Potts D. et al.[Potts, Steidl y Tasche, 2001] relacionado al desarrollo de un algoritmo que calcula de manera eficiente la Transformada Discreta de Fourier No Equiespaciada (NDFT). Éste es una herrameinta que se utiliza en el algoritmo de interpolación descrito en la siguiente sección. La NDFT en su forma más general en dos dimensiones está dada por la siguiente fórmula

$$f(v_j) = \sum_{k \in I_N} f_k e^{-2\pi i x_k v_j}, \quad (j \in I_M) \quad (1.1)$$

donde  $f_k \in \mathbb{C}$ ,  $I_N := \{k \in \mathbb{Z}^2 : -\frac{N}{2} \leq k < \frac{N}{2}\}$  y  $x_k \in \Pi^2$ ,  $v_j \in N\Pi^2$  donde  $\Pi^2 := [-\frac{1}{2}, \frac{1}{2})^2$ .

En ésta tesis consideraremos un caso particular en el cual los nodos en tiempo o en frecuencia están equiespaciados:

$$\begin{aligned}
f(v_j) &= \sum_{k \in I_N} f_k e^{-2\pi i k v_j / N} \quad (j \in I_M) \\
h(k) &= \sum_{j \in I_N} f_j e^{-2\pi i k v_j / N} \quad (k \in I_M)
\end{aligned} \tag{1.2}$$

El algoritmo consiste en aproximar  $f(v_j)$  mediante una combinación lineal de traslaciones de una función base. Los números que determinan las traslaciones son parte de una malla equiespaciada. La idea esencial del algoritmo es usar la Transformada Rápida de Fourier (FFT) para calcular unos términos que surgen al calcular la serie de Fourier de la función aproximante. Éstos términos se obtienen mediante un cambio de variable y dependen de la uniformidad de los traslados como veremos a continuación.

Sea  $\varphi$  una función periódica con periodo 1 y cuya serie de Fourier es convergente. Potts et. al. [Potts, Steidl y Tasche, 2001] aproximan  $f$  en (1.2) mediante

$$s_1(v) := \sum_{l \in I_n} g_l \varphi\left(v - \frac{l}{n}\right) \tag{1.3}$$

donde  $n := \alpha N$ , y  $\alpha > 1$  es un factor de sobremuestreo.

Calculando la serie de Fourier de  $s_1$

$$\begin{aligned}
s_1(v) &= \sum_{l \in I_n} g_l \sum_{k \in \mathbb{Z}^2} \int_{\Pi^2} \varphi\left(v - \frac{l}{n}\right) e^{2\pi i k v} dv e^{-2\pi i k v} \\
&= \sum_{l \in I_n} g_l e^{2\pi i k l / n} \sum_{k \in \mathbb{Z}^2} \int_{\Pi^2} \varphi(v) e^{2\pi i k v} dv e^{-2\pi i k v}
\end{aligned}$$

donde se usó el cambio de variable  $v = v - l/n$ . Entonces podemos escribir

$$s_1(v) = \sum_{k \in \mathbb{Z}^2} \hat{g}_k c_k(\varphi) e^{-2\pi i k v} \tag{1.4}$$

donde

$$\begin{aligned}\hat{g}_k &:= \sum_{l \in I_n} g_l e^{2\pi i k l / n} \\ c_k(\varphi) &:= \int_{\Pi^2} \varphi(v) e^{2\pi i k v} dv \quad (k \in \mathbb{Z}^2)\end{aligned}\tag{1.5}$$

Luego, la suma en la serie de Fourier truncada es separada en dos partes

$$s_1(v) = \sum_{k \in I_n} \hat{g}_k c_k(\varphi) e^{-2\pi i k v} + \sum_{r \in \mathbb{Z}^2 \setminus \{0\}} \sum_{k \in I_n} \hat{g}_k c_{k+nr}(\varphi) e^{-2\pi i (k+nr)v}\tag{1.6}$$

Si los coeficientes de Fourier  $c_k(\varphi)$  se vuelven suficientemente pequeños para  $k \in \mathbb{Z}^2 \setminus I_n$  y si  $c_k(\varphi) \neq 0$  para  $k \in I_n$ , entonces Potts, comparando (1.4) con  $f$  en (1.2), sugiere

$$\hat{g}_k := \begin{cases} f_k / c_k(\varphi) & k \in I_n \\ 0 & k \in I_n \setminus I_n \end{cases}\tag{1.7}$$

Ahora, los valores  $g_l$  en (1.5) se pueden obtener mediante la FFT inversa. Si  $\varphi$  está bien localizada en el dominio de tiempo de tal manera que se pueda aproximar por una función periódica  $\psi$  con periodo 1 con  $\psi \cap \Pi^2 \subset \frac{2m}{n}\Pi^2$  ( $2m \ll n$ ), entonces

$$f(w_j) \approx s_1(w_j) \approx s(w_j) = \sum_{l \in I_{n,m}(w_j)} g_l \psi(w_j - \frac{l}{n})\tag{1.8}$$

con  $I_{n,m}(w_j) := \{l \in I_n : nw_j - m \leq l \leq nw_j + m\}$ . Para  $w_j \in \Pi^2$  fijo, ésta suma contiene a lo más  $(2m + 2)^2$  sumandos distintos de cero.

Éste razonamiento se resume en el siguiente algoritmo

---

**Algoritmo 1** Cómputo rápido de NDFT (1.2)  $f(w_j)$ 

---

Datos de entrada:  $N \in \mathbb{N}$ ,  $\alpha > 1$ ,  $n := \alpha N$ ,  $w_j \in \Pi^2$ ,  $f_k \in \mathbb{C}$  ( $j, k \in I_N$ )

- 1: Calcular  $c_k(\varphi)$  ( $k \in I_N$ ),  $\psi(w_j - \frac{l}{n})$  ( $j \in I_N, l \in I_{n,m}(w_j)$ )
- 2: Calcular  $\hat{g}_k := f_k/c_k(\varphi)$  ( $k \in I_N$ ).
- 3: Calcular (mediante la FFT en dos variables)

$$g_l := n^{-2} \sum_{k \in I_N} \hat{g}_k e^{-2\pi i k l / n} \quad (l \in I_n)$$

- 4: Calcular

$$s(w_j) := \sum_{l \in I_{n,m}(w_j)} g_l \psi(w_j - \frac{l}{n}) \quad (j \in I_N)$$

Datos de salida:  $s(w_j)$  valor aproximado de  $f(w_j)$  ( $j \in I_N$ )

---

Ahora, para aproximar  $h(k)$  en (1.2) Potts usa una función de la forma

$$g(x) := \sum_{j \in I_N} f_j \varphi(x + w_j)$$

Como antes, los coeficientes de Fourier se calculan obteniendo

$$c_k(g) = \sum_{j \in I_N} f_j e^{-2\pi i k w_j} c_k(\varphi) = h(k) c_k(\varphi) \quad (k \in \mathbb{Z}^2)$$

Entonces  $h(k)$  en (1.2) se puede calcular si  $c_k(g)$  es conocido. Por la definición de los coeficientes de Fourier

$$c_k(g) = \int_{\Pi^2} \sum_{j \in I_N} f_j \varphi(x + w_j) e^{2\pi i k x} dx,$$

Potts et al. aproximan ésta ecuación con la regla trapezoidal

$$c_k(g) \approx \frac{1}{n^2} \sum_{l \in I_n} \sum_{j \in I_N} f_j \varphi(w_j - \frac{l}{n}) e^{-2\pi i k l / n}$$

lo cual introduce un *error de aliasing*. Más aún, se reemplaza a  $\varphi$  con su versión truncada  $\psi$ , lo cual introduce un *error de truncamiento*. Ésto se resume en el siguiente algoritmo

---

**Algoritmo 2** Cómputo rápido de NDFT (1.2)  $h(k)$

---

Datos de entrada:  $N \in \mathbb{N}$ ,  $\alpha > 1$ ,  $n := \alpha N$ ,  $w_j \in \Pi^2$ ,  $f_k \in \mathbb{C}$  ( $j, k \in I_N$ )

1: Calcular  $c_k(\varphi)$  ( $k \in I_N$ ),  $\psi(w_j - \frac{l}{n})$  ( $l \in I_n, j \in J_{n,m}(l)$ )

2: Calcular

$$\tilde{g}_l := \sum_{j \in J_{n,m}(l)} f_j \psi(w_j - \frac{l}{n}) \quad (l \in I_n)$$

3: Mediante la FFT calcular

$$\tilde{c}_k(g) := n^{-2} \sum_{l \in I_n} \tilde{g}_l e^{-2\pi i k l / n} \quad (k \in I_N)$$

4: Calcular  $\tilde{h}(k) := \tilde{c}_k(g) / c_k(\varphi)$  ( $k \in I_N$ )

Datos de salida:  $\tilde{h}(k)$  que aproxima a  $h(k)$  ( $k \in I_N$ )

---

Ahora incluimos las cotas de error derivadas por Potts et al. en los siguientes teoremas para casos particulares de  $\varphi$  y  $\psi$ .

**Teorema 1.0.1** (Potts, Steidl y Tasche, 2001). *Sea  $f$  en (1.2) calculada por el Algoritmo 1 con la campana Gaussiana dilatada,*

$$\phi(v) = (\pi b)^{-1/2} \sum_{r \in \mathbb{Z}} e^{-(n(v+r))^2/b} \quad (1.9)$$

*y con la versión truncada de  $\phi$*

$$\psi(v) := (\pi b)^{-1/2} \sum_{r \in \mathbb{Z}} e^{-(n(v+r))^2/b} \chi_{[-m,m]}(n(v+r)) \quad (1.10)$$

donde  $\chi_{[-m,m]}$  es la función característica de  $[-m, m]$ . Sea  $\alpha > 1$  y  $1 \leq b \leq \frac{2\alpha m}{(2\alpha-1)\pi}$ . Entonces

$$c_k(\phi) = \frac{1}{n} e^{-\left(\frac{\pi k}{n}\right)^2 b}$$

y

$$E_a(w_j) \leq \|f\|_1 e^{-b\pi^2\left(1-\frac{1}{\alpha}\right)} \left(1 + \frac{\alpha}{(2\alpha-1)b\pi^2} + e^{-2b\pi^2/\alpha} \left(1 + \frac{\alpha}{(2\alpha+1)b\pi^2}\right)\right),$$

$$E_t(w_j) \leq \|f\|_1 \frac{2}{\sqrt{\pi b}} \left(1 + \frac{b}{2m}\right) e^{b\pi^2\left(\left(\frac{m}{b\pi}\right)^2 - \left(\frac{1}{2\alpha}\right)^2\right)},$$

$$E_\infty \leq 4\|f\|_1 e^{-b\pi^2\left(1-\frac{1}{\alpha}\right)}$$

El error de aproximación decrece al incrementar  $b$ . Por lo tanto

$$b = \frac{2\alpha m}{(2\alpha-1)\pi} \tag{1.11}$$

es una buena opción para el valor de  $b$  como una función de  $\alpha$  y  $m$ .

**Teorema 1.0.2** (Potts, Steidl y Tasche, 2001). Sea  $f$  en (1.2) calculada por el Algoritmo 1 con el B-spline cardinal centrado dilatado y periodizado

$$\phi(v) := \sum_{r \in \mathbb{Z}} M_{2m}(n(v+r)) \quad (m \geq 1) \tag{1.12}$$

de orden  $2m$  y sea  $\psi = \phi$ . Entonces

$$c_k(\phi) = \begin{cases} \frac{1}{n} & k = 0, \\ \frac{1}{n} \left(\frac{\sin(k\pi/n)}{k\pi/n}\right)^{2m} & \text{en otro caso} \end{cases}$$

y para  $\alpha > 1$  y  $0 \leq \eta \leq 4m/3$ ,

$$E_\infty \leq \frac{4m}{2m-1} \left(\frac{N}{2}\right)^{-\eta} (2\alpha-1)^{-2m} |f|_{\eta,1}.$$

donde  $|f|_{\eta,1}$  denota la seminorma de Sobolev  $|f|_{\eta,1} := \sum_{k=-N/2}^{N/2-1} |f_k| |k|^\eta$ .

## 1.1. Interpolación de datos dispersos con polinomios trigonométricos

En ésta sección describimos el método desarrollado por Potts et. al. que fue introducido a la literatura en el artículo [Kunis y Potts, 2007].

El problema de interpolación de datos dispersos en dos dimensiones consiste en aproximar una función cuyos valores se conocen solamente en un conjunto finito  $\Xi := \{\mathbf{X}_j \in \mathbb{T}^2 : j = 0, \dots, M-1\}$  donde  $\mathbb{T} := [-1/2, 1/2)$  y  $\mathbf{X}_j = (X_j, Y_j)$ . En otras palabras, dado un conjunto de muestras  $(\mathbf{X}_j, Z_j) \in \mathbb{T}^2 \times \mathbb{C}$  que son observaciones de una función por lo demás desconocida, el objetivo es aproximar dicha función en puntos diferentes a  $\mathbf{X}_j$ . Existen muchas maneras de hacer esto. Potts et. al. usan polinomios trigonométricos en dos variables

$$f(\mathbf{x}) := \sum_{\mathbf{k} \in I_N} \hat{f}_{\mathbf{k}} e^{2\pi i \mathbf{k} \mathbf{x}}$$

donde  $N \in 2\mathbb{N}$  es el grado del polinomio,  $\mathbf{x} = (x, y)$  y  $I_N := \{-N/2, \dots, N/2+1\}^2$  es el índice de las frecuencias.

La meta es que la función  $f(\mathbf{X})$  aproxime los datos, es decir  $f(\mathbf{X}_j) \approx Z_j$ . Ésta condición se puede expresar en forma matricial como

$$\mathbf{A} \hat{\mathbf{f}} \approx \vec{z}$$

donde  $\hat{\mathbf{f}}$  es el vector de coeficientes de Fourier  $\hat{\mathbf{f}} := (\hat{f}_{\mathbf{k}})_{\mathbf{k} \in I_N} \in \mathbb{C}^{N^2}$  y  $\vec{z} := (Z_j)_{j=0, \dots, M-1} \in \mathbb{C}^M$ . La matriz de Fourier no equiespaciada se define como

$$\mathbf{A} = \mathbf{A}_{\Xi} := \left( e^{2\pi i \mathbf{k} \mathbf{X}_j} \right)_{j=0, \dots, M-1; \mathbf{k} \in I_N} \in \mathbb{C}^{M \times N^2}.$$

Potts et al. [Kunis y Potts, 2007] se concentran en el caso indeterminado ( $N^d > M$ , esto significa que hay más variables que ecuaciones) que consiste en interpolar los datos exactamente  $\mathbf{A}\hat{\mathbf{f}} = \vec{z}$ . Ellos mostraron que  $\mathbf{A}$  tiene rango completo si  $N > 2dq^{-1}$ . En su análisis [Kunis y Potts, 2007] *factores de amortiguación*  $\hat{w}_{\mathbf{k}} > 0$ ,  $\mathbf{k} \in I_N$  son incorporados para compensar agrupaciones densas de datos. El planteamiento de problema toma la forma

$$\|\hat{\mathbf{f}}\|_{\hat{\mathbf{W}}^{-1}}^2 = \sum_{\mathbf{k} \in I_N} \frac{|\hat{f}_{\mathbf{k}}|^2}{\hat{w}_{\mathbf{k}}} \rightarrow \text{mín} \quad \text{sujeto a} \quad \mathbf{A}\hat{\mathbf{f}} = \vec{z} \quad (1.13)$$

donde  $\hat{\mathbf{W}} := \text{diag}(\hat{w}_{\mathbf{k}})_{\mathbf{k} \in I_N}$ .

Para reinterpretar el problema de tal manera que permita el uso del método de gradiente conjugado necesitamos la siguiente definición

**Definición 1.1.1** (Kunis y Potts, 2007). Sean  $N \in 2\mathbb{N}$ ,  $I_N = \{-N/2, \dots, N/2 - 1\}^2$  dados. Para pesos positivos  $\hat{w}_{\mathbf{k}} > 0$ ,  $\mathbf{k} \in I_N$  con  $\sum_{\mathbf{k} \in I_N} \hat{w}_{\mathbf{k}} = 1$  y para  $\mathbf{x} = (x, y) \in \mathbb{T}^2$  el kernel trigonométrico se define como

$$K_N(\mathbf{x}) := \sum_{\mathbf{k} \in I_N} \hat{w}_{\mathbf{k}} e^{2\pi i \mathbf{k} \mathbf{x}}$$

Dado  $\mathcal{X} \subset \mathbb{T}^2$  la matriz del kernel  $\mathbf{K}_N$  se define como

$$\mathbf{K}_N := (K_N(\mathbf{x}_j - \mathbf{x}_l))_{j,l=0,\dots,M-1} \in \mathbb{C}^{M \times M} \quad (1.14)$$

$\lambda_{\text{máx}}$  y  $\lambda_{\text{mín}}$  denotan el eigenvalor más grande y el eigenvalor más pequeño de  $\mathbf{K}_N$

Para resolver el problema (1.13) con la técnica de Gradiente Conjugado Potts et. al. prueban el siguiente lema

**Lema 1.1.1** (Kunis y Potts, 2007). *Considerar que el número de nodos  $M \in \mathbb{N}$ , el conjunto de muestras  $\Xi \subset \mathbb{T}^2$ , el grado del polinomio  $N \in 2\mathbb{N}$ , y los factores de amortiguación  $\hat{w}_k > 0$ ,  $\mathbf{k} \in I_N$  están dados. El problema de interpolación óptimo (1.13) es equivalente a las ecuaciones normales amortiguadas de segundo tipo*

$$\mathbf{K}_N \tilde{\mathbf{f}} = \tilde{\mathbf{z}}, \quad \hat{\mathbf{f}} = \hat{\mathbf{W}} \mathbf{A}^H \tilde{\mathbf{f}} \quad (1.15)$$

donde la matriz del kernel  $\mathbf{K}_N \in \mathbb{C}^{M \times M}$  obedece la siguiente factorización

$$\mathbf{K}_N = \mathbf{A} \hat{\mathbf{W}} \mathbf{A}^H$$

y por lo tanto es positivo definida.

El método de Potts consiste en resolver las ecuaciones normales (1.15) con la técnica del Gradiente Conjugado. Más precisamente el método calcula los coeficientes de Fourier  $\hat{\mathbf{f}}$  implementando el siguiente algoritmo

---

**Algoritmo 3** CGNE

---

Datos de entrada: número de puntos  $M \in \mathbb{N}$ , grado del polinomio  $N \in 2\mathbb{N}$ ; conjunto de puntos  $\mathcal{X} \subset \mathbb{T}^d$ , valores  $\mathbf{y} \in \mathbb{C}^M$ , y el vector inicial  $\hat{\mathbf{f}}_0 \in \mathbb{C}^{N^2}$

- 1:  $\mathbf{r}_0 = \mathbf{y} - \mathbf{A}\hat{\mathbf{f}}_0$
- 2:  $\hat{\mathbf{p}}_0 = \mathbf{A}^H \mathbf{r}_0$
- 3: **for**  $l=0, \dots$  **do**
- 4:      $\alpha_l = \mathbf{r}_l^H \mathbf{r}_l / \hat{\mathbf{p}}_l^H \hat{\mathbf{W}} \hat{\mathbf{p}}_l$
- 5:      $\hat{\mathbf{f}}_{l+1} = \hat{\mathbf{f}}_l + \alpha_l \hat{\mathbf{W}} \hat{\mathbf{p}}_l$
- 6:      $\mathbf{r}_{l+1} = \mathbf{r}_l - \alpha_l \mathbf{A} \hat{\mathbf{W}} \hat{\mathbf{p}}_l$
- 7:      $\beta_l = \mathbf{r}_{l+1}^H \mathbf{r}_{l+1} / \mathbf{r}_l^H \mathbf{r}_l$
- 8:      $\hat{\mathbf{p}}_{l+1} = \beta_l \hat{\mathbf{p}}_l + \mathbf{A}^H \mathbf{r}_{l+1}$
- 9: **end for**

Datos de salida: la  $l$ -ésima iteración  $\hat{\mathbf{f}}_l$

---

Aplicando una estimación estándar para la convergencia del método de gradiente conjugado, Potts et. al. demuestran el siguiente resultado concerniente a la estabilidad del método.

**Lema 1.1.2** (Kunis y Potts, 2007). *Sea  $\mathbf{K}_N$  la matriz del kernel dada en (1.14) y sea  $\hat{\mathbf{e}}_l := \hat{\mathbf{f}}_l - \hat{\mathbf{W}} \mathbf{A}^H \mathbf{K}_N^{-1} \vec{z}$  el error de la  $l$ -ésima iteración del algoritmo CGNE. Si  $\mathbf{K}_N$  es regular entonces*

$$\|\hat{\mathbf{e}}_l\|_{\hat{\mathbf{W}}^{-1}} \leq 2 \left( \frac{\sqrt{\lambda_{\max}} - \sqrt{\lambda_{\min}}}{\sqrt{\lambda_{\max}} + \sqrt{\lambda_{\min}}} \right) \|\hat{\mathbf{e}}_0\|_{\hat{\mathbf{W}}^{-1}}$$

## Capítulo 2

# Método local basado en splines y RBFs

En éste capítulo resumimos el método presentado en los artículos [Davydov y Zeilfelder, 2004], [Davydov, Sestini y Morandi, 2005] y [Davydov, Morandi y Sestini, 2006]. Básicamente, éste método consiste en aproximar localmente los datos mediante polinomios y después ensamblar una solución global usando condiciones de suavidad tipo spline (otro método basado en splines se puede encontrar en [Zhou y Han, 2008]). Se usa la representación Bernstein-Bézier de los polinomios pues ésta permite expresar las condiciones de suavidad mediante un sistema lineal de ecuaciones. Además, se emplea la técnica de mínimos cuadrados para producir la aproximación local. En la aproximación local, si la matriz es mal condicionada (según una tolerancia especificada por el usuario) se recalcula la matriz usando un polinomio de menor grado. En el segundo y tercer artículos Davydov et. al. producen una solución híbrida al agregar una RBF a los polinomios. Referimos al lector a esos artículos si el(ella) está interesado(a) en las pruebas de los teoremas y lemas que a continuación se presentan.

Como se explicó en la introducción los datos consisten de un conjunto finito de puntos arbitrariamente distribuidos  $\Xi = \{\mathbf{X}_i\}_{i=1}^N \subset \Omega$  donde  $\mathbf{X}_i = (X_i, Y_i)$  en un dominio acotado  $\Omega \subset \mathbb{R}^2$ , con un número real  $Z_i$  asignado a cada  $\mathbf{X}_i$ ,  $i = 1, \dots, N$ . El objetivo de el *problema de aproximación de datos dispersos* es encontrar una función suave  $s$  definida en  $\Omega$  que aproxime los datos, es decir  $s(\mathbf{X}_i) \approx Z_i$ ,  $i = 1, \dots, N$ . En la primera versión del método de Davydov, los datos son aproximados con un spline de clase  $C^1$  de grado 3 determinado en una triangulación uniforme  $\Delta$  de  $\Omega$  definida abajo. Cada pieza del spline es un polinomio dado en la forma Bernstein-Bézier. En [Davydov y Zeilfelder, 2004] Davydov et. al. producen una aproximación en tres espacios diferentes. Sin embargo, dado que el razonamiento es muy similar en cada espacio detallamos el método solamente en el espacio  $\mathcal{S}_3^1(\Delta)$  definido abajo.

Primero damos algunas definiciones. Más información puede encontrarse en los artículos [Davydov y Schumaker, 2002],[Farin, 1993].

Sea  $T := \langle u, v, w \rangle \subset \mathbb{R}^2$  un triángulo y sean  $B_{ijk}^3$ ,  $i+j+k=3$ , los polinomios de Bernstein de grado 3 correspondientes a  $T$ . Cada polinomio  $p \in \mathcal{P}_3$  tiene una única representación Bernstein-Bézier (BB)

$$p = \sum_{i+j+k=3} c_{ijk} B_{ijk}^3. \quad (2.1)$$

Los coeficientes  $c_{ijk}$  se llaman los BB-coeficientes. Cada BB-coeficiente  $c_{ijk}$  está asociado con un punto en el dominio

$$\eta_{ijk}^T := (iu + jv + kw)/3$$

El conjunto de estos puntos en el triángulo  $T$  se denota por

$$\mathcal{D}_{3,T} := \{\eta_{ijk}^T : i + j + k = 3\} \quad (2.2)$$

Dada una triangulación  $\Delta$  que cubre el dominio  $\Omega \subset \mathbb{R}^2$ ,  $\mathcal{S}_3^1(\Delta)$  denota el espacio de todas las funciones  $C^1$  polinomiales a pedazos con respecto a  $\Delta$ ,

$$\mathcal{S}_3^1(\Delta) := \{s \in C^1(\Omega) : s|_T \in \mathcal{P}_3 \text{ para todos los triángulos } T \in \Delta, T \cap \Omega \neq \emptyset\}$$

donde  $\mathcal{P}_3$  es el espacio de polinomios de dos variables de grado 3. Es bien conocido que existe una correspondencia uno a uno entre los elementos del espacio  $\mathcal{S}_3^0$  de funciones continuas y polinomiales a pedazos de grado 3 y la sucesión de coeficientes  $c_\eta = c_\eta(s)$ ,  $\eta \in \mathcal{D}_{3,\Delta}$  con

$$\mathcal{D}_{3,\Delta} := \bigcup_{T \in \Delta} \mathcal{D}_{3,T} \quad (2.3)$$

Para cada  $T \in \Delta$  y  $\eta = \eta_{ijk}^T \in T \cap \mathcal{D}_{3,\Delta}$ ,  $c_\eta(s)$  es el coeficiente  $c_{ijk}$  en la representación (2.1) para  $p = s|_T$ .

Si  $\mathcal{S}$  es un subespacio lineal  $\mathcal{S}_3^0(\Delta)$ , entonces un conjunto  $\mathcal{M} \subset \mathcal{D}_{3,\Delta}$  se llama un *conjunto determinante* para  $\mathcal{S}$  si haciendo los coeficientes de  $s \in \mathcal{S}$  asociados con los puntos  $\mathcal{M}$  iguales a cero implica que todos los coeficientes de  $s$  correspondientes a los puntos en  $\mathcal{D}_{3,\Delta}$  son cero.  $\mathcal{M}$  es llamado un *Conjunto Mínimo Determinante (MDS)* para  $\mathcal{S}$  si ningún subconjunto propio  $\mathcal{M}' \subset \mathcal{M}$  es conjunto determinante.

Para construir el spline que aproxima los datos dispersos Davydov et. al. usan (BB-) condiciones de suavidad. Las BB-condiciones de suavidad se expresan como un sistema de ecuaciones lineales que involucran los BB-coeficientes y que determinan la suavidad del spline. Si  $s \in \mathcal{S}_3^0(\Delta)$ , y  $T := \langle v_1, v_2, v_3 \rangle$  y

$\tilde{T} := \langle v_4, v_3, v_2 \rangle$  son un par de triángulos adjuntos en  $\Delta$  que coinciden en el lado  $e = \langle v_2, v_3 \rangle$ , entonces  $s$  es  $C^1$  continuo a lo largo de  $e$  si y solo si [Farin, 1993]

$$\tilde{c}_{1,m-1,3-m} = \sum_{i+j+k=1} c_{i,j+3-m,k+m-1} B_{ijk}^1(v_4) \quad (2.4)$$

para  $m = 1, \dots, 3$ , donde  $B_{ijk}^1$  son los polinomios Bernstein de grado 1 con respecto a  $T$  y  $c_{ijk}$ ,  $\tilde{c}_{ijk}$  son los BB-coeficientes de  $s|_T$ ,  $s|_{\tilde{T}}$ , respectivamente.

Davydov et. al.[Davydov y Zeilfelder, 2004] consideran una triangulación uniforme  $\Delta$  que cubre a  $\Omega$ , llamada la *malla cuatro dimensional*. Por simplicidad, definimos  $\Delta$  para  $\Omega = [0, 1]^2$ . Usando  $n + 1$  líneas horizontales y verticales,  $\Omega$  es cubierto con  $n^2$  cuadrados

$$Q_{ij} = \left[ \frac{i-1}{n}, \frac{i}{n} \right] \times \left[ \frac{n-j}{n}, \frac{n-j+1}{n} \right], \quad i, j = 1, \dots, n$$

Cada  $Q_{ij}$  se subdivide en cuatro subtriángulos  $T_{ij}^{[k]}$ ,  $k = 1, \dots, 4$ , insertando las dos diagonales (los triángulos se numeran en sentido contrario a las manecillas del reloj, empezando por el subtriángulo de la izquierda de  $Q_{ij}$ ). Suponemos que  $n \geq 2$  es par.

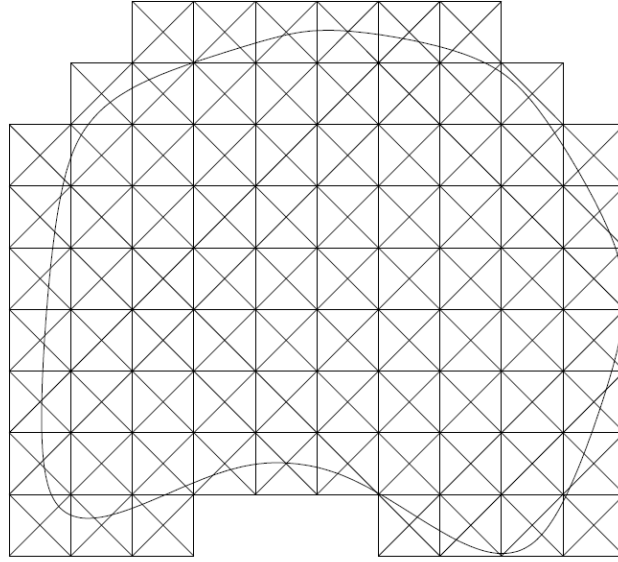


Figura 2.1: La *malla cuatro direccional*  $\Delta$  que cubre el dominio  $\Omega$

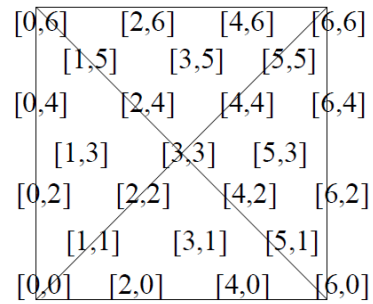


Figura 2.2: Los índices  $[m, l]$  de los puntos  $\eta_{i,j}^{[m,l]}$  dentro del cuadrado  $Q_{i,j}$

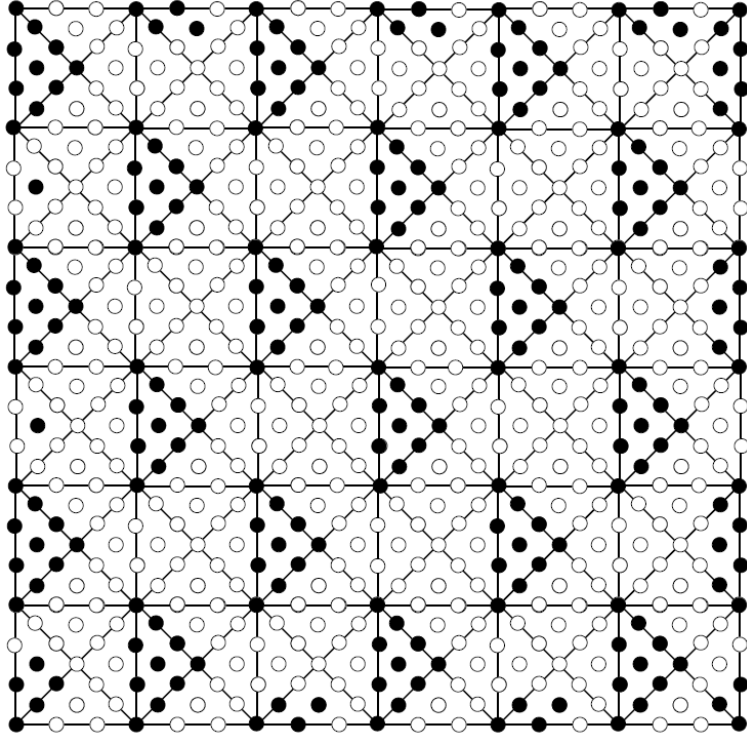


Figura 2.3: Un ejemplo de un MDS  $\mathcal{M}$

Los puntos  $\eta_{ijk}^T$  exhiben una estructura uniforme ya que la triangulación es regular. En la figura Fig. 2.3, los puntos dominio en  $\mathcal{D} = \mathcal{D}_{3,\Delta}$  se muestran con círculos. Éstos están dados precisamente por

$$\mathcal{D} \cap Q_{i,j} = \left\{ \eta_{i,j}^{[m,l]} := \left( \frac{i-1}{n} + \frac{m}{6n}, \frac{n-j}{n} + \frac{l}{6n} \right) : 0 \leq m, l \leq 6, m+l \text{ even} \right\}$$

y  $c_{i,j}^{[m,l]} := c_\eta$ , si  $\eta = \eta_{i,j}^{[m,l]}$  (ver Fig. 2.3).

Sea  $\mathcal{M}$  el conjunto de puntos dominio marcados con círculos negros. La mayor parte de  $\mathcal{M}$  consiste de  $5n^2$  puntos en

$$\widetilde{\mathcal{M}} := \mathcal{D} \cap \bigcup_{i+j \text{ par}} T_{i,j}^{[1]} \quad (2.5)$$

Adicionalmente,  $\mathcal{O}(n)$  puntos se localizan cerca de la frontera. Más precisamente,  $\mathcal{M}$  es la unión de  $\widetilde{\mathcal{M}}$  con los conjuntos

$$\begin{aligned} & \{\eta_{i,1}^{[0,6]}, \eta_{i,1}^{[1,5]}, \eta_{i,1}^{[2,6]}, \eta_{i,1}^{[3,5]}\}, \quad i \text{ par}, \\ & \{\eta_{i,n}^{[0,0]}, \eta_{i,n}^{[1,1]}, \eta_{i,n}^{[2,0]}, \eta_{i,n}^{[3,1]}\}, \quad i \geq 3, \quad i \text{ impar}, \\ & \{\eta_{i,j}^{[1,3]}\}, \quad j \text{ par}, \\ & \{\eta_{1,n}^{[0,0]}, \eta_{1,n}^{[0,2]}, \eta_{1,n}^{[1,1]}, \eta_{1,n}^{[2,2]}\}, \\ & \{\eta_{n,j}^{[5,1]}, \eta_{n,j}^{[5,3]}, \eta_{n,j}^{[5,5]}, \eta_{n,j}^{[6,0]}, \eta_{n,j}^{[6,2]}, \eta_{n,j}^{[6,4]}, \eta_{n,j}^{[6,6]}\}, \quad j \text{ impar, y} \\ & \{\eta_{n,n}^{[5,1]}, \eta_{n,n}^{[6,0]}, \eta_{n,n}^{[6,2]}\}. \end{aligned}$$

El conjunto expresado en el primer renglón son los cuatro puntos de  $\mathcal{M}$  en los subcuadrados pares de la parte superior del dominio cuadrado. El segundo renglón contiene los puntos de  $\mathcal{M}$  en los subcuadrados impares de la parte inferior del dominio excepto el subcuadrado en la esquina inferior izquierda. El tercer renglón expresa los puntos de  $\mathcal{M}$  en los subcuadrados pares del lado izquierdo del dominio cuadrado. El cuarto renglón contiene los puntos de  $\mathcal{M}$  del subcuadrado de la esquina inferior izquierda. El quinto renglón contiene los puntos de  $\mathcal{M}$  de los subcuadrados impares de la lado derecho del dominio cuadrado. El último renglón contiene los puntos de  $\mathcal{M}$  en la esquina inferior derecha.

**Teorema 2.0.1** (Davydov y Zeilfelder, 2004). *El conjunto  $\mathcal{M}$  es un MDS para  $\mathcal{S}_3^1(\Delta)$ .*

Cada elemento  $\eta$  de un MDS  $\mathcal{M}_{\mathcal{S}}$  para un espacio de splines en dos variables  $\mathcal{S} \subset \mathcal{S}_3^0(\Delta)$  determina una función base  $B_{\eta}$  para  $\mathcal{S}$ , [”Davydov, 2002]. El spline  $B_{\eta}$  es definido haciendo todos los BB-coeficientes en  $\mathcal{M}_{\mathcal{S}}$  iguales a cero, excepto para  $c_{\eta}(B_{\eta}) = 1$ , y calculando los coeficientes restantes  $c_{\xi}(B_{\eta})$ ,  $\xi \in \mathcal{D}_{3,\Delta} \setminus \mathcal{M}_{\mathcal{S}}$ , usando las condiciones de suavidad que definen  $\mathcal{S}$ . Cada spline  $s \in \mathcal{S}$  se puede escribir como

$$s = \sum_{\eta \in \mathcal{M}_{\mathcal{S}}} c_{\eta}(s) B_{\eta}.$$

Los splines  $B_{\eta}$ ,  $\eta \in \mathcal{M}_{\mathcal{S}}$ , usados por Davydov et. al. tienen soporte compacto. Dado un vértice  $v$  de  $\Delta$ ,  $\text{star}(v) = \text{star}^1(v)$  es la union de los triángulos que coinciden en  $v$ , y  $\text{star}^l(v)$ ,  $l \geq 2$ , se define recursivamente como la union de las stars de los vértices en  $\text{star}^{l-1}(v)$ . Un spline  $s \in \mathcal{S}$  se llama *l-localmente soportado* si existe un vértice  $v$  de  $\Delta$  tal que

$$\text{supp } s := \overline{\{z \in \Omega : s(z) \neq 0\}} \subset \text{star}^l(v).$$

Sea

$$\tilde{\mathcal{T}} := \{T_{i,j}^{[1]} : i + j \text{ par}\},$$

Si dividimos  $\mathcal{M} \setminus \tilde{\mathcal{M}}$  en subconjuntos disjuntos de puntos  $\eta$  que se localizan en el mismo triángulo  $T \in \Delta \setminus \tilde{\mathcal{T}}$ . Entonces, añadiendo éstos triángulos frontera a  $\tilde{\mathcal{T}}$ , obtenemos un conjunto de triángulos en  $\Delta$  denotado por  $\mathcal{T}$ . Sea

$$\mathcal{M}_T := \mathcal{M} \cap T, \quad T \in \mathcal{T}$$

Para cada  $T \in \mathcal{T}$ , sea  $p_T$  una aproximación apropiada de una función  $f$  dada en un subdominio  $\Omega_T$  que cubre a  $T$ . Davydov et. al. consideran el operador de

aproximación  $Q$  definido por

$$Qf = \sum_{T \in \mathcal{T}} \sum_{\eta \in \mathcal{M}_T} c_\eta(p_T) B_\eta. \quad (2.6)$$

Dado que  $f$  se conoce solamente en un conjunto discreto de puntos dispersos en

$$\Xi = \{\mathbf{X}_i : i = 1, \dots, N\} \subset \Omega,$$

Davydov et. al. [Davydov y Zeilfelder, 2004] determinan  $p_T$ ,  $T \in \mathcal{T}$ , como polinomios cuyos valores

$$p_T(\mathbf{X}), \quad \mathbf{X} \in \Xi_T := \Xi \cap \Omega_T,$$

aproximan los valores correspondientes de  $f$  en  $\Xi_T$ . Para calcular la aproximación ellos aplican la técnica de mínimos cuadrados adaptativos.

Por conveniencia, se asume que los datos  $Z_i$  son los valores de una función  $f : \Omega \rightarrow \mathbb{R}$ , i.e.  $Z_i = f(\mathbf{X}_i)$ ,  $i = 1, \dots, N$ . La aproximación polinomial local  $p_T \in \mathcal{P}_3$  es determinada para cada triángulo  $T \in \mathcal{T}$ , usando los valores  $f(\mathbf{X})$ ,  $\mathbf{X} \in \Xi_T = \Xi \cap \Omega_T$ , donde  $\Omega_T \subset \Omega$  es el círculo centrado en el baricentro de  $T$  y radio igual al diámetro de  $T$ . Si éstos datos locales son muy pocos, el radio es incrementado y, en el caso opuesto, un algoritmo de disminución o adelgazamiento es usado para reducir su número  $N_T$ . Éste proceso de selección de datos locales es controlado por dos parámetros,  $M_{\min}$  y  $M_{\max}$ ,  $M_{\min} \leq N_T \leq M_{\max}$ . Con ésta consideración en mente,  $p_T$  se determina calculando los (BB-) coeficientes  $c_{ijk}^{3,T}$  en su representación Bernstein-Bézier

$$p_T = \sum_{i+j+k=3} c_{ijk}^{3,T} B_{ijk}^3, \quad (2.7)$$

tal que

$$\sum_{\mathbf{X} \in \Xi_T} \left( \sum_{i+j+k=3} c_{ijk} B_{ijk}^3(\mathbf{X}) - f(\mathbf{X}) \right)^2$$

es minimizado. Aquí,  $B_{ijk}^3$  son los polinomios Bernstein de grado 3 asociados con  $T$ . La manera más confiable de resolver éste problema discreto de mínimos cuadrados es calcular la Descomposición en Valores Singulares (SVD) de la matriz

$$M_{3,T} := [B_{ijk}^3(\mathbf{X})]_{i+j+k=3, \mathbf{X} \in \Xi_T} \quad (2.8)$$

de tamaño  $(\#\Xi_T) \times \binom{3+2}{2}$ . Entonces, el vector de coeficientes  $(c_{ijk}^{3,T})_{i+j+k=3}$  se calcula como el producto de la pseudoinversa  $M_{3,T}^+$  de  $M_{3,T}$  con el vector  $(f(\mathbf{X}))_{\mathbf{X} \in \Xi_T}$ , [Björck, 1996]. Sin embargo, el polinomio resultante  $p_T$  es aceptado como una aproximación confiable de los datos locales sólo si la matriz  $M_{3,T}$  tiene rango completo y el recíproco de su valor singular más pequeño  $\sigma_{3,T}$  no es más grande que una tolerancia  $\kappa_P$ ,

$$\sigma_{3,T}^{-1} \leq \kappa_P. \quad (2.9)$$

Si (2.9) no se satisface, se concluye que la distribución local de los datos no permite una aproximación estable con polinomios de grado 3. En ésta situación el grado del polinomio es reducido por una unidad, y de la misma manera se calcula un polinomio  $p_T$  de grado  $3-1$  mediante mínimos cuadrados de la forma

$$p_T = \sum_{i+j+k=2} c_{ijk}^{2,T} B_{ijk}^2,$$

donde  $B_{ijk}^2$  son los polinomios Bernstein de grado 2 asociados a  $T$ . De ser necesario, el proceso es repetido y el grado de  $p_T$  se reduce a  $q = 1, 0$ . Éste algoritmo de reducción de grado termina en un grado  $q > 0$  siempre y cuando el valor singular mínimo  $\sigma_{q,T}$  de la matriz  $M_{q,T} = [B_{ijk}^q(\mathbf{X})]_{i+j+k=q, \mathbf{X} \in \Xi_T}$  satisface  $\sigma_{q,T}^{-1} \leq \kappa_P$ . En este caso la aproximación local polinomial  $p_T$  será de grado  $q$ . Si  $\sigma_{q,T}^{-1} > \kappa_P$  para  $q = 3, 2, 1$ ,  $p_T$  se calcula como la mejor aproximación constante en mínimos cuadrados de  $f(\mathbf{X})$ ,  $\mathbf{X} \in \Xi_T$ , la cual existe siempre que  $\#\Xi_T \geq 1$ .

Ya que la representación Bernstein-Bézier de grado 3 de  $p_T$  (2.7) es necesaria, fórmulas de incremento de grado, ver [Farin, 1993], se pueden aplicar en la situación anterior cuando  $q < 3$ .

Sea  $B_\eta$ ,  $\eta \in \mathcal{M}$ , una base de  $\mathcal{S}_3^1(\Delta)$  asociada con  $\mathcal{M}$ . Como se mencionó anteriormente  $B_\eta$  tiene soporte compacto (figure 3.4). Además cada  $B_\eta$  está uniformemente acotado.

**Lema 2.0.1** (Davydov y Zeilfelder, 2004). *Los splines base  $B_\eta$ ,  $\eta \in \mathcal{M}$ , para  $\mathcal{S}_3^1(\Delta)$  son 3-localmente suportados*

**Lema 2.0.2** (Davydov y Zeilfelder, 2004). *Los splines base  $B_\eta$ ,  $\eta \in \mathcal{M}$ , para  $\mathcal{S}_3^1(\Delta)$  están uniformemente acotados, i.e., existe una constante absoluta  $K$  tal que*

$$\|B_\eta\|_\infty \leq K, \quad \text{para toda } \eta \in \mathcal{M} \tag{2.10}$$

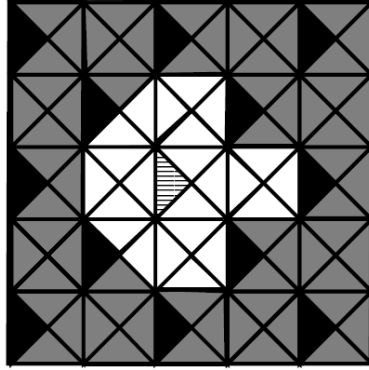


Figura 2.4: Soporte de los splines base (triángulos blancos) de clase  $C^1$  asociados con los puntos en  $\mathcal{M}$

Cuando Davydov et. al. introdujeron por primera vez su método también probaron la siguiente cota del error

**Teorema 2.0.2** (Davydov y Zeilfelder, 2004). *Sea  $Q$  el operador definido en (2.6). Si  $f \in W_p^4(\Omega)$ , para algún  $1 \leq p \leq \infty$  entonces*

$$\|f - Qf\|_{L_p(\Omega)} \leq K_4 h^4 |f|_{W_p^4(\Omega)} + K_5 \left( \sum_{T \in \mathcal{T}} \|f - p_T\|_{L_p(T)}^p \right)^{1/p} \text{ si } p < \infty$$

$$\|f - Qf\|_{L_\infty(\Omega)} \leq K_6 h^4 |f|_{W_\infty^4(\Omega)} + K_7 \max_{T \in \mathcal{T}} \|f - p_T\|_{L_\infty(T)},$$

donde  $K_4, K_5, K_6, K_7$  son constantes absolutas.

## 2.1. Aproximación local híbrida

En su segundo artículo, [Davydov, Morandi y Sestini, 2006], para mejorar el error de aproximación, Davydov et. al. modificaron la aproximación local polinomial incorporando un término RBF dando como resultado un método híbrido.

La idea detrás del método híbrido es mejorar la precisión de la aproximación local usando una combinación lineal de polinomios y RBFs.

El esquema de aproximación híbrido usa el espacio

$$\Pi_3^2 = \text{span}\{p_1^T, \dots, p_m^T\}, \quad m = \binom{3+2}{2}$$

de polinomios bivariados de grado  $3 \geq 0$  y una función  $\phi_T : \mathbb{R}_{\geq 0} \rightarrow \mathbb{R}$ .  $\phi_T$  puede ser cualquier función *positiva definida* apropiada o una función *condicionalmente positiva definida* de orden a los más 4 en  $\mathbb{R}^2$ , ver [Buhmann, 2003] y [Wendland, 2004].

Sea  $\Xi_T = \{\mathbf{X}_1, \dots, \mathbf{X}_{N_T}\}$  el conjunto de datos dispersos relacionados al triángulo  $T$  con vértices  $\mathbf{v}_1^T, \mathbf{v}_2^T, \mathbf{v}_3^T$ , y suponer que  $N_T \geq m$ . La *aproximación local híbrida*  $g_T$  de la forma

$$g_T(\cdot) = \sum_{j=1}^m a_j^T p_j^T(\cdot) + \sum_{j=1}^{n_T} b_j^T \phi_T(\|\cdot - \mathbf{Y}_j^T\|_2) \quad (2.11)$$

es construida mediante la minimización de la norma  $l_2$  del vector residual en  $\Xi_T$ ,

$$\left( \sum_{i=1}^{N_T} (f_i - g_T(\mathbf{X}_i))^2 \right)^{1/2} \quad (2.12)$$

donde  $0 \leq n_T \leq N_T - m$ , y el conjunto de puntos  $Y_T = \{\mathbf{Y}_j, j = 1, \dots, n_T\}$  es un subconjunto de  $\Xi_T$ .

La solubilidad única del problema de interpolación con RBFs condicionalmente positivas definidas se garantiza aplicando las *restricciones de ortogonalidad*

$$\sum_{j=1}^{n_T} b_j^T p(\mathbf{Y}_j^T) = 0, \quad \text{all } p \in \Pi_3^2 \quad (2.13)$$

sobre los coeficientes  $b_j^T$  en (2.11) y suponiendo que  $Y_T$  contiene un subconjunto unisolvente en  $\Pi_3^2$ , ver [Buhmann, 2003], [Wendland, 2004] y [Fasshauer, 2007].

Sin embargo Davydov et al. tomaron una ruta diferente. Para mantener los  $n_T + \binom{3+2}{2}$  grados de libertad ellos ignoran las restricciones (2.13) y consideran el espacio híbrido

$$\mathcal{H}_T := \text{span}\{p_1^T, \dots, p_m^T, \phi_T(\|\cdot - \mathbf{Y}_1^T\|_2), \dots, \phi_T(\|\cdot - \mathbf{Y}_{n_T}^T\|_2)\}$$

en lugar del subespacio

$$\mathcal{R}_T := \left\{ \sum_{j=1}^m a_j p_j^T(\cdot) + \sum_{j=1}^{n_T} b_j \phi_T(\|\cdot - \mathbf{Y}_j^T\|_2) : (b_1, \dots, b_{n_T}) \text{ satisface (2.13)} \right\}$$

Debido a que  $\mathcal{R}_T \subset \mathcal{H}_T$ , la capacidad de aproximación de  $\mathcal{H}_T$  es al menos tan buena como la de  $\mathcal{R}_T$

$$E(f, \mathcal{H}_T)_{C(T)} \leq E(f, \mathcal{R}_T)_{C(T)},$$

donde  $E(f, \mathcal{S})_{C(T)}$  es el error de la mejor aproximación de  $f$  desde un espacio lineal  $\mathcal{S}$ ,

$$E(f, \mathcal{S})_{C(T)} := \inf_{g \in \mathcal{S}} \|f - g\|_{C(T)}.$$

Para producir una aproximación local en mínimos cuadrados cuya calidad sea comparable con la calidad de la mejor aproximación local de  $\mathcal{H}_T$ , Davydov et al. calculan el valor singular mínimo  $\sigma_{\min}(C_T)$  de la matriz de colocación  $C_T$  definida por

$$\begin{bmatrix} p_1^T(\mathbf{X}_1) & \dots & p_m^T(\mathbf{X}_1) & \phi_T(\|\mathbf{X}_1 - \mathbf{Y}_1^T\|_2) & \dots & \phi_T(\|\mathbf{X}_1 - \mathbf{Y}_{n_T}^T\|_2) \\ \vdots & & \vdots & \vdots & & \vdots \\ p_1^T(\mathbf{X}_{N_T}) & \dots & p_m^T(\mathbf{X}_{N_T}) & \phi_T(\|\mathbf{X}_{N_T} - \mathbf{Y}_1^T\|_2) & \dots & \phi_T(\|\mathbf{X}_{N_T} - \mathbf{Y}_{n_T}^T\|_2) \end{bmatrix}$$

y proceden a calcular  $g_T$  solo si

$$\sigma_{\min}^{-1}(C_T) \leq \kappa_H, \quad (2.14)$$

donde  $\kappa_H$  es una tolerancia especificada por el usuario. Esto también garantiza que el problema de mínimos cuadrados considerado se puede resolver de manera única [Davydov, Morandi y Sestini, 2006].

De acuerdo a la estimación dada en [Davydov, 2002], bajo el supuesto que  $f_i = f(\mathbf{X}_i)$ ,  $i = 1, \dots, N_T$ , para una función continua  $f$ , tenemos

$$\|f - g_T\|_{C(T)} \leq \left(1 + \frac{K_T \sqrt{N_T}}{\sigma_{\min}(C_T)}\right) E(f, \mathcal{H}_T)_{C(T)} \quad (2.15)$$

donde

$$K_T := \max_{\{a_j\}, \{b_j\}} \frac{\|\sum_{j=1}^m a_j p_j^T(\cdot) + \sum_{j=1}^{n_T} b_j \phi_T(\|\cdot - \mathbf{Y}_j^T\|_2)\|_{C(T)}}{\left(\sum_{j=1}^m |a_j|^2 + \sum_{j=1}^{n_T} |b_j|^2\right)^{1/2}}$$

Ahora, para una base polinomial escalada apropiadamente  $\{p_1^T, \dots, p_m^T\}$  (por ejemplo, la base Bernstein-Bézier con respecto a  $T$  usada en la implementación de Davydov), y una  $\phi_T$  apropiada,  $K_T$  es acotada independientemente de  $T$ . Ya que además  $N_T \leq M_{\max}$  donde  $M_{\max}$  es el parámetro introducido en la sección anterior, la estimación (2.15) muestra que el tamaño de  $\|f - g_T\|_{C(T)}$  es comparable con el tamaño de la aproximación  $E(f, \mathcal{H}_T)_{C(T)}$  si (2.14) se satisface.

Entonces, (2.14) provee un criterio para aceptar o rechazar un conjunto  $Y_T$  dado (el cual determina de manera única a la matriz  $C_T$ ). Para encontrar un

conjunto  $Y_T$  apropiado, Davydov et. al. usan un procedimiento codicioso<sup>1</sup> ascendente. Ellos empiezan con unos pocos puntos y añaden más puntos en los lugares de máximo error mientras (2.14) se satisface. Si el conjunto inicial  $Y_T$  no satisface (2.14), entonces ellos optan por producir una aproximación polinomial local aplicando el procedimiento descrito en [Davydov y Zeilfelder, 2004] empezando con el grado 3.

El método de arriba se resume en el siguiente algoritmo. Además del conjunto de datos locales  $\Xi_T$  y los correspondientes valores  $f_1, \dots, f_{N_T}$ , sus *parámetros de entrada* son los tres vértices  $\{\mathbf{v}_1^T, \mathbf{v}_2^T, \mathbf{v}_3^T\}$  del triángulo  $T$ , la cota superior  $n_{\text{máx}} \geq 3$  de  $n_T = \#Y_T$ , y la tolerancia  $\kappa_P$  para la parte polinomial y la tolerancia  $\kappa_H$  en (2.14). Sus *datos de salida* son el conjunto de puntos  $Y_T$  con  $n_T = \#Y_T \leq \min\{n_{\text{máx}}, N_T - m\}$  y la aproximación local correspondiente  $g_T$ , i.e. los coeficientes  $a_1^T, \dots, a_m^T$  y  $b_1^T, \dots, b_{n_T}^T$  que definen a  $g_T$  en (2.11).

Como se mencionó anteriormente, el procedimiento es *ascendente*, Davydov et. al. empiezan con solo tres nodos si  $N_T$  es lo suficientemente grande. A saber, si  $N_T \geq m+3$ , ellos seleccionan, por razones de simetría, los primeros tres nodos como los tres puntos distintos de  $\Xi_T$  más cercanos a los vértices del triángulo (de lo contrario si  $N_T < m+3$ , entonces se calcula la aproximación polinomial local  $p_T$  de grado a lo más 3 usando el algoritmo en [(Davydov y Zeilfelder, 2004)]). Más nodos se siguen añadiendo mientras que  $n_T < \min\{n_{\text{máx}}, N_T - m\}$  y (2.14) se satisfaga. (Si la condición (2.14) en un paso en éste ciclo while, entonces el último nodo insertado es removido y se regresa a la aproximación híbrida previa). En cada paso el nuevo nodo candidato se determina eligiendo una ubicación  $\mathbf{X}_i \in \Xi_T \setminus Y_T$  donde el error de aproximación actual es el peor.

---

<sup>1</sup>traducción literal de la palabra en inglés *greedy*

---

**Algoritmo 4 Procedimiento LHA**

---

**Datos de entrada:**  $N_T, \Xi_T = \{\mathbf{X}_1, \dots, \mathbf{X}_{N_T}\}, \{f_1, \dots, f_{N_T}\}, \{\mathbf{v}_1^T, \mathbf{v}_2^T, \mathbf{v}_3^T\}, n_{\text{máx}},$

$\kappa_P, \kappa_H$

**Datos de salida:**  $Y_T, g_T$

Inicializar  $n_T = 0, Y_T = \emptyset$

2: **if**  $N_T < \binom{3+2}{2} + 3$  **then**

    Calcular  $g_T = p_T$  (polynomial approximation)

4: **else**

    Hacer  $n_T = 3$

6:   **for**  $i = 1, 2, 3$  **do**

        Definir  $Y_T = Y_T \cup \{\mathbf{X}_{k_i}\}$ , donde  $\|\mathbf{X}_{k_i} - \mathbf{v}_i^T\|_2 = \min_{\mathbf{X} \in \Xi_T \setminus Y_T} \|\mathbf{X} - \mathbf{v}_i^T\|$

8:   **end for**

    Inicializar la matriz de colocación  $C_T$

10: **if**  $\sigma_{\min}^{-1}(C_T) > \kappa_H$  **then**

    Hacer  $n_T = 0, Y_T = \emptyset$

12:   Calcular  $g_T = p_T$

**else**

14:   Calcular  $g_T =$  aproximación híbrida actual

**while**  $n_T < \min\{n_{\text{máx}}, N_T - \binom{3+2}{2}\}$  **do**

16:     Calcular  $err_j = |f_j - g_T(\mathbf{X}_j)|, j = 1, \dots, N_T$

      Hacer  $i = \operatorname{argmax}_{j \in \Xi_T \setminus Y_T} err_j$

18:     Asignar  $n_T = n_T + 1, Y_T = Y_T \cup \{\mathbf{X}_i\}$

      Actualizar  $C_T$

20:     **if**  $\sigma_{\min}^{-1}(C_T) > \kappa_H$  **then**

      Hacer  $n_T = n_T - 1, Y_T = Y_T \setminus \{\mathbf{X}_i\}$

22:     **Break**

**end if**

24:     Calcular  $g_T$

**end while**

26:   **end if**

**end if**

---

La función híbrida de arriba se incorpora al algoritmo de dos etapas [Davydov y Zeilfelder, 2004], reemplazando la aproximación polinomial originalmente empleada en ese artículo. El resultado de la primer etapa en cada triángulo  $T \in \mathcal{T}$  debe ser un polinomio  $p_T$  de grado 3 en la forma Bernstein-Bézier. Sin embargo, la aproximación híbrida local  $g_T$  está dada de manera distinta, (2.11). Para remediar ésta situación Davydov et. al. reemplazan  $g_T$  en (2.11) con un polinomio aplicando otra vez el método de mínimos cuadrados.

Más precisamente, la técnica discreta de mínimos cuadrados se usa con respecto a las evaluaciones de  $g_T$  en  $\binom{D+2}{2}$  puntos dominio en  $T$  relacionados a los polinomios de cierto grado  $D \geq 3$ . En los experimentos numéricos usamos  $D = 2 \times 3$ . Enfatizamos que 3 es el grado del polinomio. El inverso del valor singular más pequeño de la matriz de colocación correspondiente es pequeño lo que garantiza que la aproximación en mínimos cuadrados es buena. Adicionalmente, la matriz de colocación es la misma para todos los triángulos  $T \in \mathcal{T}$ . Por lo tanto, el costo computacional añadido es insignificante.

Davydov et. al. usan la base de polinomios Bernstein con respecto al triángulo  $T$  como la base polinomial local  $\{p_1^T, \dots, p_m^T\}$  usada en (2.11). Respecto al término  $\phi_T$  en (2.11) escogen la RBF *multicuádrica* de Hardy

$$\phi_{MQ}(r) = -\sqrt{1 + r^2}, \quad (2.16)$$

la cual es  $C^\infty$  y condicionalmente positiva definida de orden 1. Ésta función es la más comun y la más usada de las RBFs.

Davydov et. al. añaden otro grado de adaptabilidad escalando  $\phi_T$  para cada  $T$  mediante un parámetro de escalamiento  $\delta$ . Entonces la RBF usada en (2.11) toma la forma

$$\phi_T(r) = c_T \phi\left(\frac{r}{\delta d_T}\right) \quad (2.17)$$

donde

$$d_T := \max_{1 \leq i, j \leq N_T} \|\mathbf{X}_i - \mathbf{X}_j\|_2$$

es el diámetro del conjunto local  $\Xi_T$ , y  $c_T$  es una constante. El valor de  $d_T$  variará con la densidad local de los datos. Ellos usan  $c_T = -\delta d_T$  de tal manera que  $\phi_T$  se convierte en

$$\phi_T(r) = \phi_{T, MQ}(r) := -\delta d_T \phi_{MQ}\left(\frac{r}{\delta d_T}\right) = \sqrt{(\delta d_T)^2 + r^2}. \quad (2.18)$$

En conjunto, además de la RBF  $\phi$ , el método de Davydov depende de varios parámetros: el ancho de la malla  $h_x$  y el alto de la malla  $h_y$ , el grado  $q$  de la parte polinomial usada en (2.11), las tolerancias  $\kappa_H$  and  $\kappa_P$  para el inverso del valor singular mínimo, los parámetros para la selección de puntos locales  $M_{\min}$ ,  $M_{\max}$ , el coeficiente de escalamiento  $\delta$  usado en (2.17), la cota superior  $n_{\max}$  en el número de nodos  $n_T$  en (2.11), y el parámetro  $D$  de la malla uniforme usada para la evaluación de la aproximación híbrida local  $g_T$ .

En lugar de  $h_x$  y  $h_y$  usamos el tamaño de la malla  $n_x \times n_y$ . Para producir la malla se calcula el rectángulo mínimo  $[a, b] \times [c, d]$  que contiene los puntos  $\mathbf{X}_i$ ,  $i = 1, \dots, N$ . Entonces, éste rectángulo se divide en  $n_x n_y$  subrectángulos iguales insertando  $n_x - 1$  líneas verticales equiespaciadas y  $n_y - 1$  líneas horizontales equiespaciadas. Entonces

$$h_x = (b - a)/n_x, \quad h_y = (d - c)/n_y$$

La malla cuatro direccional se obtiene insertando las diagonales de cada subrectángulo. Entonces el número de parámetros necesarios para guardar el spline es  $5n_x n_y + 4(n_x + n_y) + 3$ .

Davydov et. al. [Davydov, Morandi y Sestini, 2006] reportaron que el tamaño de la malla  $n_x \times n_y$  así como los parámetros  $M_{\min}$ ,  $M_{\max}$ ,  $\delta$  y  $\kappa_H$  influyen de manera significativa el desempeño del método. Después de ejecutar muchos experimentos ellos proclaman que no hay valores universales de éstos parámetros que sean mejores, pero que deben ser ajustados para el tipo de datos en cuestión. Sugieren que el valor de los parámetros se puede encontrar en la práctica mediante un procedimiento que involucre experimentar con pequeños subconjuntos de los datos y mediante la técnica de validación cruzada. Esto es porque en sus experimentos los mismos valores de los parámetros funcionaron con éxito en todas las aproximaciones locales. Ellos no emplearon validación cruzada. En lugar de eso encontraron buenos valores de los parámetros mediante prueba y error.

Para terminar éste capítulo describimos todos los parámetros usados en el método de Davydov.

| parámetro  | significado   |
|------------|---|
| $n_x$      | Número de divisiones en lo ancho de $[a, b] \times [c, d]$ .  |
| $n_y$      | Número de divisiones en lo alto de $[a, b] \times [c, d]$ .   |
| $q$        | Grado de la parte polinomial de la aproximación híbrida (Ec. 2.11).   |
| $\kappa_H$ | Tolerancia del inverso del valor singular mínimo de la matriz de colocación del método híbrido.                                   |
| $\kappa_P$ | Tolerancia del inverso del valor singular mínimo de la matriz de colocación cuando un polinomio es usado como aproximación local. |
| $M_{\min}$ | Cota inferior del número de nodos $N_T$ usados en $\Omega_T$ , $M_{\min} \leq N_T$ .  |
| $M_{\max}$ | Cota superior del número de nodos $N_T$ usados en $\Omega_T$ , $N_T \leq M_{\max}$ .  |
| $\delta$   | Parámetro de escalamiento en la RBF $\phi_T$ .  |
| $n_{\max}$ | Cota superior $\#Y_T$ , del número de nodos usados para la aproximación híbrida en los términos RBF.                              |
| $D$        | Grado del polinomio usado para aproximar $g_T$ en la segunda etapa del método.  |

Tabla 2.1: Significado de los parámetros usados en el método de Davydov [Davydov, Morandi y Sestini, 2006]

# Capítulo 3

## Método propuesto

En éste capítulo presentamos nuestro método el cual se basa en minimizar la rugosidad de la superficie aproximante así como su distancia a los datos. Originalmente ésta idea fue introducida por Reinsch [Reincsh, 1967] para atacar el problema de aproximación de datos en una dimensión. Reinsch usó splines para atenuar la oscilación de polinomios en la interpolación de datos dispersos. Un razonamiento similar puede encontrarse en el artículo [Kimeldorf y Wahba, 1971]. Aquí el dominio es un rectángulo simétrico  $\Omega = [-l', l'] \times [-h', h']$  donde  $l'$  y  $h'$  son números positivos.

Como se mencionó en capítulos anteriores, los datos del problema es un conjunto de puntos  $\{(X_i, Y_i, Z_i)\}_{i=1}^N$  donde  $\{(X_i, Y_i)\}_{i=1}^N \subset [-l', l'] \times [-h', h']$ .  $Z_i = g(X_i, Y_i) + \epsilon_i$  son observaciones de una función desconocida  $g(x, y)$  contaminadas con ruido  $\epsilon_i$  (En capitúlos anteriores usamos  $\mathbf{X}_i = (X_i, Y_i)$ ). El objetivo es aproximar  $g(x, y)$ .

Motivados por el teorema de convergencia de las series de Fourier, la función aproximante tiene la expresión<sup>1</sup>

---

<sup>1</sup>Los coeficientes  $b_{0,n}$ ,  $c_{m,0}$ ,  $d_{0,n}$  y  $d_{m,0}$  son redundantes ya que los términos trigonométricos

$$\begin{aligned}
f(x, y) := & \sum_{m=0}^{K_1} \sum_{n=0}^{K_2} \left\{ a_{m,n} \cos\left(\frac{\pi mx}{l}\right) \cos\left(\frac{\pi ny}{h}\right) \right. \\
& + b_{m,n} \sin\left(\frac{\pi mx}{l}\right) \cos\left(\frac{\pi ny}{h}\right) + c_{m,n} \cos\left(\frac{\pi mx}{l}\right) \sin\left(\frac{\pi ny}{h}\right) \\
& \left. + d_{m,n} \sin\left(\frac{\pi mx}{l}\right) \sin\left(\frac{\pi ny}{h}\right) \right\} \quad (3.1)
\end{aligned}$$

donde  $K_1$  y  $K_2$  son enteros no negativos que se escogen por el usuario y  $l$ ,  $h$  dependen de  $l'$ ,  $h'$ . Si  $g(x, y)$  no es periódica en  $[-l', l'] \times [-h', h']$ , entonces  $l$  y  $h$  se deben elegir de tal manera que  $l > l'$  y  $h > h'$  para evitar el fenómeno de Gibbs (Grishin et. al. [Grishin y Strohmer, 2003] aborda éste problema imponiendo condiciones de frontera tipo Neumann). Elegir  $l = l'$  y  $h = h'$  hace a  $f(x, y)$  periódica con periodo  $l'$  y  $h'$  en  $x$  y  $y$  respectivamente. Esto produciría discontinuidades a lo largo de la frontera de  $[-l', l'] \times [-h', h']$ .

En la mayoría de los casos, cuando  $g(x, y)$  no es periódica en  $[-l', l'] \times [-h', h']$ , la extensión periódica de  $g(x, y)$  sobre  $\mathbb{R}^2$  tendría discontinuidades a lo largo de las líneas  $x = (2i + 1)l'$  y  $y = (2i + 1)h'$  para  $i \in \mathbb{Z}$ . Sin embargo, si tomamos  $l > l'$  y  $h > h'$ , le damos espacio a la función  $f(x, y)$  a ser periódica en  $[-l, l] \times [-h, h]$ . No obstante, nos concentramos en el rectángulo  $[-l', l'] \times [-h', h']$ . No es recomendable optimizar sobre los valores de  $l$  y  $h$  porque eso sería costoso computacionalmente. Tenemos buenos resultados tomando  $l = 3l'$  y  $h = 3h'$ .

Considerando el problema de optimización

$$\min_f \left\{ \frac{1}{N} \sum_{s=1}^N (f(X_s, Y_s) - Z_s)^2 + \lambda \int_{-h}^h \int_{-l}^l (f_{xx}^2 + 2f_{xy}^2 + f_{yy}^2) dx dy \right\} \quad (3.2)$$

y definiendo  $\mathcal{L}$  como

---

que les acompañan son iguales a cero

$$\mathcal{L}(\text{coeficientes}) = \frac{1}{N} \sum_{s=1}^N (f(X_s, Y_s) - Z_s)^2 + \lambda \int_{-h}^h \int_{-l}^l (f_{xx}^2 + 2f_{xy}^2 + f_{yy}^2) dx dy$$

El primer término de la función  $\mathcal{L}$  cuantifica la proximidad o distancia de la superficie aproximante a los datos mientras que el segundo término cuantifica su rugosidad. El parámetro  $\lambda$  determina la importancia o el peso que se le da a éstos dos criterios. Si  $\lambda$  es pequeño entonces la superficie aproximante ajustará bien los datos y podría aparecer rugosidad que no es propia de la función a aproximar. Dicha rugosidad se debe a las oscilaciones naturales de las funciones trigonométricas que forman a la función aproximante. En cambio, si  $\lambda$  es muy grande la superficie aproximante será suave, e incluso podría llegar a ser plana y no ajustará bien los datos. Un método para determinar  $\lambda$ , que no discutiremos en éste trabajo, es el método de la curva L. El parámetro  $\lambda$  se determina aquí a prueba y error.

Los coeficientes de Fourier  $a_{m,n}$ ,  $b_{m,n}$ ,  $c_{m,n}$ ,  $d_{m,n}$  se determinan resolviendo el sistema

$$\begin{aligned} \frac{\partial \mathcal{L}}{\partial a_{i,j}} &= 0 \\ \frac{\partial \mathcal{L}}{\partial b_{i,j}} &= 0 \\ \frac{\partial \mathcal{L}}{\partial c_{i,j}} &= 0 \\ \frac{\partial \mathcal{L}}{\partial d_{i,j}} &= 0 \end{aligned} \tag{3.3}$$

o  $\nabla \mathcal{L} = 0$ .

Ésta técnica es conocida como mínimos cuadrados penalizados. Esto es porque cuando  $\lambda = 0$  el problema 3.2 se puede expresar en la forma más familiar

$$\min_{\vec{x}} \|\tilde{A}\vec{x} - \vec{d}\|_2^2 \quad (3.4)$$

donde  $\tilde{A}$  es una matriz cuyas filas son

$$\begin{aligned} \tilde{A}_i = & \left( \dots, \cos\left(\frac{\pi m X_i}{l}\right) \cos\left(\frac{\pi n Y_i}{h}\right), \sin\left(\frac{\pi m X_i}{l}\right) \cos\left(\frac{\pi n Y_i}{h}\right), \right. \\ & \left. \cos\left(\frac{\pi m X_i}{l}\right) \sin\left(\frac{\pi n Y_i}{h}\right), \sin\left(\frac{\pi m X_i}{l}\right) \sin\left(\frac{\pi n Y_i}{h}\right), \dots \right) \end{aligned} \quad (3.5)$$

para  $i = 1, 2, \dots, N$  y

$$\vec{d} = (Z_1, \dots, Z_N)^T \quad (3.6)$$

El sistema (3.3) se puede expresar como

$$\Delta^2 \mathcal{L} \vec{x} = \vec{b} \quad (3.7)$$

donde  $\Delta^2 \mathcal{L}$  es el Hessiano de  $\mathcal{L}$  y  $\vec{x}$  es el vector de coeficientes de Fourier

$$\vec{x} = (\dots, a_{ij}, b_{ij}, c_{ij}, d_{ij}, \dots)^T. \quad (3.8)$$

en orden lexicográfico.

**Teorema 3.0.1.** *Existe una única solución al sistema lineal (3.7)*

*Demostración.*  $\mathcal{L}(\vec{x})$  es una función cuadrática acotada por abajo por cero y cuyos coeficientes principales son todos estrictamente positivos<sup>2</sup>. Por lo tanto, la gráfica de  $\mathcal{L}(\vec{x})$  es un paraboloides estrictamente convexo que tiene un único mínimo global. Por el criterio de la segunda derivada, el punto mínimo es la única solución al sistema (3.7).  $\square$

---

<sup>2</sup>asumimos que los coeficientes redundantes de Fourier son eliminados

**Corolario 3.0.1.** *La matriz  $\Delta^2\mathcal{L}$  es simétrica y positivo definida.*

*Demostración.*  $\Delta^2\mathcal{L}$  es claramente simétrica. Integrando (3.7) tenemos

$$\mathcal{L}(\vec{x}) = \frac{1}{2}\vec{x}^T \Delta^2\mathcal{L}\vec{x} - \vec{b}^T \vec{x} + \vec{c}$$

donde  $\vec{c}$  es el vector constante que depende únicamente de  $Z_i$ . Sea  $\tilde{x}$  la solución de  $\Delta^2\mathcal{L}\vec{x} = \vec{b}$  y  $p \neq \tilde{x}$  entonces [Sewchuk, 1994]

$$\mathcal{L}(p) = \mathcal{L}(\tilde{x}) + \frac{1}{2}(p - \tilde{x})^T \Delta^2\mathcal{L}(p - \tilde{x}).$$

Ya que  $\mathcal{L}(\tilde{x}) < \mathcal{L}(p)$ , se sigue que  $(p - \tilde{x})^T \Delta^2\mathcal{L}(p - \tilde{x}) > 0$ . Entonces,  $\Delta^2\mathcal{L}$  es positivo definida.  $\square$

### 3.1. Calculando el Hessiano

Ahora procederemos a calcular  $\Delta^2\mathcal{L}$ . Dividimos el Hessiano en 16 bloques

$$\Delta^2\mathcal{L} = \begin{pmatrix} \frac{\partial\mathcal{L}}{\partial a_{i,j}\partial a_{m,n}} & \frac{\partial\mathcal{L}}{\partial a_{i,j}\partial b_{m,n}} & \frac{\partial\mathcal{L}}{\partial a_{i,j}\partial c_{m,n}} & \frac{\partial\mathcal{L}}{\partial a_{i,j}\partial d_{m,n}} \\ \frac{\partial\mathcal{L}}{\partial b_{i,j}\partial a_{m,n}} & \frac{\partial\mathcal{L}}{\partial b_{i,j}\partial b_{m,n}} & \frac{\partial\mathcal{L}}{\partial b_{i,j}\partial c_{m,n}} & \frac{\partial\mathcal{L}}{\partial b_{i,j}\partial d_{m,n}} \\ \frac{\partial\mathcal{L}}{\partial c_{i,j}\partial a_{m,n}} & \frac{\partial\mathcal{L}}{\partial c_{i,j}\partial b_{m,n}} & \frac{\partial\mathcal{L}}{\partial c_{i,j}\partial c_{m,n}} & \frac{\partial\mathcal{L}}{\partial c_{i,j}\partial d_{m,n}} \\ \frac{\partial\mathcal{L}}{\partial d_{i,j}\partial a_{m,n}} & \frac{\partial\mathcal{L}}{\partial d_{i,j}\partial b_{m,n}} & \frac{\partial\mathcal{L}}{\partial d_{i,j}\partial c_{m,n}} & \frac{\partial\mathcal{L}}{\partial d_{i,j}\partial d_{m,n}} \end{pmatrix} \quad (3.9)$$

Las entradas del Hessiano están dadas por (ver el Apéndice A)

$$\begin{aligned} \frac{\partial^2\mathcal{L}}{\partial a_{i,j}\partial a_{m,n}} &= 4\lambda \frac{\pi^4}{l^2 h^2} mnij \int_{-h}^h \int_{-l}^l \sin\left(\frac{\pi mx}{l}\right) \sin\left(\frac{\pi ny}{h}\right) \sin\left(\frac{\pi ix}{l}\right) \sin\left(\frac{\pi jy}{h}\right) dx dy \\ &+ 2\lambda \left( \left(\frac{\pi}{l}\right)^4 m^2 i^2 + \left(\frac{\pi}{h}\right)^4 n^2 j^2 \right) \int_{-h}^h \int_{-l}^l \cos\left(\frac{\pi mx}{l}\right) \cos\left(\frac{\pi ny}{h}\right) \cos\left(\frac{\pi ix}{l}\right) \cos\left(\frac{\pi jy}{h}\right) dx dy \\ &\quad + \frac{2}{N} \sum_{s=1}^N \cos\left(\frac{\pi m X_s}{l}\right) \cos\left(\frac{\pi n Y_s}{h}\right) \cos\left(\frac{\pi i X_s}{l}\right) \cos\left(\frac{\pi j Y_s}{h}\right) \\ \frac{\partial^2\mathcal{L}}{\partial a_{i,j}\partial b_{m,n}} &= \frac{2}{N} \sum_{s=1}^N \sin\left(\frac{\pi m X_s}{l}\right) \cos\left(\frac{\pi n Y_s}{h}\right) \cos\left(\frac{\pi i X_s}{l}\right) \cos\left(\frac{\pi j Y_s}{h}\right) \end{aligned}$$

$$\frac{\partial^2 \mathcal{L}}{\partial a_{i,j} c_{m,n}} = \frac{2}{N} \sum_{s=1}^N \cos\left(\frac{\pi m X_s}{l}\right) \sin\left(\frac{\pi n Y_s}{h}\right) \cos\left(\frac{\pi i X_s}{l}\right) \cos\left(\frac{\pi j Y_s}{h}\right)$$

$$\frac{\partial^2 \mathcal{L}}{\partial a_{i,j} d_{m,n}} = \frac{2}{N} \sum_{s=1}^N \sin\left(\frac{\pi m X_s}{l}\right) \sin\left(\frac{\pi n Y_s}{h}\right) \cos\left(\frac{\pi i X_s}{l}\right) \cos\left(\frac{\pi j Y_s}{h}\right)$$

$$\begin{aligned} \frac{\partial^2 \mathcal{L}}{\partial b_{i,j} b_{m,n}} &= 4\lambda \frac{\pi^4}{l^2 h^2} m n i j \int_{-h}^h \int_{-l}^l \cos\left(\frac{\pi m x}{l}\right) \sin\left(\frac{\pi n y}{h}\right) \cos\left(\frac{\pi i x}{l}\right) \sin\left(\frac{\pi j y}{h}\right) dx dy \\ &+ 2\lambda \left( \left(\frac{\pi}{l}\right)^4 m^2 i^2 + \left(\frac{\pi}{h}\right)^4 n^2 j^2 \right) \int_{-h}^h \int_{-l}^l \sin\left(\frac{\pi m x}{l}\right) \cos\left(\frac{\pi n y}{h}\right) \sin\left(\frac{\pi i x}{l}\right) \cos\left(\frac{\pi j y}{h}\right) dx dy \\ &\quad + \frac{2}{N} \sum_{s=1}^N \sin\left(\frac{\pi m X_s}{l}\right) \cos\left(\frac{\pi n Y_s}{h}\right) \sin\left(\frac{\pi i X_s}{l}\right) \cos\left(\frac{\pi j Y_s}{h}\right) \end{aligned}$$

$$\frac{\partial^2 \mathcal{L}}{\partial b_{i,j} c_{m,n}} = \frac{2}{N} \sum_{s=1}^N \cos\left(\frac{\pi m X_s}{l}\right) \sin\left(\frac{\pi n Y_s}{h}\right) \sin\left(\frac{\pi i X_s}{l}\right) \cos\left(\frac{\pi j Y_s}{h}\right)$$

$$\frac{\partial^2 \mathcal{L}}{\partial b_{i,j} d_{m,n}} = \frac{2}{N} \sum_{s=1}^N \sin\left(\frac{\pi m X_s}{l}\right) \sin\left(\frac{\pi n Y_s}{h}\right) \sin\left(\frac{\pi i X_s}{l}\right) \cos\left(\frac{\pi j Y_s}{h}\right)$$

$$\begin{aligned} \frac{\partial^2 \mathcal{L}}{\partial c_{i,j} c_{m,n}} &= 4\lambda \frac{\pi^4}{l^2 h^2} m n i j \int_{-h}^h \int_{-l}^l \sin\left(\frac{\pi m x}{l}\right) \cos\left(\frac{\pi n y}{h}\right) \sin\left(\frac{\pi i x}{l}\right) \cos\left(\frac{\pi j y}{h}\right) dx dy \\ &+ 2\lambda \left( \left(\frac{\pi}{l}\right)^4 m^2 i^2 + \left(\frac{\pi}{h}\right)^4 n^2 j^2 \right) \int_{-h}^h \int_{-l}^l \cos\left(\frac{\pi m x}{l}\right) \sin\left(\frac{\pi n y}{h}\right) \cos\left(\frac{\pi i x}{l}\right) \sin\left(\frac{\pi j y}{h}\right) dx dy \\ &\quad + \frac{2}{N} \sum_{s=1}^N \cos\left(\frac{\pi m X_s}{l}\right) \sin\left(\frac{\pi n Y_s}{h}\right) \cos\left(\frac{\pi i X_s}{l}\right) \sin\left(\frac{\pi j Y_s}{h}\right) \end{aligned}$$

$$\frac{\partial^2 \mathcal{L}}{\partial c_{i,j} d_{m,n}} = \frac{2}{N} \sum_{s=1}^N \sin\left(\frac{\pi m X_s}{l}\right) \sin\left(\frac{\pi n Y_s}{h}\right) \cos\left(\frac{\pi i X_s}{l}\right) \sin\left(\frac{\pi j Y_s}{h}\right)$$

$$\begin{aligned} \frac{\partial^2 \mathcal{L}}{\partial d_{i,j} d_{m,n}} &= 4\lambda \frac{\pi^4}{l^2 h^2} m n i j \int_{-h}^h \int_{-l}^l \cos\left(\frac{\pi m x}{l}\right) \cos\left(\frac{\pi n y}{h}\right) \cos\left(\frac{\pi i x}{l}\right) \cos\left(\frac{\pi j y}{h}\right) dx dy \\ &+ 2\lambda \left( \left(\frac{\pi}{l}\right)^4 m^2 i^2 + \left(\frac{\pi}{h}\right)^4 n^2 j^2 \right) \int_{-h}^h \int_{-l}^l \sin\left(\frac{\pi m x}{l}\right) \sin\left(\frac{\pi n y}{h}\right) \sin\left(\frac{\pi i x}{l}\right) \sin\left(\frac{\pi j y}{h}\right) dx dy \\ &\quad + \frac{2}{N} \sum_{s=1}^N \sin\left(\frac{\pi m X_s}{l}\right) \sin\left(\frac{\pi n Y_s}{h}\right) \sin\left(\frac{\pi i X_s}{l}\right) \sin\left(\frac{\pi j Y_s}{h}\right) \end{aligned}$$

Las integrales son calculadas exactamente en las siguientes tablas

| $\int_{-h}^h \int_{-l}^l \cos\left(\frac{\pi mx}{l}\right) \cos\left(\frac{\pi ny}{h}\right) \cos\left(\frac{\pi ix}{l}\right) \cos\left(\frac{\pi jy}{h}\right) dx dy =$ | si                                       |
|---|--|
| $4hl$   | $m = n = i = j = 0$                      |
| $4hl \frac{\sin(j\pi)}{j\pi}$   | $m = n = i = 0, j \neq 0$                |
| $4hl \frac{\sin(i\pi)}{i\pi}$   | $m = n = 0, i \neq 0, j = 0$             |
| $4hl \frac{\sin(i\pi) \sin(j\pi)}{ij\pi^2}$   | $m = n = 0, i \neq 0, j \neq 0$          |
| $4hl \frac{\sin(n\pi)}{n\pi}$   | $m = 0, n \neq 0, i = 0, j = 0$          |
| $2hl + hl \frac{\sin(2j\pi)}{j\pi}$   | $m = 0, n \neq 0, i = 0, j = n$          |
| $4hjl \frac{\cos(n\pi) \sin(j\pi)}{(j^2 - n^2)\pi} - 4hnl \frac{\sin(n\pi) \cos(j\pi)}{(j^2 - n^2)\pi}$   | $m = 0; n \neq 0; i = 0; j \neq n, 0$    |
| $4hl \frac{\sin(i\pi) \sin(n\pi)}{in\pi^2}$   | $m = 0, n \neq 0, i \neq 0, j = 0$       |
| $2hl \frac{\sin(i\pi)}{i\pi} + hl \frac{\sin(i\pi) \sin(2j\pi)}{ij\pi^2}$   | $m = 0, n \neq 0, i \neq 0, j = n$       |
| $4hjl \frac{\cos(n\pi) \sin(i\pi) \sin(j\pi)}{i(j^2 - n^2)\pi^2}$   | $m = 0; n \neq 0; i \neq 0; j \neq n, 0$ |
| $-4hln \frac{\cos(j\pi) \sin(i\pi) \sin(n\pi)}{i(j^2 - n^2)\pi^2}$  |  |
| $4hl \frac{\sin(m\pi)}{m\pi}$   | $m \neq 0, n = 0, i = 0, j = 0$          |
| $4hl \frac{\sin(j\pi) \sin(m\pi)}{jm\pi^2}$   | $m \neq 0, n = 0, i = 0, j \neq 0$       |
| $2hl + hl \frac{\sin(2i\pi)}{i\pi}$   | $m \neq 0, n = 0, i = m, j = 0$          |
| $2hl \frac{\sin((i-m)\pi)}{(i-m)\pi} + 2hl \frac{\sin((i+m)\pi)}{(i+m)\pi}$   | $m \neq 0, ; n = 0; i \neq m, 0; j = 0$  |
| $2hl \frac{\sin(j\pi)}{j\pi} + hl \frac{\sin(2i\pi) \sin(j\pi)}{ij\pi^2}$   | $m \neq 0, n = 0, i = m, j \neq 0$       |
| $2hl \frac{\sin(j\pi) \sin((i-m)\pi)}{j(i-m)\pi^2} + 2hl \frac{\sin(j\pi) \sin((i+m)\pi)}{j(i+m)\pi^2}$   | $m \neq 0; n = 0; i \neq m, 0; j \neq 0$ |
| $4hl \frac{\sin(m\pi) \sin(n\pi)}{mn\pi^2}$   | $m \neq 0, n \neq 0, i = 0, j = 0$       |
| $2hl \frac{\sin(m\pi)}{m\pi} + hl \frac{\sin(2j\pi) \sin(m\pi)}{jm\pi^2}$   | $m \neq 0, n \neq 0, i = 0, j = n$       |
| $4hjl \frac{\cos(n\pi) \sin(j\pi) \sin(m\pi)}{m(j^2 - n^2)\pi^2} - 4hln \frac{\cos(j\pi) \sin(m\pi) \sin(n\pi)}{m(j^2 - n^2)\pi^2}$                                       | $m \neq 0; n \neq 0; i = 0; j \neq n, 0$ |
| $2hl \frac{\sin(n\pi)}{n\pi} + hl \frac{\sin(2i\pi) \sin(n\pi)}{in\pi^2}$   | $m \neq 0, n \neq 0, i = m, j = 0$       |
| $2hl \frac{\sin((i-m)\pi) \sin(n\pi)}{(i-m)n\pi^2} + 2hl \frac{\sin((i+m)\pi) \sin(n\pi)}{(i+m)n\pi^2}$   | $m \neq 0; n \neq 0; i \neq m, 0; j = 0$ |
| $hl + hl \frac{\sin(2i\pi)}{2i\pi} + hl \frac{\sin(2j\pi)}{2j\pi} + hl \frac{\sin(2i\pi) \sin(2j\pi)}{4ij\pi^2}$  | $m \neq 0, n \neq 0, i = m, j = n$       |
| $2hjl \frac{\cos(n\pi) \sin(j\pi)}{(j^2 - n^2)\pi} + hjl \frac{\cos(n\pi) \sin(2i\pi) \sin(j\pi)}{i(j^2 - n^2)\pi}$   | $m \neq 0; n \neq 0; i = m; j \neq n, 0$ |
| $-2hln \frac{\cos(j\pi) \sin(n\pi)}{(j^2 - n^2)\pi} - hln \frac{\cos(j\pi) \sin(2i\pi) \sin(n\pi)}{i(j^2 - n^2)\pi}$  |  |
| $2hil \frac{\cos(m\pi) \sin(i\pi)}{(i-m)(i+m)\pi} + hil \frac{\cos(m\pi) \sin(i\pi) \sin(2j\pi)}{j(i-m)(i+m)\pi^2}$   | $m \neq 0; n \neq 0; i \neq m, 0; j = n$ |
| $-2hlm \frac{\cos(i\pi) \sin(m\pi)}{(i-m)(i+m)\pi} - hlm \frac{\cos(i\pi) \sin(2j\pi) \sin(m\pi)}{j(i-m)(i+m)\pi^2}$  |  |
| $4hijl \frac{\cos(m\pi) \cos(n\pi) \sin(i\pi) \sin(j\pi)}{(i-m)(i+m)(j^2 - n^2)\pi^2}$  |  |
| $-4hijlm \frac{\cos(i\pi) \cos(n\pi) \sin(j\pi) \sin(m\pi)}{(i-m)(i+m)(j^2 - n^2)\pi^2}$  |  |
| $-4hiln \frac{\cos(j\pi) \cos(m\pi) \sin(i\pi) \sin(n\pi)}{(i-m)(i+m)(j^2 - n^2)\pi^2}$   |  |
| $+4hlmn \frac{\cos(i\pi) \cos(j\pi) \sin(m\pi) \sin(n\pi)}{(i-m)(i+m)(j^2 - n^2)\pi^2}$   | $m \neq 0, n \neq 0, i \neq m, j \neq n$ |

Tabla 3.1: Valor de  $\int_{-h}^h \int_{-l}^l \cos\left(\frac{\pi mx}{l}\right) \cos\left(\frac{\pi ny}{h}\right) \cos\left(\frac{\pi ix}{l}\right) \cos\left(\frac{\pi jy}{h}\right) dx dy$  para distintos valores de  $m, n, i, j$

| $\int_{-h}^h \int_{-l}^l \sin\left(\frac{\pi mx}{l}\right) \cos\left(\frac{\pi ny}{h}\right) \sin\left(\frac{\pi ix}{l}\right) \cos\left(\frac{\pi jy}{h}\right) dx dy =$ | si   |
|---|--|
| 0   | $m = 0$ o $i = 0$                              |
| $2hl - hl \frac{\sin(2i\pi)}{i\pi}$   | $m \neq 0, n = 0, i = m, j = 0$                |
| $2hl \frac{\sin((i-m)\pi)}{(i-m)\pi} - 2hl \frac{\sin((i+m)\pi)}{(i+m)\pi}$   | $m \neq 0; n = 0; i \neq 0, m; j = 0$          |
| $2hl \frac{\sin(j\pi)}{j\pi} - hl \frac{\sin(2i\pi) \sin(j\pi)}{ij\pi^2}$   | $m \neq 0, n = 0, i = m, j \neq 0$             |
| $2hl \frac{\sin(j\pi) \sin((i-m)\pi)}{j(i-m)\pi^2} - 2hl \frac{\sin(j\pi) \sin((i+m)\pi)}{j(i+m)\pi^2}$   | $m \neq 0; n = 0; i \neq m, 0; j \neq 0$       |
| $2hl \frac{\sin(n\pi)}{n\pi} - hl \frac{\sin(2i\pi) \sin(n\pi)}{in\pi^2}$   | $m \neq 0, n \neq 0, i = m, j = 0$             |
| $2hl \frac{\sin((i-m)\pi) \sin(n\pi)}{(i-m)n\pi^2} + -2hl \frac{\sin((i+m)\pi) \sin(n\pi)}{(i+m)n\pi^2}$  | $m \neq 0; n \neq 0; i \neq m, 0; j = 0$       |
| $hl - hl \frac{\sin(2i\pi)}{2i\pi} + hl \frac{\sin(2j\pi)}{2j\pi} - hl \frac{\sin(2i\pi) \sin(2j\pi)}{4ij\pi^2}$  | $m \neq 0, n \neq 0, i = m, j = n$             |
| $2hjl \frac{\cos(n\pi) \sin(j\pi)}{(j^2-n^2)\pi} - hjl \frac{\cos(n\pi) \sin(2i\pi) \sin(j\pi)}{i(j^2-n^2)\pi}$   | $m \neq 0; n \neq 0; i = m; j \neq n, 0$       |
| $-2hln \frac{\cos(j\pi) \sin(n\pi)}{(j^2-n^2)\pi} + hln \frac{\cos(j\pi) \sin(2i\pi) \sin(n\pi)}{i(j^2-n^2)\pi}$  |  |
| $2hlm \frac{\cos(m\pi) \sin(i\pi)}{(i-m)(i+m)\pi} + hlm \frac{\cos(m\pi) \sin(i\pi) \sin(2j\pi)}{j(i-m)(i+m)\pi^2}$   | $m \neq 0; n \neq 0; i \neq m, 0; j = n$       |
| $-2hil \frac{\cos(i\pi) \sin(m\pi)}{(i-m)(i+m)\pi} - hil \frac{\cos(i\pi) \sin(2j\pi) \sin(m\pi)}{j(i-m)(i+m)\pi^2}$  |  |
| $4hjlm \frac{\cos(m\pi) \cos(n\pi) \sin(i\pi) \sin(j\pi)}{(i-m)(i+m)(j^2-n^2)\pi^2}$  |  |
| $-4hijl \frac{\cos(i\pi) \cos(n\pi) \sin(j\pi) \sin(m\pi)}{(i-m)(i+m)(j^2-n^2)\pi^2}$   | $m \neq 0; n \neq 0; i \neq m, 0; j \neq n, 0$ |
| $-4hlmn \frac{\cos(j\pi) \cos(m\pi) \sin(i\pi) \sin(n\pi)}{(i-m)(i+m)(j^2-n^2)\pi^2}$   |  |
| $+4hiln \frac{\cos(i\pi) \cos(j\pi) \sin(m\pi) \sin(n\pi)}{(i-m)(i+m)(j^2-n^2)\pi^2}$   |  |

Tabla 3.2: Valor de  $\int_{-h}^h \int_{-l}^l \sin\left(\frac{\pi mx}{l}\right) \cos\left(\frac{\pi ny}{h}\right) \sin\left(\frac{\pi ix}{l}\right) \cos\left(\frac{\pi jy}{h}\right) dx dy$  para distintos valores de  $m, n, i, j$

| $\int_{-h}^h \int_{-l}^l \cos\left(\frac{\pi mx}{l}\right) \sin\left(\frac{\pi ny}{h}\right) \cos\left(\frac{\pi ix}{l}\right) \sin\left(\frac{\pi jy}{h}\right) dx dy =$ | si   |
|---|--|
| 0   | $n = 0 \text{ o } j = 0$                       |
| $2hl - hl \frac{\sin(2j\pi)}{j\pi}$   | $m = 0, n = j, i = 0, j \neq 0$                |
| $4hln \frac{\cos(n\pi) \sin(j\pi)}{(j^2-n^2)\pi} - 4hjl \frac{\cos(j\pi) \sin(n\pi)}{(j^2-n^2)\pi}$   | $m = 0; n \neq 0, j; i = 0, m; j \neq 0$       |
| $2hil \frac{\cos(m\pi) \sin(i\pi)}{(i-m)(i+m)\pi} - hil \frac{\cos(m\pi) \sin(i\pi) \sin(2j\pi)}{j(i-m)(i+m)\pi^2}$   | $m = 0, n = j, i \neq 0, j \neq 0$             |
| $-2hlm \frac{\cos(i\pi) \sin(m\pi)}{(i-m)(i+m)\pi} + hlm \frac{\cos(i\pi) \sin(2j\pi) \sin(m\pi)}{j(i-m)(i+m)\pi^2}$  |  |
| $4hln \frac{\cos(n\pi) \sin(i\pi) \sin(j\pi)}{i(j^2-n^2)\pi^2} -$   | $m = 0; n \neq 0; i \neq 0; j \neq 0, n$       |
| $4hjl \frac{\cos(j\pi) \sin(i\pi) \sin(n\pi)}{i(j^2-n^2)\pi^2}$   |  |
| $2hl \frac{\sin(m\pi)}{m\pi} - hl \frac{\sin(2j\pi) \sin(m\pi)}{jm\pi^2}$   | $m \neq 0, n = j, i = 0, j \neq 0$             |
| $4hln \frac{\cos(n\pi) \sin(j\pi) \sin(m\pi)}{m(j^2-n^2)\pi^2}$   | $m \neq 0; n \neq 0, j; i = 0, j \neq 0$       |
| $4hjl \frac{\cos(j\pi) \sin(m\pi) \sin(n\pi)}{m(j^2-n^2)\pi^2}$   |  |
| $hl - hl \frac{\sin(2i\pi)}{2i\pi} - hl \frac{\sin(2j\pi)}{2j\pi} - hl \frac{\sin(2i\pi) \sin(2j\pi)}{4ij\pi^2}$  | $m = i, n = j, i \neq 0, j \neq 0$             |
| $2hln \frac{\cos(n\pi) \sin(j\pi)}{(j^2-n^2)\pi} + hln \frac{\cos(n\pi) \sin(2i\pi) \sin(j\pi)}{i(j^2-n^2)\pi}$   | $m = i; n \neq j, 0; i \neq 0; j \neq 0$       |
| $-2hjl \frac{\cos(j\pi) \sin(n\pi)}{(j^2-n^2)\pi} - hjl \frac{\cos(j\pi) \sin(2i\pi) \sin(n\pi)}{i(j^2-n^2)\pi^2}$  |  |
| $4hiln \frac{\cos(m\pi) \cos(n\pi) \sin(i\pi) \sin(j\pi)}{(i-m)(i+m)(j^2-n^2)\pi^2}$  |  |
| $-4hlmn \frac{\cos(i\pi) \cos(n\pi) \sin(j\pi) \sin(m\pi)}{(i-m)(i+m)(j^2-n^2)\pi^2}$   |  |
| $-4hijl \frac{\cos(j\pi) \cos(m\pi) \sin(i\pi) \sin(n\pi)}{(i-m)(i+m)(j^2-n^2)\pi^2}$   |  |
| $+4hjlm \frac{\cos(i\pi) \cos(j\pi) \sin(m\pi) \sin(n\pi)}{(i-m)(i+m)(j^2-n^2)\pi^2}$   | $m \neq i, 0; n \neq j, 0; i \neq 0; j \neq 0$ |

Tabla 3.3: Valor de  $\int_{-h}^h \int_{-l}^l \cos\left(\frac{\pi mx}{l}\right) \sin\left(\frac{\pi ny}{h}\right) \cos\left(\frac{\pi ix}{l}\right) \sin\left(\frac{\pi jy}{h}\right) dx dy$  para distintos valores de  $m, n, i, j$

| $\int_{-h}^h \int_{-l}^l \sin\left(\frac{\pi mx}{l}\right) \sin\left(\frac{\pi ny}{h}\right) \sin\left(\frac{\pi ix}{l}\right) \sin\left(\frac{\pi jy}{h}\right) dx dy =$   | si   |
|---|--|
| 0   | $m = 0, n = 0, i = 0, j = 0$                   |
| $hl - hl \frac{\sin(2i\pi)}{2i\pi} - hl \frac{\sin(2j\pi)}{2j\pi} + hl \frac{\sin(2i\pi) \sin(2j\pi)}{4ij\pi^2}$  | $m \neq 0, n \neq 0, i = m, j = n$             |
| $2hln \frac{\cos(n\pi) \sin(j\pi)}{(j^2 - n^2)\pi} - hln \frac{\cos(n\pi) \sin(2i\pi) \sin(j\pi)}{i(j^2 - n^2)\pi^2}$<br>$- 2hjl \frac{\cos(j\pi) \sin(n\pi)}{(j^2 - n^2)\pi} + hjl \frac{\cos(j\pi) \sin(2i\pi) \sin(n\pi)}{i(j^2 - n^2)\pi^2}$  | $m \neq 0; n \neq 0; i = m; j \neq n, 0$       |
| $2hlm \frac{\cos(m\pi) \sin(i\pi)}{(i-m)(i+m)\pi} - hlm \frac{\cos(m\pi) \sin(i\pi) \sin(2j\pi)}{j(i-m)(i+m)\pi^2}$<br>$- 2hil \frac{\cos(i\pi) \sin(m\pi)}{(i-m)(i+m)\pi} + hil \frac{\cos(i\pi) \sin(2j\pi) \sin(m\pi)}{j(i-m)(i+m)\pi^2}$  | $m \neq 0; n \neq 0; i \neq m, 0; j = n$       |
| $4hlmn \frac{\cos(m\pi) \cos(n\pi) \sin(i\pi) \sin(j\pi)}{(i-m)(i+m)(j^2 - n^2)\pi^2}$<br>$- 4hiln \frac{\cos(i\pi) \cos(n\pi) \sin(j\pi) \sin(m\pi)}{(i-m)(i+m)(j^2 - n^2)\pi^2}$<br>$- 4hjl n \frac{\cos(j\pi) \cos(m\pi) \sin(i\pi) \sin(n\pi)}{(i-m)(i+m)(j^2 - n^2)\pi^2}$<br>$+ 4hijl \frac{\cos(i\pi) \cos(j\pi) \sin(m\pi) \sin(n\pi)}{(i-m)(i+m)(j^2 - n^2)\pi^2}$ | $m \neq 0, n \neq 0; i \neq m, 0; j \neq n, 0$ |

Tabla 3.4: Valor de  $\int_{-h}^h \int_{-l}^l \sin\left(\frac{\pi mx}{l}\right) \sin\left(\frac{\pi ny}{h}\right) \sin\left(\frac{\pi ix}{l}\right) \sin\left(\frac{\pi jy}{h}\right) dx dy$  para distintos valores de  $m, n, i, j$

Para ilustrar el orden lexicográfico que le damos a los coeficientes de Fourier dividimos  $\Delta^2 \mathcal{L}$  en 16 bloques

$$\Delta^2 \mathcal{L} = \begin{pmatrix} He(1, 1) & He(1, 2) & He(1, 3) & He(1, 4) \\ He(2, 1) & He(2, 2) & He(2, 3) & He(2, 4) \\ He(3, 1) & He(3, 2) & He(3, 3) & He(3, 4) \\ He(4, 1) & He(4, 2) & He(4, 3) & He(4, 4) \end{pmatrix} \quad (3.10)$$

El bloque  $He(1, 2)$  contiene las derivadas

$$He(1, 1) = \begin{pmatrix} AA(0, 0) & AA(0, 1) & \dots & AA(0, K_2) \\ AA(1, 0) & AA(1, 1) & \dots & AA(1, K_2) \\ \vdots & \vdots & \ddots & \vdots \\ AA(K_1, 0) & AA(K_1, 1) & \dots & AA(K_1, K_2) \end{pmatrix} \quad (3.11)$$

donde los subbloques  $AA(i, j)$  están definidos mediante

$$AA(0, 0) := \begin{pmatrix} \frac{\partial^2 \mathcal{L}}{\partial a_{0,0}^2} & \frac{\partial^2 \mathcal{L}}{\partial a_{0,0} a_{0,1}} & \dots & \frac{\partial^2 \mathcal{L}}{\partial a_{0,0} a_{0,K_2}} \\ \frac{\partial^2 \mathcal{L}}{\partial a_{0,1} a_{0,0}} & \frac{\partial^2 \mathcal{L}}{\partial a_{0,1}^2} & \dots & \frac{\partial^2 \mathcal{L}}{\partial a_{0,1} a_{0,K_2}} \\ \vdots & \vdots & \ddots & \vdots \\ \frac{\partial^2 \mathcal{L}}{\partial a_{0,K_2} a_{0,0}} & \frac{\partial^2 \mathcal{L}}{\partial a_{0,K_2} a_{0,1}} & \dots & \frac{\partial^2 \mathcal{L}}{\partial a_{0,K_2}^2} \end{pmatrix}, \quad (3.12)$$

$$AA(1, 0) := \begin{pmatrix} \frac{\partial^2 \mathcal{L}}{\partial a_{1,0} a_{0,0}} & \frac{\partial^2 \mathcal{L}}{\partial a_{1,0} a_{0,1}} & \dots & \frac{\partial^2 \mathcal{L}}{\partial a_{1,0} a_{0,K_2}} \\ \frac{\partial^2 \mathcal{L}}{\partial a_{1,1} a_{0,0}} & \frac{\partial^2 \mathcal{L}}{\partial a_{1,1} a_{0,1}} & \dots & \frac{\partial^2 \mathcal{L}}{\partial a_{1,1} a_{0,K_2}} \\ \vdots & \vdots & \ddots & \vdots \\ \frac{\partial^2 \mathcal{L}}{\partial a_{1,K_2} a_{0,0}} & \frac{\partial^2 \mathcal{L}}{\partial a_{1,K_2} a_{0,1}} & \dots & \frac{\partial^2 \mathcal{L}}{\partial a_{1,K_2} a_{0,K_2}} \end{pmatrix}, \quad (3.13)$$

$$AA(0, 1) := \begin{pmatrix} \frac{\partial^2 \mathcal{L}}{\partial a_{0,0} a_{1,0}} & \frac{\partial^2 \mathcal{L}}{\partial a_{0,0} a_{1,1}} & \dots & \frac{\partial^2 \mathcal{L}}{\partial a_{0,0} a_{1,K_2}} \\ \frac{\partial^2 \mathcal{L}}{\partial a_{0,1} a_{1,0}} & \frac{\partial^2 \mathcal{L}}{\partial a_{0,1} a_{1,1}} & \dots & \frac{\partial^2 \mathcal{L}}{\partial a_{0,1} a_{1,K_2}} \\ \vdots & \vdots & \ddots & \vdots \\ \frac{\partial^2 \mathcal{L}}{\partial a_{0,K_2} a_{1,0}} & \frac{\partial^2 \mathcal{L}}{\partial a_{0,K_2} a_{1,1}} & \dots & \frac{\partial^2 \mathcal{L}}{\partial a_{0,K_2} a_{1,K_2}} \end{pmatrix}. \quad (3.14)$$

En general

$$AA(i, j) = \begin{pmatrix} \frac{\partial^2 \mathcal{L}}{\partial a_{i,0} a_{j,0}} & \frac{\partial^2 \mathcal{L}}{\partial a_{i,0} a_{j,1}} & \dots & \frac{\partial^2 \mathcal{L}}{\partial a_{i,0} a_{j,K_2}} \\ \frac{\partial^2 \mathcal{L}}{\partial a_{i,1} a_{j,0}} & \frac{\partial^2 \mathcal{L}}{\partial a_{i,1} a_{j,1}} & \dots & \frac{\partial^2 \mathcal{L}}{\partial a_{i,1} a_{j,K_2}} \\ \vdots & \vdots & \ddots & \vdots \\ \frac{\partial^2 \mathcal{L}}{\partial a_{i,K_2} a_{j,0}} & \frac{\partial^2 \mathcal{L}}{\partial a_{i,K_2} a_{j,1}} & \dots & \frac{\partial^2 \mathcal{L}}{\partial a_{i,K_2} a_{j,K_2}} \end{pmatrix} \quad (3.15)$$

Los demás subbloques se definen de manera análoga.

El cálculo del Hessiano es muy costoso computacionalmente. Esto es porque cada entrada de la matriz depende de todos los datos. En el Apéndice B mostramos cómo paralelizar el cálculo del Hessiano usando la librería MPI y el lenguaje Fortran.

# Capítulo 4

## Resultados numéricos

### 4.1. Datos de Franke

El primer experimento consiste en aplicar los métodos en cuestión a 100 puntos (fig. 4.1) provenientes de la función de prueba de Franke (Fig. 4.2 a)

$$f(x, y) = \frac{3}{4} \exp \left[ -\frac{(9x - 2)^2 + (9y - 2)^2}{4} \right] + \frac{3}{4} \exp \left[ -\frac{(9x + 1)^2}{49} - \frac{(9y + 1)}{10} \right] \\ + \frac{1}{2} \exp \left[ -\frac{(9x - 7)^2 + (9y - 3)^2}{4} \right] - \frac{1}{5} \exp \left[ -(9x - 4)^2 - (9y - 7)^2 \right].$$

El conjunto de datos está disponible en la página [*Oleg Davydov's Home Page*]. Éstos datos se usaron por R. Franke para comparar varios métodos de aproximación de datos dispersos de su tiempo. Franke concluyó que los métodos basados en RBFs eran los mejores [Franke, 1979].

En la Fig. 4.2 mostramos las superficies producidas al aplicar los métodos expuestos.

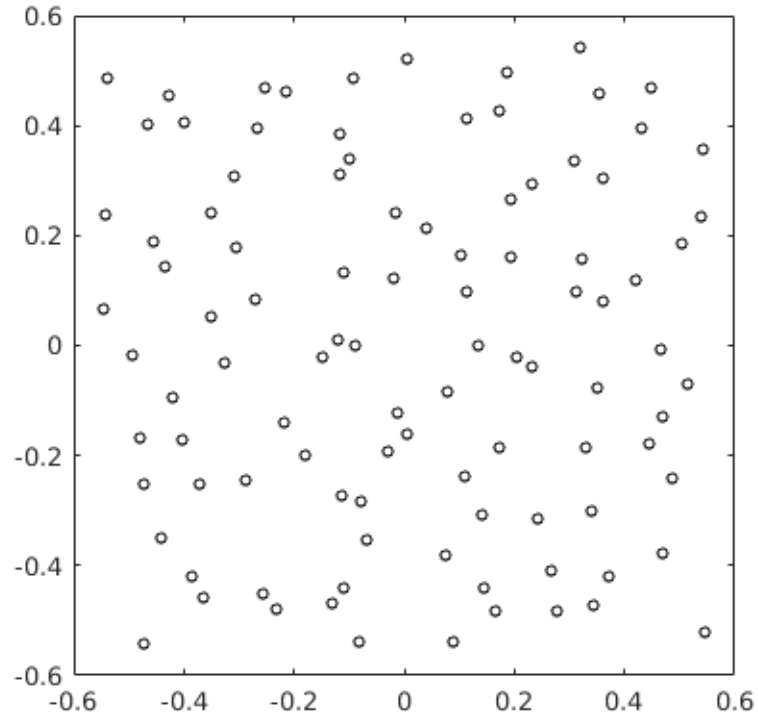


Figura 4.1: Datos de Franke

| $n_x$ | $n_y$ | $q$ | $M_{\text{mín}}$ | $M_{\text{máx}}$ | $\delta$ | $D$ |
|-------|-------|-----|------------------|------------------|----------|-----|
| 5     | 5     | 3   | 20               | 100              | 0.5      | 3   |

Tabla 4.1: Parámetros usados en el método de Davydov para los datos de Franke

| $l$ | $h$ | $K_1$ | $K_2$ | $\lambda$          |
|-----|-----|-------|-------|--------------------|
| 1.8 | 1.8 | 20    | 20    | $1 \times 10^{-7}$ |

Tabla 4.2: Parámetros usados en el método propuesto en los datos de Franke

|     |
|-----|
| $N$ |
| 32  |

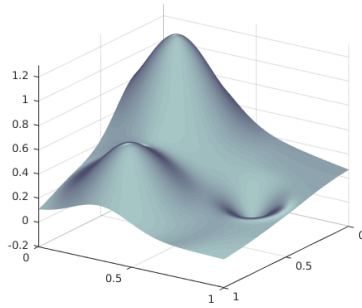
Tabla 4.3: Parámetro usado en el método de Potts para los datos de Franke

En la siguiente tabla listamos el máximo error, el promedio de los errores y la media cuadrática de los métodos en una malla de 41 por 41.

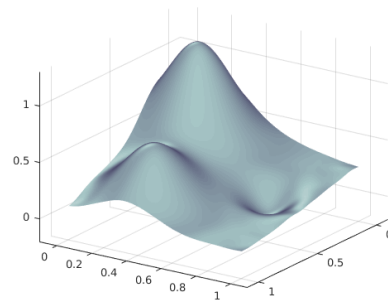
| método    | máx    | promedio | media cuadrática |
|-----------|--------|----------|------------------|
| Potts     | 0.2651 | 0.0032   | 0.0192           |
| Davydov   | 0.0188 | 0.0022   | 0.0035           |
| propuesto | 0.0376 | 0.0108   | 0.0135           |

Tabla 4.4: Error de aproximación de los métodos en una malla de tamaño 241 por 241

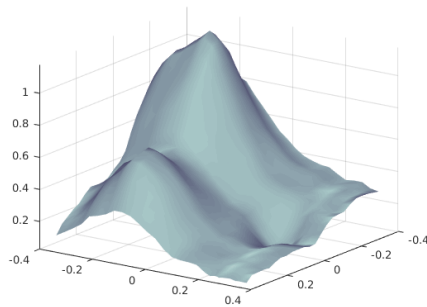
En la figura 4.2 mostramos las gráficas producidas al implementar los métodos con los parámetros antes mencionados. Visualmente el método de Davydov y el método propuesto reproducen muy bien a la gráfica de Franke. Una de las razones por las cuales el método propuesto no es tan preciso como el de Davydov es por que la función de Franke se compone de términos exponenciales que requieren muchos términos en la serie de Fourier y por la poca cantidad de datos.



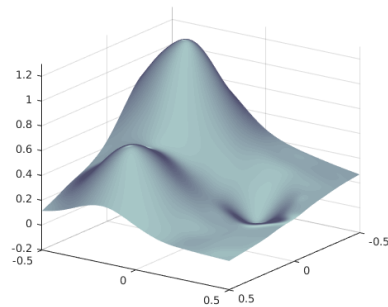
(a) Superficie de Franke



(b) Método de Davydov



(c) Método de Potts



(d) Método propuesto en la tesis

Figura 4.2: Métodos en los datos de Franke

## 4.2. Datos de Valles curvos

El segundo experimento numérico contrasta con el primero en el sentido que se tiene mucha información disponible o, en otras palabras, los datos son densos. Consideramos la función de referencia "valles curvos"

$$f(x, y) = 0.5 \cos^4(4(x^2 + y - 1))$$

cuya gráfica se muestra en la figura (Fig. 4.3 b). Usamos 10,201 puntos de ésta

función en una malla regular

|     |     |       |       |                    |
|-----|-----|-------|-------|--------------------|
| $l$ | $h$ | $K_1$ | $K_2$ | $\lambda$          |
| 1.5 | 1.5 | 20    | 20    | $1 \times 10^{-6}$ |

Tabla 4.5: Parámetros usados por el método propuesto en los datos de valles curvos

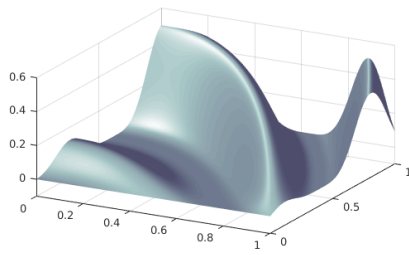
|     |
|-----|
| $N$ |
| 256 |

Tabla 4.6: Parámetro usado en el método de Potts [Kunis y Potts, 2007] para los valles curvos

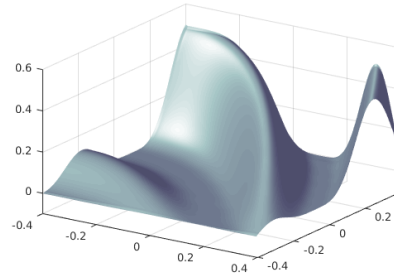
| método    | máx    | promedio                | media cuadrática        |
|-----------|--------|-------------------------|-------------------------|
| Potts     | 0.0490 | 0.0092                  | 0.0053                  |
| propuesto | 0.0096 | $3.4014 \times 10^{-4}$ | $6.9306 \times 10^{-4}$ |

Tabla 4.7: Error de aproximación de los métodos para valles curvos

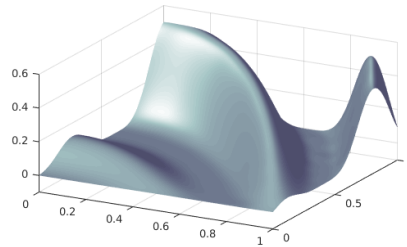
En la figura 4.3 comparamos el método de Potts y el método propuesto. Ambos funcionan muy bien cuando hay una cantidad abundante y bien distribuida de datos.



(a) Superficie de valles curvos



(b) método de Potts



(c) método propuesto en la tesis

Figura 4.3: Métodos en los datos de valles curvos

### 4.3. Datos del glaciar

En ésta sección usamos los 8345 puntos de referencia del "glaciar" disponibles en [*Oleg Davydov's Home Page*] bajo el nombre vol87. Éstos puntos se muestran en la figura 4.4 a. La figura 4.4 muestra el resultado de aplicar los métodos expuestos a dichos datos. La Fig. 4.5 muestra las curvas de nivel.

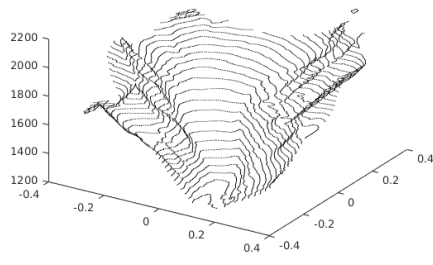
|       |       |     |            |                  |                  |          |     |
|-------|-------|-----|------------|------------------|------------------|----------|-----|
| $n_x$ | $n_y$ | $q$ | $\kappa_H$ | $M_{\text{mín}}$ | $M_{\text{máx}}$ | $\delta$ | $D$ |
| 20    | 24    | 3   | $10^{-5}$  | 60               | 160              | 0.4      | 3   |

Tabla 4.8: Parámetros usados por el método de Davydov en los datos del glaciar

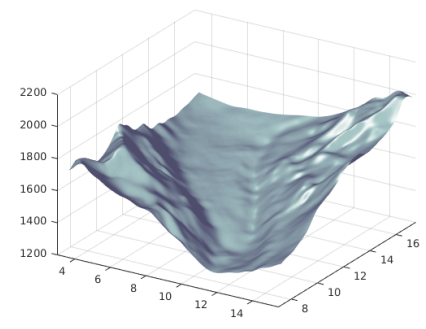
|     |     |       |       |                    |                  |
|-----|-----|-------|-------|--------------------|------------------|
| $h$ | $l$ | $K_1$ | $K_2$ | $\lambda$          | Figura           |
| 1.2 | 1.2 | 30    | 30    | $1 \times 10^{-8}$ | 4.4 (d), 4.5 (d) |
| 1.2 | 1.2 | 35    | 35    | $1 \times 10^{-8}$ | 4.4 (e), 4.5 (e) |

Tabla 4.9: Parámetros usados por el método propuesto en los datos del glaciar

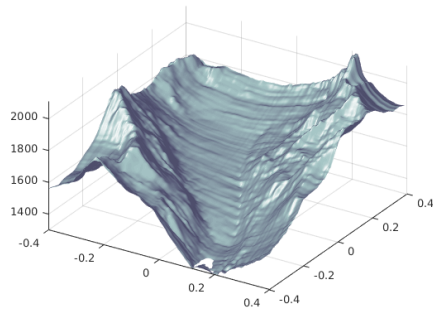
En las figuras 4.4 y 4.5 mostramos las superficies y curvas de nivel resultantes de aplicar los métodos expuestos. Las figuras 4.4, 4.5 (d) y (e) corresponden al método propuesto con distinto número de términos de Fourier. En las figuras 4.4 (d) y 4.5 (d) se usaron 3844 términos mientras que en las figuras 4.5 (e) y 4.5 (e) se usaron 5184 términos. Podemos observar que entre más términos de Fourier el método propuesto aproxima mejor los datos (figuras 4.5 (a), (d) y (e)) pero no es tan bueno como el método de Davydov (figura 4.5 (a) y (b)). Aunque el método de Potts interpola los datos la superficie entre éstos presenta oscilaciones (figura 4.4 (c))



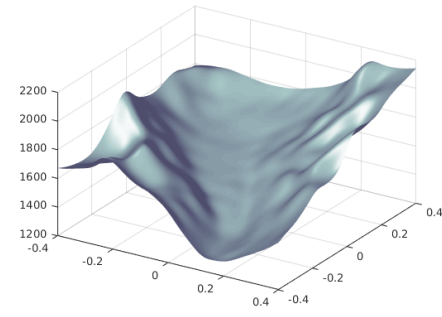
(a) Datos del glaciar



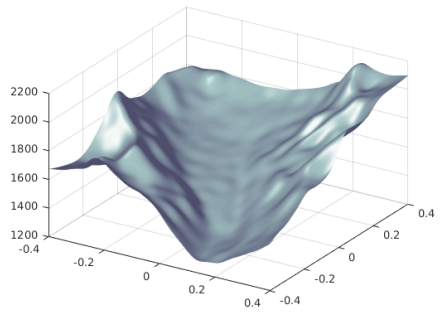
(b) método de Davydov



(c) método de Potts

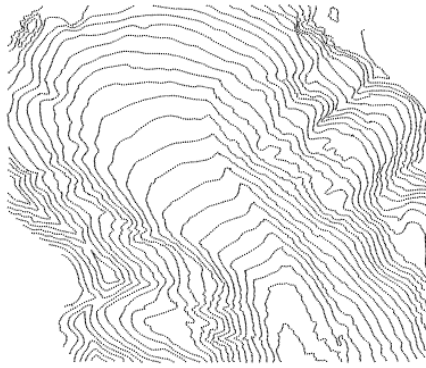


(d) método propuesto en la tesis

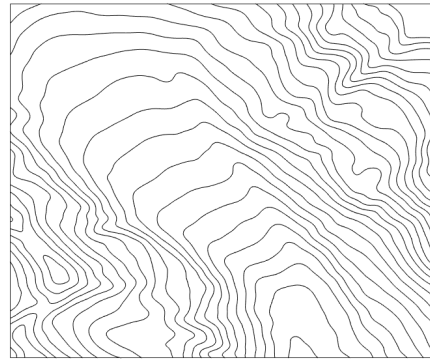


(e) método propuesto en la tesis

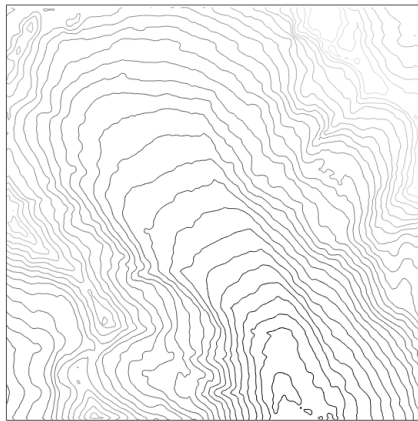
Figura 4.4: Métodos en los datos del glaciar



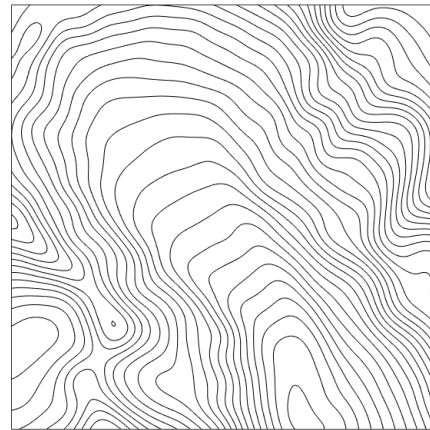
(a) datos del glaciar



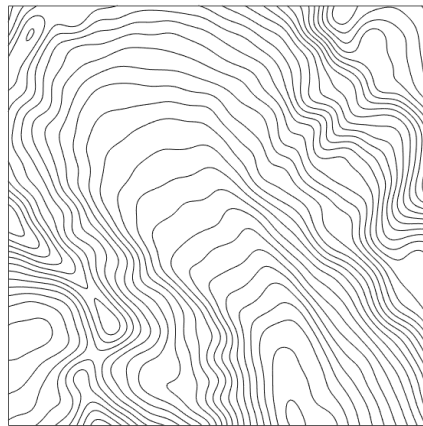
(b) método de Davydov



(c) método de Potts



(d) método propuesto en la tesis



(e) método propuesto en la tesis

Figura 4.5: Curvas de nivel

# Capítulo 5

## Conclusiones y trabajo futuro

Hemos presentado un método global para el problema de aproximación de datos dispersos basado en series de Fourier y que minimiza la rugosidad de la superficie aproximante y considera que los datos pueden contener ruido. El método propuesto es comparado con dos métodos recientes que abordan el mismo problema. El primero es global y también se basa en series de Fourier pero no minimiza la rugosidad de la superficie y considera que los datos no tienen ruido. El segundo método es local y se basa en splines y RBFs. Otras diferencias entre el primer método y el método propuesto en la tesis es en la representación de las series de Fourier y los algoritmos usados.

Podemos concluir en primer lugar acerca de la eficiencia de los métodos. El método propuesto es más costoso computacionalmente que los otros dos. El costo computacional aumenta con el número de términos de la serie pero da lugar a mejores aproximaciones. Sin embargo, éste se puede paralelizar muy fácilmente y no tiene tiempo muerto. El cómputo de una entrada del Hessiano no depende del valor de ninguna otra entrada. Cada valor se puede calcular de manera independiente siempre y cuando se tenga a disposición un número

suficiente de procesadores.

En segundo lugar concluimos que el método propuesto es mucho más simple que los otros dos. Además el número de parámetros depende de la complejidad de la función cuyos datos observables se van a aproximar. Entonces una función simple requiere pocos parámetros sin importar el número de datos disponibles. Un número mayor de datos sólo incrementaría el costo computacional del método. En contraste, los otros dos métodos dependen de muchos parámetros cuyo número es proporcional al número de datos. Ésta característica nos permite, en nuestro método, comprimir los datos usando solamente los coeficientes de Fourier calculados. Cualquier valor de la función aproximante se puede calcular con sus coeficientes de Fourier.

Los experimentos numéricos muestran que el método propuesto es más preciso que el método de Potts y comparable con el método de Davydov.

## 5.1. Trabajo futuro

En el trabajo futuro creemos que lo que se tiene que hacer para mejorar el método es:

Primero, generalizarlo a dimensiones mayores usando la notación exponencial de las series de Fourier.

Segundo, después de haber eliminado las filas y columnas iguales a cero del Hessiano podemos incorporar métodos iterativos como el método de gradiente conjugado para resolver el sistema lineal.

Tercero, se pueden incorporar algoritmos para calcular el parámetro de suavidad como validación cruzada o la curva L. Éste parámetro tiene un impacto considerable en la solución pues controla la rugosidad y la distancia de la su-

perficie aproximante a los puntos.

Finalmente, podemos derivar cotas del error del método propuesto como aquellas disponibles en el método de Davydov y los métodos globales basados en RBFs.

# Apéndice A

## Simplificando el sistema lineal

Recordemos que la función aproximante se expresa como

$$f(x, y) := \sum_{m=0}^{K_1} \sum_{n=0}^{K_2} \left\{ a_{m,n} \cos\left(\frac{\pi m x}{l}\right) \cos\left(\frac{\pi n y}{h}\right) + b_{m,n} \sin\left(\frac{\pi m x}{l}\right) \cos\left(\frac{\pi n y}{h}\right) \right. \\ \left. + c_{m,n} \cos\left(\frac{\pi m x}{l}\right) \sin\left(\frac{\pi n y}{h}\right) + d_{m,n} \sin\left(\frac{\pi m x}{l}\right) \sin\left(\frac{\pi n y}{h}\right) \right\}$$

y el problema consiste en minimizar

$$\min_f \left\{ \frac{1}{N} \sum_{i=1}^N (f(X_i, Y_i) - Z_i)^2 + \lambda \int_{-h}^h \int_{-l}^l (f_{xx}^2 + 2f_{xy}^2 + f_{yy}^2) dx dy \right\} \quad (\text{A.1})$$

Si definimos

$$\mathcal{L}(\text{coefficients}) = \frac{1}{N} \sum_{i=1}^N (f(X_i, Y_i) - Z_i)^2 + \lambda \int_{-h}^h \int_{-l}^l (f_{xx}^2 + 2f_{xy}^2 + f_{yy}^2) dx dy$$

entonces el punto mínimo es la solución del sistema lineal

$$\begin{aligned}\frac{\partial \mathcal{L}}{\partial a_{m,n}} &= 0 \\ \frac{\partial \mathcal{L}}{\partial b_{m,n}} &= 0 \\ \frac{\partial \mathcal{L}}{\partial c_{m,n}} &= 0 \\ \frac{\partial \mathcal{L}}{\partial d_{m,n}} &= 0\end{aligned}$$

Separamos la sumatoria en (A) de la siguiente manera

$$\sum_{m=0}^{K_1} \sum_{n=0}^{K_2} = \{m=0, n=0\} + \{m=0\} \sum_{n=1}^{K_2} + \sum_{m=1}^{K_1} \{n=0\} + \sum_{m=1}^{K_1} \sum_{n=1}^{K_2}$$

$$f(x, y) := a_{0,0}$$

$$\begin{aligned}+ \sum_{n=1}^{K_2} \left\{ a_{0,n} \cos\left(\frac{\pi n y}{h}\right) + c_{0,n} \sin\left(\frac{\pi n y}{h}\right) \right\} + \sum_{m=1}^{K_1} \left\{ a_{m,0} \cos\left(\frac{\pi m x}{l}\right) + b_{m,0} \sin\left(\frac{\pi m x}{l}\right) \right\} \\ + \sum_{m=1}^{K_1} \sum_{n=1}^{K_2} \left\{ a_{m,n} \cos\left(\frac{\pi m x}{l}\right) \cos\left(\frac{\pi n y}{h}\right) + b_{m,n} \sin\left(\frac{\pi m x}{l}\right) \cos\left(\frac{\pi n y}{h}\right) \right. \\ \left. + c_{m,n} \cos\left(\frac{\pi m x}{l}\right) \sin\left(\frac{\pi n y}{h}\right) + d_{m,n} \sin\left(\frac{\pi m x}{l}\right) \sin\left(\frac{\pi n y}{h}\right) \right\}\end{aligned}$$

La derivada respecto a la variable  $x$  es

$$\begin{aligned}f_x(x, y) &= \sum_{m=1}^{K_1} \frac{\pi m}{l} \left\{ -a_{m,0} \sin\left(\frac{\pi m x}{l}\right) + b_{m,0} \cos\left(\frac{\pi m x}{l}\right) \right\} \\ + \sum_{m=1}^{K_1} \sum_{n=1}^{K_2} \frac{\pi m}{l} \left\{ -a_{m,n} \sin\left(\frac{\pi m x}{l}\right) \cos\left(\frac{\pi n y}{h}\right) + b_{m,n} \cos\left(\frac{\pi m x}{l}\right) \cos\left(\frac{\pi n y}{h}\right) \right. \\ \left. - c_{m,n} \sin\left(\frac{\pi m x}{l}\right) \sin\left(\frac{\pi n y}{h}\right) + d_{m,n} \cos\left(\frac{\pi m x}{l}\right) \sin\left(\frac{\pi n y}{h}\right) \right\}\end{aligned}$$

o

$$\begin{aligned}f_x(x, y) := \\ \sum_{m=1}^{K_1} \sum_{n=0}^{K_2} \frac{\pi m}{l} \left\{ -a_{m,n} \sin\left(\frac{\pi m x}{l}\right) \cos\left(\frac{\pi n y}{h}\right) + b_{m,n} \cos\left(\frac{\pi m x}{l}\right) \cos\left(\frac{\pi n y}{h}\right) \right. \\ \left. - c_{m,n} \sin\left(\frac{\pi m x}{l}\right) \sin\left(\frac{\pi n y}{h}\right) + d_{m,n} \cos\left(\frac{\pi m x}{l}\right) \sin\left(\frac{\pi n y}{h}\right) \right\}\end{aligned}$$

La segunda derivada de  $f(x, y)$  respecto a  $x$  es

$$f_{xx} = \sum_{m=1}^{K_1} \left(\frac{\pi m}{l}\right)^2 \left\{ -a_{m,0} \cos\left(\frac{\pi m x}{l}\right) - b_{m,0} \sin\left(\frac{\pi m x}{l}\right) \right\} \\ + \sum_{m=1}^{K_1} \sum_{n=1}^{K_2} -\left(\frac{\pi m}{l}\right)^2 \left[ a_{m,n} \cos\left(\frac{\pi m x}{l}\right) \cos\left(\frac{\pi n y}{h}\right) + b_{m,n} \sin\left(\frac{\pi m x}{l}\right) \cos\left(\frac{\pi n y}{h}\right) \right. \\ \left. + c_{m,n} \cos\left(\frac{\pi m x}{l}\right) \sin\left(\frac{\pi n y}{h}\right) + d_{m,n} \sin\left(\frac{\pi m x}{l}\right) \sin\left(\frac{\pi n y}{h}\right) \right]$$

o

$$f_{xx} = \sum_{m=1}^{K_1} \sum_{n=0}^{K_2} -\left(\frac{\pi m}{l}\right)^2 \left[ a_{m,n} \cos\left(\frac{\pi m x}{l}\right) \cos\left(\frac{\pi n y}{h}\right) + b_{m,n} \sin\left(\frac{\pi m x}{l}\right) \cos\left(\frac{\pi n y}{h}\right) \right. \\ \left. + c_{m,n} \cos\left(\frac{\pi m x}{l}\right) \sin\left(\frac{\pi n y}{h}\right) + d_{m,n} \sin\left(\frac{\pi m x}{l}\right) \sin\left(\frac{\pi n y}{h}\right) \right]$$

Luego, la derivada de  $f(x, y)$  respecto a  $y$  es

$$f_y = \sum_{n=1}^{K_2} \frac{\pi n}{h} \left\{ -a_{0,n} \sin\left(\frac{\pi n y}{h}\right) + c_{0,n} \cos\left(\frac{\pi n y}{h}\right) \right\} \\ + \sum_{m=1}^{K_1} \sum_{n=1}^{K_2} \frac{\pi n}{h} \left[ -a_{m,n} \cos\left(\frac{\pi m x}{l}\right) \sin\left(\frac{\pi n y}{h}\right) - b_{m,n} \sin\left(\frac{\pi m x}{l}\right) \sin\left(\frac{\pi n y}{h}\right) \right. \\ \left. + c_{m,n} \cos\left(\frac{\pi m x}{l}\right) \cos\left(\frac{\pi n y}{h}\right) + d_{m,n} \sin\left(\frac{\pi m x}{l}\right) \cos\left(\frac{\pi n y}{h}\right) \right]$$

o

$$f_y = \sum_{m=0}^{K_1} \sum_{n=1}^{K_2} \frac{\pi n}{h} \left[ -a_{m,n} \cos\left(\frac{\pi m x}{l}\right) \sin\left(\frac{\pi n y}{h}\right) - b_{m,n} \sin\left(\frac{\pi m x}{l}\right) \sin\left(\frac{\pi n y}{h}\right) \right. \\ \left. + c_{m,n} \cos\left(\frac{\pi m x}{l}\right) \cos\left(\frac{\pi n y}{h}\right) + d_{m,n} \sin\left(\frac{\pi m x}{l}\right) \cos\left(\frac{\pi n y}{h}\right) \right]$$

La segunda derivada de  $f(x, y)$  respecto a  $y$  es

$$f_{yy} = \sum_{n=1}^{K_2} \left(\frac{\pi n}{h}\right)^2 \left\{ -a_{0,n} \cos\left(\frac{\pi n y}{h}\right) - c_{0,n} \sin\left(\frac{\pi n y}{h}\right) \right\} \\ \sum_{m=1}^{K_1} \sum_{n=1}^{K_2} -\left(\frac{\pi n}{h}\right)^2 \left[ a_{m,n} \cos\left(\frac{\pi m x}{l}\right) \cos\left(\frac{\pi n y}{h}\right) + b_{m,n} \sin\left(\frac{\pi m x}{l}\right) \cos\left(\frac{\pi n y}{h}\right) \right. \\ \left. + c_{m,n} \cos\left(\frac{\pi m x}{l}\right) \sin\left(\frac{\pi n y}{h}\right) + d_{m,n} \sin\left(\frac{\pi m x}{l}\right) \sin\left(\frac{\pi n y}{h}\right) \right]$$

o

$$f_{yy} = \sum_{m=0}^{K_1} \sum_{n=1}^{K_2} -\left(\frac{\pi n}{h}\right)^2 \left[ a_{m,n} \cos\left(\frac{\pi m x}{l}\right) \cos\left(\frac{\pi n y}{h}\right) + b_{m,n} \sin\left(\frac{\pi m x}{l}\right) \cos\left(\frac{\pi n y}{h}\right) \right. \\ \left. + c_{m,n} \cos\left(\frac{\pi m x}{l}\right) \sin\left(\frac{\pi n y}{h}\right) + d_{m,n} \sin\left(\frac{\pi m x}{l}\right) \sin\left(\frac{\pi n y}{h}\right) \right]$$

La derivada mixta de  $f(x, y)$  es

$$f_{xy} = \sum_{m=1}^{K_1} \sum_{n=1}^{K_2} \left(\frac{\pi m}{l}\right) \left(\frac{\pi n}{h}\right) \left[ a_{m,n} \sin\left(\frac{\pi m x}{l}\right) \sin\left(\frac{\pi n y}{h}\right) - b_{m,n} \cos\left(\frac{\pi m x}{l}\right) \sin\left(\frac{\pi n y}{h}\right) \right. \\ \left. - c_{m,n} \sin\left(\frac{\pi m x}{l}\right) \cos\left(\frac{\pi n y}{h}\right) + d_{m,n} \cos\left(\frac{\pi m x}{l}\right) \cos\left(\frac{\pi n y}{h}\right) \right]$$

Para calcular  $f_{xx}(x, y)^2$  recordemos que

$$f_{xx} = \sum_{m=1}^{K_1} \sum_{n=0}^{K_2} -\left(\frac{\pi m}{l}\right)^2 \left[ a_{m,n} \cos\left(\frac{\pi m x}{l}\right) \cos\left(\frac{\pi n y}{h}\right) + b_{m,n} \sin\left(\frac{\pi m x}{l}\right) \cos\left(\frac{\pi n y}{h}\right) \right. \\ \left. + c_{m,n} \cos\left(\frac{\pi m x}{l}\right) \sin\left(\frac{\pi n y}{h}\right) + d_{m,n} \sin\left(\frac{\pi m x}{l}\right) \sin\left(\frac{\pi n y}{h}\right) \right]$$

entonces

$$\begin{aligned}
f_{xx}(x, y)^2 = & \sum_{m,r=1}^{K_1} \sum_{n,s=0}^{K_2} \left( \frac{\pi m}{l} \right)^2 \left( \frac{\pi r}{l} \right)^2 [ \\
& a_{m,n} a_{r,s} \cos \left( \frac{\pi m x}{l} \right) \cos \left( \frac{\pi n y}{h} \right) \cos \left( \frac{\pi r x}{l} \right) \cos \left( \frac{\pi s y}{h} \right) \\
& + a_{m,n} b_{r,s} \cos \left( \frac{\pi m x}{l} \right) \cos \left( \frac{\pi n y}{h} \right) \sin \left( \frac{\pi r x}{l} \right) \cos \left( \frac{\pi s y}{h} \right) \\
& + a_{m,n} c_{r,s} \cos \left( \frac{\pi m x}{l} \right) \cos \left( \frac{\pi n y}{h} \right) \cos \left( \frac{\pi r x}{l} \right) \sin \left( \frac{\pi s y}{h} \right) \\
& + a_{m,n} d_{r,s} \cos \left( \frac{\pi m x}{l} \right) \cos \left( \frac{\pi n y}{h} \right) \sin \left( \frac{\pi r x}{l} \right) \sin \left( \frac{\pi s y}{h} \right) \\
& + b_{m,n} a_{r,s} \sin \left( \frac{\pi m x}{l} \right) \cos \left( \frac{\pi n y}{h} \right) \cos \left( \frac{\pi r x}{l} \right) \cos \left( \frac{\pi s y}{h} \right) \\
& + b_{m,n} b_{r,s} \sin \left( \frac{\pi m x}{l} \right) \cos \left( \frac{\pi n y}{h} \right) \sin \left( \frac{\pi r x}{l} \right) \cos \left( \frac{\pi s y}{h} \right) \\
& + b_{m,n} c_{r,s} \sin \left( \frac{\pi m x}{l} \right) \cos \left( \frac{\pi n y}{h} \right) \cos \left( \frac{\pi r x}{l} \right) \sin \left( \frac{\pi s y}{h} \right) \\
& + b_{m,n} d_{r,s} \sin \left( \frac{\pi m x}{l} \right) \cos \left( \frac{\pi n y}{h} \right) \sin \left( \frac{\pi r x}{l} \right) \sin \left( \frac{\pi s y}{h} \right) \\
& + c_{m,n} a_{r,s} \cos \left( \frac{\pi m x}{l} \right) \sin \left( \frac{\pi n y}{h} \right) \cos \left( \frac{\pi r x}{l} \right) \cos \left( \frac{\pi s y}{h} \right) \\
& + c_{m,n} b_{r,s} \cos \left( \frac{\pi m x}{l} \right) \sin \left( \frac{\pi n y}{h} \right) \sin \left( \frac{\pi r x}{l} \right) \cos \left( \frac{\pi s y}{h} \right) \\
& + c_{m,n} c_{r,s} \cos \left( \frac{\pi m x}{l} \right) \sin \left( \frac{\pi n y}{h} \right) \cos \left( \frac{\pi r x}{l} \right) \sin \left( \frac{\pi s y}{h} \right) \\
& + c_{m,n} d_{r,s} \cos \left( \frac{\pi m x}{l} \right) \sin \left( \frac{\pi n y}{h} \right) \sin \left( \frac{\pi r x}{l} \right) \sin \left( \frac{\pi s y}{h} \right) \\
& + d_{m,n} a_{r,s} \sin \left( \frac{\pi m x}{l} \right) \sin \left( \frac{\pi n y}{h} \right) \cos \left( \frac{\pi r x}{l} \right) \cos \left( \frac{\pi s y}{h} \right) \\
& + d_{m,n} b_{r,s} \sin \left( \frac{\pi m x}{l} \right) \sin \left( \frac{\pi n y}{h} \right) \sin \left( \frac{\pi r x}{l} \right) \cos \left( \frac{\pi s y}{h} \right) \\
& + d_{m,n} c_{r,s} \sin \left( \frac{\pi m x}{l} \right) \sin \left( \frac{\pi n y}{h} \right) \cos \left( \frac{\pi r x}{l} \right) \sin \left( \frac{\pi s y}{h} \right) \\
& + d_{m,n} d_{r,s} \sin \left( \frac{\pi m x}{l} \right) \sin \left( \frac{\pi n y}{h} \right) \sin \left( \frac{\pi r x}{l} \right) \sin \left( \frac{\pi s y}{h} \right) \\
& ]
\end{aligned}$$

Integrando sobre el rectángulo  $[-l, l] \times [-h, h]$  y luego derivando respecto a  $a_{i,j}$  obtenemos

$$\begin{aligned}
& \frac{\partial}{\partial a_{i,j}} \int_{-h}^h \int_{-l}^l f_{xx}(x,y)^2 dx dy = \\
& \sum_{r=1}^{K_1} \sum_{s=0}^{K_2} \left(\frac{\pi i}{l}\right)^2 \left(\frac{\pi r}{l}\right)^2 a_{r,s} \int_{-h}^h \int_{-l}^l \cos\left(\frac{\pi i x}{l}\right) \cos\left(\frac{\pi j y}{h}\right) \cos\left(\frac{\pi r x}{l}\right) \cos\left(\frac{\pi s y}{h}\right) dx dy \\
& + \sum_{m=1}^{K_1} \sum_{n=0}^{K_2} \left(\frac{\pi m}{l}\right)^2 \left(\frac{\pi i}{l}\right)^2 a_{m,n} \int_{-h}^h \int_{-l}^l \cos\left(\frac{\pi m x}{l}\right) \cos\left(\frac{\pi n y}{h}\right) \cos\left(\frac{\pi i x}{l}\right) \cos\left(\frac{\pi j y}{h}\right) dx dy \\
& + \sum_{r=1}^{K_1} \sum_{s=0}^{K_2} \left(\frac{\pi i}{l}\right)^2 \left(\frac{\pi r}{l}\right)^2 b_{r,s} \int_{-h}^h \int_{-l}^l \cos\left(\frac{\pi i x}{l}\right) \cos\left(\frac{\pi j y}{h}\right) \sin\left(\frac{\pi r x}{l}\right) \cos\left(\frac{\pi s y}{h}\right) dx dy \\
& + \sum_{r=1}^{K_1} \sum_{s=0}^{K_2} \left(\frac{\pi i}{l}\right)^2 \left(\frac{\pi r}{l}\right)^2 c_{r,s} \int_{-h}^h \int_{-l}^l \cos\left(\frac{\pi i x}{l}\right) \cos\left(\frac{\pi j y}{h}\right) \cos\left(\frac{\pi r x}{l}\right) \sin\left(\frac{\pi s y}{h}\right) dx dy \\
& + \sum_{r=1}^{K_1} \sum_{s=0}^{K_2} \left(\frac{\pi i}{l}\right)^2 \left(\frac{\pi r}{l}\right)^2 d_{r,s} \int_{-h}^h \int_{-l}^l \cos\left(\frac{\pi i x}{l}\right) \cos\left(\frac{\pi j y}{h}\right) \sin\left(\frac{\pi r x}{l}\right) \sin\left(\frac{\pi s y}{h}\right) dx dy \\
& + \sum_{m=1}^{K_1} \sum_{n=0}^{K_2} \left(\frac{\pi m}{l}\right)^2 \left(\frac{\pi i}{l}\right)^2 b_{m,n} \int_{-h}^h \int_{-l}^l \sin\left(\frac{\pi m x}{l}\right) \cos\left(\frac{\pi n y}{h}\right) \cos\left(\frac{\pi i x}{l}\right) \cos\left(\frac{\pi j y}{h}\right) dx dy \\
& + \sum_{m=1}^{K_1} \sum_{n=0}^{K_2} \left(\frac{\pi m}{l}\right)^2 \left(\frac{\pi i}{l}\right)^2 c_{m,n} \int_{-h}^h \int_{-l}^l \cos\left(\frac{\pi m x}{l}\right) \sin\left(\frac{\pi n y}{h}\right) \cos\left(\frac{\pi i x}{l}\right) \cos\left(\frac{\pi j y}{h}\right) dx dy \\
& + \sum_{m=1}^{K_1} \sum_{n=0}^{K_2} \left(\frac{\pi m}{l}\right)^2 \left(\frac{\pi i}{l}\right)^2 d_{m,n} \int_{-h}^h \int_{-l}^l \sin\left(\frac{\pi m x}{l}\right) \sin\left(\frac{\pi n y}{h}\right) \cos\left(\frac{\pi i x}{l}\right) \cos\left(\frac{\pi j y}{h}\right) dx dy
\end{aligned}$$

Combinando los términos

$$\begin{aligned}
& \frac{\partial}{\partial a_{i,j}} \int_{-h}^h \int_{-l}^l f_{xx}(x,y)^2 dx dy = \\
& 2 \sum_{m=1}^{K_1} \sum_{n=0}^{K_2} \left(\frac{\pi m}{l}\right)^2 \left(\frac{\pi i}{l}\right)^2 a_{m,n} \int_{-h}^h \int_{-l}^l \cos\left(\frac{\pi m x}{l}\right) \cos\left(\frac{\pi n y}{h}\right) \cos\left(\frac{\pi i x}{l}\right) \cos\left(\frac{\pi j y}{h}\right) dx dy \\
& + 2 \sum_{m=1}^{K_1} \sum_{n=0}^{K_2} \left(\frac{\pi m}{l}\right)^2 \left(\frac{\pi i}{l}\right)^2 b_{m,n} \int_{-h}^h \int_{-l}^l \sin\left(\frac{\pi m x}{l}\right) \cos\left(\frac{\pi n y}{h}\right) \cos\left(\frac{\pi i x}{l}\right) \cos\left(\frac{\pi j y}{h}\right) dx dy \\
& + 2 \sum_{m=1}^{K_1} \sum_{n=0}^{K_2} \left(\frac{\pi m}{l}\right)^2 \left(\frac{\pi i}{l}\right)^2 c_{m,n} \int_{-h}^h \int_{-l}^l \cos\left(\frac{\pi m x}{l}\right) \sin\left(\frac{\pi n y}{h}\right) \cos\left(\frac{\pi i x}{l}\right) \cos\left(\frac{\pi j y}{h}\right) dx dy \\
& + 2 \sum_{m=1}^{K_1} \sum_{n=0}^{K_2} \left(\frac{\pi m}{l}\right)^2 \left(\frac{\pi i}{l}\right)^2 d_{m,n} \int_{-h}^h \int_{-l}^l \sin\left(\frac{\pi m x}{l}\right) \sin\left(\frac{\pi n y}{h}\right) \cos\left(\frac{\pi i x}{l}\right) \cos\left(\frac{\pi j y}{h}\right) dx dy
\end{aligned}$$

Muchas de las integrales en la ecuación anterior son cero porque su integrando es una función impar en  $x$  o en  $y$  y el intervalo de integración correspondiente es simétrico. entonces la ecuación anterior se reduce a

$$\frac{\partial}{\partial a_{i,j}} \int_{-h}^h \int_{-l}^l f_{xx}(x,y)^2 dx dy = 2 \sum_{m=1}^{K_1} \sum_{n=0}^{K_2} \left(\frac{\pi m}{l}\right)^2 \left(\frac{\pi n}{h}\right)^2 a_{m,n} \int_{-h}^h \int_{-l}^l \cos\left(\frac{\pi m x}{l}\right) \cos\left(\frac{\pi n y}{h}\right) \cos\left(\frac{\pi i x}{l}\right) \cos\left(\frac{\pi j y}{h}\right) dx dy \quad (\text{A.2})$$

Análogamente

$$\frac{\partial}{\partial b_{i,j}} \int_{-h}^h \int_{-l}^l f_{xx}(x,y)^2 dx dy = 2 \sum_{m=1}^{K_1} \sum_{n=0}^{K_2} \left(\frac{\pi m}{l}\right)^2 \left(\frac{\pi n}{h}\right)^2 b_{m,n} \int_{-h}^h \int_{-l}^l \sin\left(\frac{\pi m x}{l}\right) \cos\left(\frac{\pi n y}{h}\right) \sin\left(\frac{\pi i x}{l}\right) \cos\left(\frac{\pi j y}{h}\right) dx dy, \quad (\text{A.3})$$

$$\frac{\partial}{\partial c_{i,j}} \int_{-h}^h \int_{-l}^l f_{xx}(x,y)^2 dx dy = 2 \sum_{m=1}^{K_1} \sum_{n=0}^{K_2} \left(\frac{\pi m}{l}\right)^2 \left(\frac{\pi n}{h}\right)^2 c_{m,n} \int_{-h}^h \int_{-l}^l \cos\left(\frac{\pi m x}{l}\right) \sin\left(\frac{\pi n y}{h}\right) \cos\left(\frac{\pi i x}{l}\right) \sin\left(\frac{\pi j y}{h}\right) dx dy, \quad (\text{A.4})$$

y

$$\frac{\partial}{\partial d_{i,j}} \int_{-h}^h \int_{-l}^l f_{xx}(x,y)^2 dx dy = 2 \sum_{m=1}^{K_1} \sum_{n=0}^{K_2} \left(\frac{\pi m}{l}\right)^2 \left(\frac{\pi n}{h}\right)^2 d_{m,n} \int_{-h}^h \int_{-l}^l \sin\left(\frac{\pi m x}{l}\right) \sin\left(\frac{\pi n y}{h}\right) \sin\left(\frac{\pi i x}{l}\right) \sin\left(\frac{\pi j y}{h}\right) dx dy \quad (\text{A.5})$$

Recordemos que

$$f_{xy} = \sum_{m=1}^{K_1} \sum_{n=1}^{K_2} \left(\frac{\pi m}{l}\right) \left(\frac{\pi n}{h}\right) \left[ a_{m,n} \sin\left(\frac{\pi m x}{l}\right) \sin\left(\frac{\pi n y}{h}\right) - b_{m,n} \cos\left(\frac{\pi m x}{l}\right) \sin\left(\frac{\pi n y}{h}\right) - c_{m,n} \sin\left(\frac{\pi m x}{l}\right) \cos\left(\frac{\pi n y}{h}\right) + d_{m,n} \cos\left(\frac{\pi m x}{l}\right) \cos\left(\frac{\pi n y}{h}\right) \right]$$

Entonces  $f_{xy}(x,y)^2$  está dada por

$$\begin{aligned}
f_{xy}(x, y)^2 = & \sum_{m,r=1}^{K_1} \sum_{n,s=1}^{K_2} \left( \frac{\pi m}{l} \right) \left( \frac{\pi n}{l} \right) \left( \frac{\pi r}{l} \right) \left( \frac{\pi s}{l} \right) [ \\
& a_{m,n} a_{r,s} \sin \left( \frac{\pi m x}{l} \right) \sin \left( \frac{\pi n y}{h} \right) \sin \left( \frac{\pi r x}{l} \right) \sin \left( \frac{\pi s y}{h} \right) \\
& - a_{m,n} b_{r,s} \sin \left( \frac{\pi m x}{l} \right) \sin \left( \frac{\pi n y}{h} \right) \cos \left( \frac{\pi r x}{l} \right) \sin \left( \frac{\pi s y}{h} \right) \\
& - a_{m,n} c_{r,s} \sin \left( \frac{\pi m x}{l} \right) \sin \left( \frac{\pi n y}{h} \right) \sin \left( \frac{\pi r x}{l} \right) \cos \left( \frac{\pi s y}{h} \right) \\
& + a_{m,n} d_{r,s} \sin \left( \frac{\pi m x}{l} \right) \sin \left( \frac{\pi n y}{h} \right) \cos \left( \frac{\pi r x}{l} \right) \cos \left( \frac{\pi s y}{h} \right) \\
& - b_{m,n} a_{r,s} \cos \left( \frac{\pi m x}{l} \right) \sin \left( \frac{\pi n y}{h} \right) \sin \left( \frac{\pi r x}{l} \right) \sin \left( \frac{\pi s y}{h} \right) \\
& + b_{m,n} b_{r,s} \cos \left( \frac{\pi m x}{l} \right) \sin \left( \frac{\pi n y}{h} \right) \cos \left( \frac{\pi r x}{l} \right) \sin \left( \frac{\pi s y}{h} \right) \\
& + b_{m,n} c_{r,s} \cos \left( \frac{\pi m x}{l} \right) \sin \left( \frac{\pi n y}{h} \right) \sin \left( \frac{\pi r x}{l} \right) \cos \left( \frac{\pi s y}{h} \right) \\
& - b_{m,n} d_{r,s} \cos \left( \frac{\pi m x}{l} \right) \sin \left( \frac{\pi n y}{h} \right) \cos \left( \frac{\pi r x}{l} \right) \cos \left( \frac{\pi s y}{h} \right) \\
& - c_{m,n} a_{r,s} \sin \left( \frac{\pi m x}{l} \right) \cos \left( \frac{\pi n y}{h} \right) \sin \left( \frac{\pi r x}{l} \right) \sin \left( \frac{\pi s y}{h} \right) \\
& + c_{m,n} b_{r,s} \sin \left( \frac{\pi m x}{l} \right) \cos \left( \frac{\pi n y}{h} \right) \cos \left( \frac{\pi r x}{l} \right) \sin \left( \frac{\pi s y}{h} \right) \\
& + c_{m,n} c_{r,s} \sin \left( \frac{\pi m x}{l} \right) \cos \left( \frac{\pi n y}{h} \right) \sin \left( \frac{\pi r x}{l} \right) \cos \left( \frac{\pi s y}{h} \right) \\
& - c_{m,n} d_{r,s} \sin \left( \frac{\pi m x}{l} \right) \cos \left( \frac{\pi n y}{h} \right) \cos \left( \frac{\pi r x}{l} \right) \cos \left( \frac{\pi s y}{h} \right) \\
& + d_{m,n} a_{r,s} \cos \left( \frac{\pi m x}{l} \right) \cos \left( \frac{\pi n y}{h} \right) \sin \left( \frac{\pi r x}{l} \right) \sin \left( \frac{\pi s y}{h} \right) \\
& - d_{m,n} b_{r,s} \cos \left( \frac{\pi m x}{l} \right) \cos \left( \frac{\pi n y}{h} \right) \cos \left( \frac{\pi r x}{l} \right) \sin \left( \frac{\pi s y}{h} \right) \\
& - d_{m,n} c_{r,s} \cos \left( \frac{\pi m x}{l} \right) \cos \left( \frac{\pi n y}{h} \right) \sin \left( \frac{\pi r x}{l} \right) \cos \left( \frac{\pi s y}{h} \right) \\
& + d_{m,n} d_{r,s} \cos \left( \frac{\pi m x}{l} \right) \cos \left( \frac{\pi n y}{h} \right) \cos \left( \frac{\pi r x}{l} \right) \cos \left( \frac{\pi s y}{h} \right) \\
& ]
\end{aligned}$$

Integrando en el rectángulo  $[-l, l] \times [-h, h]$  y después derivando respecto a  $a_{i,j}$  obtenemos

$$\begin{aligned}
& \frac{\partial}{\partial a_{i,j}} \int_{-h}^h \int_{-l}^l f_{xy}(x,y)^2 dx dy = \\
& \sum_{r=1}^{K_1} \sum_{s=1}^{K_2} \left(\frac{\pi i}{l}\right) \left(\frac{\pi j}{l}\right) \left(\frac{\pi r}{l}\right) \left(\frac{\pi s}{l}\right) a_{r,s} \int_{-h}^h \int_{-l}^l \sin\left(\frac{\pi i x}{l}\right) \sin\left(\frac{\pi j y}{h}\right) \sin\left(\frac{\pi r x}{l}\right) \sin\left(\frac{\pi s y}{h}\right) dx dy \\
& + \sum_{m=1}^{K_1} \sum_{n=1}^{K_2} \left(\frac{\pi m}{l}\right) \left(\frac{\pi n}{l}\right) \left(\frac{\pi i}{l}\right) \left(\frac{\pi j}{l}\right) a_{m,n} \int_{-h}^h \int_{-l}^l \sin\left(\frac{\pi m x}{l}\right) \sin\left(\frac{\pi n y}{h}\right) \sin\left(\frac{\pi i x}{l}\right) \sin\left(\frac{\pi j y}{h}\right) dx dy \\
& - \sum_{r=1}^{K_1} \sum_{s=1}^{K_2} \left(\frac{\pi i}{l}\right) \left(\frac{\pi j}{l}\right) \left(\frac{\pi r}{l}\right) \left(\frac{\pi s}{l}\right) b_{r,s} \int_{-h}^h \int_{-l}^l \sin\left(\frac{\pi i x}{l}\right) \sin\left(\frac{\pi j y}{h}\right) \cos\left(\frac{\pi r x}{l}\right) \sin\left(\frac{\pi s y}{h}\right) dx dy \\
& - \sum_{r=1}^{K_1} \sum_{s=1}^{K_2} \left(\frac{\pi i}{l}\right) \left(\frac{\pi j}{l}\right) \left(\frac{\pi r}{l}\right) \left(\frac{\pi s}{l}\right) c_{r,s} \int_{-h}^h \int_{-l}^l \sin\left(\frac{\pi i x}{l}\right) \sin\left(\frac{\pi j y}{h}\right) \sin\left(\frac{\pi r x}{l}\right) \cos\left(\frac{\pi s y}{h}\right) dx dy \\
& + \sum_{r=1}^{K_1} \sum_{s=1}^{K_2} \left(\frac{\pi i}{l}\right) \left(\frac{\pi j}{l}\right) \left(\frac{\pi r}{l}\right) \left(\frac{\pi s}{l}\right) d_{r,s} \int_{-h}^h \int_{-l}^l \sin\left(\frac{\pi i x}{l}\right) \sin\left(\frac{\pi j y}{h}\right) \cos\left(\frac{\pi r x}{l}\right) \cos\left(\frac{\pi s y}{h}\right) dx dy \\
& - \sum_{m=1}^{K_1} \sum_{n=1}^{K_2} \left(\frac{\pi m}{l}\right) \left(\frac{\pi n}{l}\right) \left(\frac{\pi i}{l}\right) \left(\frac{\pi j}{l}\right) b_{m,n} \int_{-h}^h \int_{-l}^l \cos\left(\frac{\pi m x}{l}\right) \sin\left(\frac{\pi n y}{h}\right) \sin\left(\frac{\pi i x}{l}\right) \sin\left(\frac{\pi j y}{h}\right) dx dy \\
& - \sum_{m=1}^{K_1} \sum_{n=1}^{K_2} \left(\frac{\pi m}{l}\right) \left(\frac{\pi n}{l}\right) \left(\frac{\pi i}{l}\right) \left(\frac{\pi j}{l}\right) c_{m,n} \int_{-h}^h \int_{-l}^l \sin\left(\frac{\pi m x}{l}\right) \cos\left(\frac{\pi n y}{h}\right) \sin\left(\frac{\pi i x}{l}\right) \sin\left(\frac{\pi j y}{h}\right) dx dy \\
& + \sum_{m=1}^{K_1} \sum_{n=1}^{K_2} \left(\frac{\pi m}{l}\right) \left(\frac{\pi n}{l}\right) \left(\frac{\pi i}{l}\right) \left(\frac{\pi j}{l}\right) d_{m,n} \int_{-h}^h \int_{-l}^l \cos\left(\frac{\pi m x}{l}\right) \cos\left(\frac{\pi n y}{h}\right) \sin\left(\frac{\pi i x}{l}\right) \sin\left(\frac{\pi j y}{h}\right) dx dy
\end{aligned}$$

combinando los términos

$$\begin{aligned}
& \frac{\partial}{\partial a_{i,j}} \int_{-h}^h \int_{-l}^l f_{xy}(x,y)^2 dx dy = \\
& 2 \sum_{m=1}^{K_1} \sum_{n=1}^{K_2} \left(\frac{\pi m}{l}\right) \left(\frac{\pi n}{l}\right) \left(\frac{\pi i}{l}\right) \left(\frac{\pi j}{l}\right) a_{m,n} \int_{-h}^h \int_{-l}^l \sin\left(\frac{\pi m x}{l}\right) \sin\left(\frac{\pi n y}{h}\right) \sin\left(\frac{\pi i x}{l}\right) \sin\left(\frac{\pi j y}{h}\right) dx dy \\
& - 2 \sum_{m=1}^{K_1} \sum_{n=1}^{K_2} \left(\frac{\pi m}{l}\right) \left(\frac{\pi n}{l}\right) \left(\frac{\pi i}{l}\right) \left(\frac{\pi j}{l}\right) b_{m,n} \int_{-h}^h \int_{-l}^l \cos\left(\frac{\pi m x}{l}\right) \sin\left(\frac{\pi n y}{h}\right) \sin\left(\frac{\pi i x}{l}\right) \sin\left(\frac{\pi j y}{h}\right) dx dy \\
& - 2 \sum_{m=1}^{K_1} \sum_{n=1}^{K_2} \left(\frac{\pi m}{l}\right) \left(\frac{\pi n}{l}\right) \left(\frac{\pi i}{l}\right) \left(\frac{\pi j}{l}\right) c_{m,n} \int_{-h}^h \int_{-l}^l \sin\left(\frac{\pi m x}{l}\right) \cos\left(\frac{\pi n y}{h}\right) \sin\left(\frac{\pi i x}{l}\right) \sin\left(\frac{\pi j y}{h}\right) dx dy \\
& + 2 \sum_{m=1}^{K_1} \sum_{n=1}^{K_2} \left(\frac{\pi m}{l}\right) \left(\frac{\pi n}{l}\right) \left(\frac{\pi i}{l}\right) \left(\frac{\pi j}{l}\right) d_{m,n} \int_{-h}^h \int_{-l}^l \cos\left(\frac{\pi m x}{l}\right) \cos\left(\frac{\pi n y}{h}\right) \sin\left(\frac{\pi i x}{l}\right) \sin\left(\frac{\pi j y}{h}\right) dx dy
\end{aligned}$$

Muchos de los términos en la ecuación anterior son iguales a cero pues su integrando es una función impar respecto a  $x$  o respecto a  $y$  y el dominio de integración es simétrico. Eliminando dichos términos obtenemos

$$\frac{\partial}{\partial a_{i,j}} \int_{-h}^h \int_{-l}^l f_{xy}(x,y)^2 dx dy = 2 \sum_{m=1}^{K_1} \sum_{n=1}^{K_2} \left(\frac{\pi m}{l}\right) \left(\frac{\pi n}{l}\right) \left(\frac{\pi i}{l}\right) \left(\frac{\pi j}{l}\right) a_{m,n} \int_{-h}^h \int_{-l}^l \sin\left(\frac{\pi m x}{l}\right) \sin\left(\frac{\pi n y}{h}\right) \sin\left(\frac{\pi i x}{l}\right) \sin\left(\frac{\pi j y}{h}\right) dx dy \quad (\text{A.6})$$

Análogamente

$$\frac{\partial}{\partial b_{i,j}} \int_{-h}^h \int_{-l}^l f_{xy}(x,y)^2 dx dy = 2 \sum_{m=1}^{K_1} \sum_{n=1}^{K_2} \left(\frac{\pi m}{l}\right) \left(\frac{\pi n}{l}\right) \left(\frac{\pi i}{l}\right) \left(\frac{\pi j}{l}\right) b_{m,n} \int_{-h}^h \int_{-l}^l \cos\left(\frac{\pi m x}{l}\right) \sin\left(\frac{\pi n y}{h}\right) \cos\left(\frac{\pi i x}{l}\right) \sin\left(\frac{\pi j y}{h}\right) dx dy, \quad (\text{A.7})$$

$$\frac{\partial}{\partial c_{i,j}} \int_{-h}^h \int_{-l}^l f_{xy}(x,y)^2 dx dy = 2 \sum_{m=1}^{K_1} \sum_{n=1}^{K_2} \left(\frac{\pi m}{l}\right) \left(\frac{\pi n}{l}\right) \left(\frac{\pi i}{l}\right) \left(\frac{\pi j}{l}\right) c_{m,n} \int_{-h}^h \int_{-l}^l \sin\left(\frac{\pi m x}{l}\right) \cos\left(\frac{\pi n y}{h}\right) \sin\left(\frac{\pi i x}{l}\right) \cos\left(\frac{\pi j y}{h}\right) dx dy, \quad (\text{A.8})$$

y

$$\frac{\partial}{\partial d_{i,j}} \int_{-h}^h \int_{-l}^l f_{xy}(x,y)^2 dx dy = 2 \sum_{m=1}^{K_1} \sum_{n=1}^{K_2} \left(\frac{\pi m}{l}\right) \left(\frac{\pi n}{l}\right) \left(\frac{\pi i}{l}\right) \left(\frac{\pi j}{l}\right) d_{m,n} \int_{-h}^h \int_{-l}^l \cos\left(\frac{\pi m x}{l}\right) \cos\left(\frac{\pi n y}{h}\right) \cos\left(\frac{\pi i x}{l}\right) \cos\left(\frac{\pi j y}{h}\right) dx dy \quad (\text{A.9})$$

Ahora calculemos los términos correspondientes a  $f_{yy}$ . Recordemos

$$f_{yy} = \sum_{m=0}^{K_1} \sum_{n=1}^{K_2} -\left(\frac{\pi n}{h}\right)^2 \left[ a_{m,n} \cos\left(\frac{\pi m x}{l}\right) \cos\left(\frac{\pi n y}{h}\right) + b_{m,n} \sin\left(\frac{\pi m x}{l}\right) \cos\left(\frac{\pi n y}{h}\right) + c_{m,n} \cos\left(\frac{\pi m x}{l}\right) \sin\left(\frac{\pi n y}{h}\right) + d_{m,n} \sin\left(\frac{\pi m x}{l}\right) \sin\left(\frac{\pi n y}{h}\right) \right]$$

$f_{yy}(x,y)^2$  está dado por

$$\begin{aligned}
f_{yy}(x, y)^2 = & \sum_{m,r=0}^{K_1} \sum_{n,s=1}^{K_2} \left(\frac{\pi n}{h}\right)^2 \left(\frac{\pi s}{h}\right)^2 [ \\
& a_{m,n} a_{r,s} \cos\left(\frac{\pi m x}{l}\right) \cos\left(\frac{\pi n y}{h}\right) \cos\left(\frac{\pi r x}{l}\right) \cos\left(\frac{\pi s y}{h}\right) \\
& + a_{m,n} b_{r,s} \cos\left(\frac{\pi m x}{l}\right) \cos\left(\frac{\pi n y}{h}\right) \sin\left(\frac{\pi r x}{l}\right) \cos\left(\frac{\pi s y}{h}\right) \\
& + a_{m,n} c_{r,s} \cos\left(\frac{\pi m x}{l}\right) \cos\left(\frac{\pi n y}{h}\right) \cos\left(\frac{\pi r x}{l}\right) \sin\left(\frac{\pi s y}{h}\right) \\
& + a_{m,n} d_{r,s} \cos\left(\frac{\pi m x}{l}\right) \cos\left(\frac{\pi n y}{h}\right) \sin\left(\frac{\pi r x}{l}\right) \sin\left(\frac{\pi s y}{h}\right) \\
& + b_{m,n} a_{r,s} \sin\left(\frac{\pi m x}{l}\right) \cos\left(\frac{\pi n y}{h}\right) \cos\left(\frac{\pi r x}{l}\right) \cos\left(\frac{\pi s y}{h}\right) \\
& + b_{m,n} b_{r,s} \sin\left(\frac{\pi m x}{l}\right) \cos\left(\frac{\pi n y}{h}\right) \sin\left(\frac{\pi r x}{l}\right) \cos\left(\frac{\pi s y}{h}\right) \\
& + b_{m,n} c_{r,s} \sin\left(\frac{\pi m x}{l}\right) \cos\left(\frac{\pi n y}{h}\right) \cos\left(\frac{\pi r x}{l}\right) \sin\left(\frac{\pi s y}{h}\right) \\
& + b_{m,n} d_{r,s} \sin\left(\frac{\pi m x}{l}\right) \cos\left(\frac{\pi n y}{h}\right) \sin\left(\frac{\pi r x}{l}\right) \sin\left(\frac{\pi s y}{h}\right) \\
& + c_{m,n} a_{r,s} \cos\left(\frac{\pi m x}{l}\right) \sin\left(\frac{\pi n y}{h}\right) \cos\left(\frac{\pi r x}{l}\right) \cos\left(\frac{\pi s y}{h}\right) \\
& + c_{m,n} b_{r,s} \cos\left(\frac{\pi m x}{l}\right) \sin\left(\frac{\pi n y}{h}\right) \sin\left(\frac{\pi r x}{l}\right) \cos\left(\frac{\pi s y}{h}\right) \\
& + c_{m,n} c_{r,s} \cos\left(\frac{\pi m x}{l}\right) \sin\left(\frac{\pi n y}{h}\right) \cos\left(\frac{\pi r x}{l}\right) \sin\left(\frac{\pi s y}{h}\right) \\
& + c_{m,n} d_{r,s} \cos\left(\frac{\pi m x}{l}\right) \sin\left(\frac{\pi n y}{h}\right) \sin\left(\frac{\pi r x}{l}\right) \sin\left(\frac{\pi s y}{h}\right) \\
& + d_{m,n} a_{r,s} \sin\left(\frac{\pi m x}{l}\right) \sin\left(\frac{\pi n y}{h}\right) \cos\left(\frac{\pi r x}{l}\right) \cos\left(\frac{\pi s y}{h}\right) \\
& + d_{m,n} b_{r,s} \sin\left(\frac{\pi m x}{l}\right) \sin\left(\frac{\pi n y}{h}\right) \sin\left(\frac{\pi r x}{l}\right) \cos\left(\frac{\pi s y}{h}\right) \\
& + d_{m,n} c_{r,s} \sin\left(\frac{\pi m x}{l}\right) \sin\left(\frac{\pi n y}{h}\right) \cos\left(\frac{\pi r x}{l}\right) \sin\left(\frac{\pi s y}{h}\right) \\
& + d_{m,n} d_{r,s} \sin\left(\frac{\pi m x}{l}\right) \sin\left(\frac{\pi n y}{h}\right) \sin\left(\frac{\pi r x}{l}\right) \sin\left(\frac{\pi s y}{h}\right) \\
& ]
\end{aligned}$$

Integrando sobre  $[-l, l] \times [-h, h]$  y luego derivando respecto a  $a_{i,j}$  obtenemos

$$\begin{aligned}
& \frac{\partial}{\partial a_{i,j}} \int_{-h}^h \int_{-l}^l f_{yy}(x,y)^2 dx dy = \\
& \sum_{r=0}^{K_1} \sum_{s=1}^{K_2} \left(\frac{\pi j}{h}\right)^2 \left(\frac{\pi s}{h}\right)^2 a_{r,s} \int_{-h}^h \int_{-l}^l \cos\left(\frac{\pi i x}{l}\right) \cos\left(\frac{\pi j y}{h}\right) \cos\left(\frac{\pi r x}{l}\right) \cos\left(\frac{\pi s y}{h}\right) dx dy \\
& + \sum_{m=0}^{K_1} \sum_{n=1}^{K_2} \left(\frac{\pi n}{h}\right)^2 \left(\frac{\pi j}{h}\right)^2 a_{m,n} \int_{-h}^h \int_{-l}^l \cos\left(\frac{\pi m x}{l}\right) \cos\left(\frac{\pi n y}{h}\right) \cos\left(\frac{\pi i x}{l}\right) \cos\left(\frac{\pi j y}{h}\right) dx dy \\
& + \sum_{r=0}^{K_1} \sum_{s=1}^{K_2} \left(\frac{\pi j}{h}\right)^2 \left(\frac{\pi s}{h}\right)^2 b_{r,s} \int_{-h}^h \int_{-l}^l \cos\left(\frac{\pi i x}{l}\right) \cos\left(\frac{\pi j y}{h}\right) \sin\left(\frac{\pi r x}{l}\right) \cos\left(\frac{\pi s y}{h}\right) dx dy \\
& + \sum_{r=0}^{K_1} \sum_{s=1}^{K_2} \left(\frac{\pi j}{h}\right)^2 \left(\frac{\pi s}{h}\right)^2 c_{r,s} \int_{-h}^h \int_{-l}^l \cos\left(\frac{\pi i x}{l}\right) \cos\left(\frac{\pi j y}{h}\right) \cos\left(\frac{\pi r x}{l}\right) \sin\left(\frac{\pi s y}{h}\right) dx dy \\
& + \sum_{r=0}^{K_1} \sum_{s=1}^{K_2} \left(\frac{\pi j}{h}\right)^2 \left(\frac{\pi s}{h}\right)^2 d_{r,s} \int_{-h}^h \int_{-l}^l \cos\left(\frac{\pi i x}{l}\right) \cos\left(\frac{\pi j y}{h}\right) \sin\left(\frac{\pi r x}{l}\right) \sin\left(\frac{\pi s y}{h}\right) dx dy \\
& + \sum_{m=0}^{K_1} \sum_{n=1}^{K_2} \left(\frac{\pi n}{h}\right)^2 \left(\frac{\pi j}{h}\right)^2 b_{m,n} \int_{-h}^h \int_{-l}^l \sin\left(\frac{\pi m x}{l}\right) \cos\left(\frac{\pi n y}{h}\right) \cos\left(\frac{\pi i x}{l}\right) \cos\left(\frac{\pi j y}{h}\right) dx dy \\
& + \sum_{m=0}^{K_1} \sum_{n=1}^{K_2} \left(\frac{\pi n}{h}\right)^2 \left(\frac{\pi j}{h}\right)^2 c_{m,n} \int_{-h}^h \int_{-l}^l \cos\left(\frac{\pi m x}{l}\right) \sin\left(\frac{\pi n y}{h}\right) \cos\left(\frac{\pi i x}{l}\right) \cos\left(\frac{\pi j y}{h}\right) dx dy \\
& + \sum_{m=0}^{K_1} \sum_{n=1}^{K_2} \left(\frac{\pi n}{h}\right)^2 \left(\frac{\pi j}{h}\right)^2 d_{m,n} \int_{-h}^h \int_{-l}^l \sin\left(\frac{\pi m x}{l}\right) \sin\left(\frac{\pi n y}{h}\right) \cos\left(\frac{\pi i x}{l}\right) \cos\left(\frac{\pi j y}{h}\right) dx dy
\end{aligned}$$

Combinando los términos de la última ecuación

$$\begin{aligned}
& \frac{\partial}{\partial a_{i,j}} \int_{-h}^h \int_{-l}^l f_{yy}(x,y)^2 dx dy = \\
& 2 \sum_{m=0}^{K_1} \sum_{n=1}^{K_2} \left(\frac{\pi n}{h}\right)^2 \left(\frac{\pi j}{h}\right)^2 a_{m,n} \int_{-h}^h \int_{-l}^l \cos\left(\frac{\pi m x}{l}\right) \cos\left(\frac{\pi n y}{h}\right) \cos\left(\frac{\pi i x}{l}\right) \cos\left(\frac{\pi j y}{h}\right) dx dy \\
& + 2 \sum_{m=0}^{K_1} \sum_{n=1}^{K_2} \left(\frac{\pi n}{h}\right)^2 \left(\frac{\pi j}{h}\right)^2 b_{m,n} \int_{-h}^h \int_{-l}^l \sin\left(\frac{\pi m x}{l}\right) \cos\left(\frac{\pi n y}{h}\right) \cos\left(\frac{\pi i x}{l}\right) \cos\left(\frac{\pi j y}{h}\right) dx dy \\
& + 2 \sum_{m=0}^{K_1} \sum_{n=1}^{K_2} \left(\frac{\pi n}{h}\right)^2 \left(\frac{\pi j}{h}\right)^2 c_{m,n} \int_{-h}^h \int_{-l}^l \cos\left(\frac{\pi m x}{l}\right) \sin\left(\frac{\pi n y}{h}\right) \cos\left(\frac{\pi i x}{l}\right) \cos\left(\frac{\pi j y}{h}\right) dx dy \\
& + 2 \sum_{m=0}^{K_1} \sum_{n=1}^{K_2} \left(\frac{\pi n}{h}\right)^2 \left(\frac{\pi j}{h}\right)^2 d_{m,n} \int_{-h}^h \int_{-l}^l \sin\left(\frac{\pi m x}{l}\right) \sin\left(\frac{\pi n y}{h}\right) \cos\left(\frac{\pi i x}{l}\right) \cos\left(\frac{\pi j y}{h}\right) dx dy
\end{aligned}$$

Como antes, muchos términos en la ecuación anterior son iguales a cero pues sus integrandos son funciones simétricas respecto a  $x$  o a  $y$  y el dominio de integración es simétrico. Eliminando estos términos obtenemos

$$\frac{\partial}{\partial a_{i,j}} \int_{-h}^h \int_{-l}^l f_{yy}(x,y)^2 dx dy =$$

$$2 \sum_{m=0}^{K_1} \sum_{n=1}^{K_2} \left(\frac{\pi n}{h}\right)^2 \left(\frac{\pi j}{h}\right)^2 a_{m,n} \int_{-h}^h \int_{-l}^l \cos\left(\frac{\pi m x}{l}\right) \cos\left(\frac{\pi n y}{h}\right) \cos\left(\frac{\pi i x}{l}\right) \cos\left(\frac{\pi j y}{h}\right) dx dy \quad (\text{A.10})$$

Análogamente

$$\frac{\partial}{\partial b_{i,j}} \int_{-h}^h \int_{-l}^l f_{yy}(x,y)^2 dx dy =$$

$$2 \sum_{m=0}^{K_1} \sum_{n=1}^{K_2} \left(\frac{\pi n}{h}\right)^2 \left(\frac{\pi j}{h}\right)^2 b_{m,n} \int_{-h}^h \int_{-l}^l \sin\left(\frac{\pi m x}{l}\right) \cos\left(\frac{\pi n y}{h}\right) \sin\left(\frac{\pi i x}{l}\right) \cos\left(\frac{\pi j y}{h}\right) dx dy, \quad (\text{A.11})$$

$$\frac{\partial}{\partial c_{i,j}} \int_{-h}^h \int_{-l}^l f_{yy}(x,y)^2 dx dy =$$

$$2 \sum_{m=0}^{K_1} \sum_{n=1}^{K_2} \left(\frac{\pi n}{h}\right)^2 \left(\frac{\pi j}{h}\right)^2 c_{m,n} \int_{-h}^h \int_{-l}^l \cos\left(\frac{\pi m x}{l}\right) \sin\left(\frac{\pi n y}{h}\right) \cos\left(\frac{\pi i x}{l}\right) \sin\left(\frac{\pi j y}{h}\right) dx dy \quad (\text{A.12})$$

y

$$\frac{\partial}{\partial d_{i,j}} \int_{-h}^h \int_{-l}^l f_{yy}(x,y)^2 dx dy =$$

$$2 \sum_{m=0}^{K_1} \sum_{n=1}^{K_2} \left(\frac{\pi n}{h}\right)^2 \left(\frac{\pi j}{h}\right)^2 d_{m,n} \int_{-h}^h \int_{-l}^l \sin\left(\frac{\pi m x}{l}\right) \sin\left(\frac{\pi n y}{h}\right) \sin\left(\frac{\pi i x}{l}\right) \sin\left(\frac{\pi j y}{h}\right) dx dy \quad (\text{A.13})$$

Usando las ecuaciones anteriores procedemos a calcular el gradiente de  $\mathcal{L}$ .

Combinando las ecuaciones (A.2), (A.6) y (A.10) obtenemos

$$\begin{aligned}
\frac{\partial \mathcal{L}}{\partial a_{i,j}} &= \frac{2}{N} \sum_{s=1}^N (f(X_s, Y_s) - Z_s) \cos\left(\frac{\pi i X_s}{l}\right) \cos\left(\frac{\pi j Y_s}{h}\right) \\
&+ 2\lambda \sum_{m=1}^{K_1} \sum_{n=0}^{K_2} \left(\frac{\pi}{l}\right)^4 m^2 i^2 a_{m,n} \int_{-h}^h \int_{-l}^l \cos\left(\frac{\pi m x}{l}\right) \cos\left(\frac{\pi n y}{h}\right) \cos\left(\frac{\pi i x}{l}\right) \cos\left(\frac{\pi j y}{h}\right) dx dy \\
&+ 4\lambda \sum_{m=1}^{K_1} \sum_{n=1}^{K_2} \frac{\pi^4}{l^2 h^2} m n i j a_{m,n} \int_{-h}^h \int_{-l}^l \sin\left(\frac{\pi m x}{l}\right) \sin\left(\frac{\pi n y}{h}\right) \sin\left(\frac{\pi i x}{l}\right) \sin\left(\frac{\pi j y}{h}\right) dx dy \\
&+ 2\lambda \sum_{m=0}^{K_1} \sum_{n=1}^{K_2} \left(\frac{\pi}{h}\right)^4 n^2 j^2 a_{m,n} \int_{-h}^h \int_{-l}^l \cos\left(\frac{\pi m x}{l}\right) \cos\left(\frac{\pi n y}{h}\right) \cos\left(\frac{\pi i x}{l}\right) \cos\left(\frac{\pi j y}{h}\right) dx dy = \\
&\frac{2}{N} \sum_{s=1}^N (f(X_s, Y_s) - Z_s) \cos\left(\frac{\pi i X_s}{l}\right) \cos\left(\frac{\pi j Y_s}{h}\right) + \\
2\lambda \sum_{m=0}^{K_1} \sum_{n=0}^{K_2} \left( \left(\frac{\pi}{l}\right)^4 m^2 i^2 + \left(\frac{\pi}{h}\right)^4 n^2 j^2 \right) a_{m,n} \int_{-h}^h \int_{-l}^l \cos\left(\frac{\pi m x}{l}\right) \cos\left(\frac{\pi n y}{h}\right) \cos\left(\frac{\pi i x}{l}\right) \cos\left(\frac{\pi j y}{h}\right) dx dy \\
&+ 4\lambda \sum_{m=1}^{K_1} \sum_{n=1}^{K_2} \frac{\pi^4}{l^2 h^2} m n i j a_{m,n} \int_{-h}^h \int_{-l}^l \sin\left(\frac{\pi m x}{l}\right) \sin\left(\frac{\pi n y}{h}\right) \sin\left(\frac{\pi i x}{l}\right) \sin\left(\frac{\pi j y}{h}\right) dx dy
\end{aligned}$$

Sustituyendo la expresión que define a  $f(x, y)$

$$\begin{aligned}
f(x, y) := & \sum_{m=0}^{K_1} \sum_{n=0}^{K_2} \left\{ a_{m,n} \cos\left(\frac{\pi m x}{l}\right) \cos\left(\frac{\pi n y}{h}\right) + b_{m,n} \sin\left(\frac{\pi m x}{l}\right) \cos\left(\frac{\pi n y}{h}\right) \right. \\
& \left. + c_{m,n} \cos\left(\frac{\pi m x}{l}\right) \sin\left(\frac{\pi n y}{h}\right) + d_{m,n} \sin\left(\frac{\pi m x}{l}\right) \sin\left(\frac{\pi n y}{h}\right) \right\}
\end{aligned}$$

obtenemos

$$\begin{aligned}
& \frac{\partial \mathcal{L}}{\partial a_{i,j}} = \\
& 4\lambda \sum_{m=1}^{K_1} \sum_{n=1}^{K_2} \frac{\pi^4}{l^2 h^2} m n i j a_{m,n} \int_{-h}^h \int_{-l}^l \sin\left(\frac{\pi m x}{l}\right) \sin\left(\frac{\pi n y}{h}\right) \sin\left(\frac{\pi i x}{l}\right) \sin\left(\frac{\pi j y}{h}\right) dx dy + \\
& 2\lambda \sum_{m=0}^{K_1} \sum_{n=0}^{K_2} \left( \left(\frac{\pi}{l}\right)^4 m^2 i^2 + \left(\frac{\pi}{h}\right)^4 n^2 j^2 \right) a_{m,n} \int_{-h}^h \int_{-l}^l \cos\left(\frac{\pi m x}{l}\right) \cos\left(\frac{\pi n y}{h}\right) \cos\left(\frac{\pi i x}{l}\right) \cos\left(\frac{\pi j y}{h}\right) dx dy \\
& + \frac{2}{N} \sum_{s=1}^N \sum_{m=0}^{K_1} \sum_{n=0}^{K_2} a_{m,n} \cos\left(\frac{\pi m X_s}{l}\right) \cos\left(\frac{\pi n Y_s}{h}\right) \cos\left(\frac{\pi i X_s}{l}\right) \cos\left(\frac{\pi j Y_s}{h}\right) \\
& + \frac{2}{N} \sum_{s=1}^N \sum_{m=0}^{K_1} \sum_{n=0}^{K_2} b_{m,n} \sin\left(\frac{\pi m X_s}{l}\right) \cos\left(\frac{\pi n Y_s}{h}\right) \cos\left(\frac{\pi i X_s}{l}\right) \cos\left(\frac{\pi j Y_s}{h}\right) \\
& + \frac{2}{N} \sum_{s=1}^N \sum_{m=0}^{K_1} \sum_{n=0}^{K_2} c_{m,n} \cos\left(\frac{\pi m X_s}{l}\right) \sin\left(\frac{\pi n Y_s}{h}\right) \cos\left(\frac{\pi i X_s}{l}\right) \cos\left(\frac{\pi j Y_s}{h}\right) \\
& + \frac{2}{N} \sum_{s=1}^N \sum_{m=0}^{K_1} \sum_{n=0}^{K_2} d_{m,n} \sin\left(\frac{\pi m X_s}{l}\right) \sin\left(\frac{\pi n Y_s}{h}\right) \cos\left(\frac{\pi i X_s}{l}\right) \cos\left(\frac{\pi j Y_s}{h}\right) \\
& - \frac{2}{N} \sum_{s=1}^N Z_s \cos\left(\frac{\pi i X_s}{l}\right) \cos\left(\frac{\pi j Y_s}{h}\right)
\end{aligned}$$

Factorizando algunos términos

$$\begin{aligned}
& \frac{\partial \mathcal{L}}{\partial a_{i,j}} = \\
& 4\lambda \sum_{m=1}^{K_1} \sum_{n=1}^{K_2} \frac{\pi^4}{l^2 h^2} m n i j a_{m,n} \int_{-h}^h \int_{-l}^l \sin\left(\frac{\pi m x}{l}\right) \sin\left(\frac{\pi n y}{h}\right) \sin\left(\frac{\pi i x}{l}\right) \sin\left(\frac{\pi j y}{h}\right) dx dy + \\
& 2\lambda \sum_{m=0}^{K_1} \sum_{n=0}^{K_2} \left( \left(\frac{\pi}{l}\right)^4 m^2 i^2 + \left(\frac{\pi}{h}\right)^4 n^2 j^2 \right) a_{m,n} \int_{-h}^h \int_{-l}^l \cos\left(\frac{\pi m x}{l}\right) \cos\left(\frac{\pi n y}{h}\right) \cos\left(\frac{\pi i x}{l}\right) \cos\left(\frac{\pi j y}{h}\right) dx dy \\
& + \frac{2}{N} \sum_{m=0}^{K_1} \sum_{n=0}^{K_2} a_{m,n} \sum_{s=1}^N \cos\left(\frac{\pi m X_s}{l}\right) \cos\left(\frac{\pi n Y_s}{h}\right) \cos\left(\frac{\pi i X_s}{l}\right) \cos\left(\frac{\pi j Y_s}{h}\right) \\
& + \frac{2}{N} \sum_{m=0}^{K_1} \sum_{n=0}^{K_2} b_{m,n} \sum_{s=1}^N \sin\left(\frac{\pi m X_s}{l}\right) \cos\left(\frac{\pi n Y_s}{h}\right) \cos\left(\frac{\pi i X_s}{l}\right) \cos\left(\frac{\pi j Y_s}{h}\right) \\
& + \frac{2}{N} \sum_{m=0}^{K_1} \sum_{n=0}^{K_2} c_{m,n} \sum_{s=1}^N \cos\left(\frac{\pi m X_s}{l}\right) \sin\left(\frac{\pi n Y_s}{h}\right) \cos\left(\frac{\pi i X_s}{l}\right) \cos\left(\frac{\pi j Y_s}{h}\right) \\
& + \frac{2}{N} \sum_{m=0}^{K_1} \sum_{n=0}^{K_2} d_{m,n} \sum_{s=1}^N \sin\left(\frac{\pi m X_s}{l}\right) \sin\left(\frac{\pi n Y_s}{h}\right) \cos\left(\frac{\pi i X_s}{l}\right) \cos\left(\frac{\pi j Y_s}{h}\right) \\
& - \frac{2}{N} \sum_{s=1}^N Z_s \cos\left(\frac{\pi i X_s}{l}\right) \cos\left(\frac{\pi j Y_s}{h}\right)
\end{aligned}$$

Factorizando los términos que dependen de  $a_{m,n}$

$$\begin{aligned}
\frac{\partial \mathcal{L}}{\partial a_{i,j}} &= \sum_{m=0}^{K_1} \sum_{n=0}^{K_2} a_{m,n} \left[ 4\lambda \frac{\pi^4}{l^2 h^2} m n i j \int_{-h}^h \int_{-l}^l \sin\left(\frac{\pi m x}{l}\right) \sin\left(\frac{\pi n y}{h}\right) \sin\left(\frac{\pi i x}{l}\right) \sin\left(\frac{\pi j y}{h}\right) dx dy \right. \\
&+ 2\lambda \left( \left(\frac{\pi}{l}\right)^4 m^2 i^2 + \left(\frac{\pi}{h}\right)^4 n^2 j^2 \right) \int_{-h}^h \int_{-l}^l \cos\left(\frac{\pi m x}{l}\right) \cos\left(\frac{\pi n y}{h}\right) \cos\left(\frac{\pi i x}{l}\right) \cos\left(\frac{\pi j y}{h}\right) dx dy \\
&\quad \left. + \frac{2}{N} \sum_{s=1}^N \cos\left(\frac{\pi m X_s}{l}\right) \cos\left(\frac{\pi n Y_s}{h}\right) \cos\left(\frac{\pi i X_s}{l}\right) \cos\left(\frac{\pi j Y_s}{h}\right) \right] \\
&+ \frac{2}{N} \sum_{m=0}^{K_1} \sum_{n=0}^{K_2} b_{m,n} \sum_{s=1}^N \sin\left(\frac{\pi m X_s}{l}\right) \cos\left(\frac{\pi n Y_s}{h}\right) \cos\left(\frac{\pi i X_s}{l}\right) \cos\left(\frac{\pi j Y_s}{h}\right) \quad (\text{A.14}) \\
&+ \frac{2}{N} \sum_{m=0}^{K_1} \sum_{n=0}^{K_2} c_{m,n} \sum_{s=1}^N \cos\left(\frac{\pi m X_s}{l}\right) \sin\left(\frac{\pi n Y_s}{h}\right) \cos\left(\frac{\pi i X_s}{l}\right) \cos\left(\frac{\pi j Y_s}{h}\right) \\
&+ \frac{2}{N} \sum_{m=0}^{K_1} \sum_{n=0}^{K_2} d_{m,n} \sum_{s=1}^N \sin\left(\frac{\pi m X_s}{l}\right) \sin\left(\frac{\pi n Y_s}{h}\right) \cos\left(\frac{\pi i X_s}{l}\right) \cos\left(\frac{\pi j Y_s}{h}\right) \\
&\quad - \frac{2}{N} \sum_{s=1}^N Z_s \cos\left(\frac{\pi i X_s}{l}\right) \cos\left(\frac{\pi j Y_s}{h}\right)
\end{aligned}$$

Ahora nos concentramos en la derivada de  $\mathcal{L}$  respecto a  $b_{i,j}$ . combinando las ecuaciones (A.3), (A.7) y (A.11) obtenemos

$$\begin{aligned}
\frac{\partial \mathcal{L}}{\partial b_{i,j}} &= \frac{2}{N} \sum_{s=1}^N (f(X_s, Y_s) - Z_s) \sin\left(\frac{\pi i X_s}{l}\right) \cos\left(\frac{\pi j Y_s}{h}\right) \\
&+ 2\lambda \sum_{m=1}^{K_1} \sum_{n=0}^{K_2} \left(\frac{\pi}{l}\right)^4 m^2 i^2 b_{m,n} \int_{-h}^h \int_{-l}^l \sin\left(\frac{\pi m x}{l}\right) \cos\left(\frac{\pi n y}{h}\right) \sin\left(\frac{\pi i x}{l}\right) \cos\left(\frac{\pi j y}{h}\right) dx dy \\
&+ 4\lambda \sum_{m=1}^{K_1} \sum_{n=1}^{K_2} \frac{\pi^4}{l^2 h^2} m n i j b_{m,n} \int_{-h}^h \int_{-l}^l \cos\left(\frac{\pi m x}{l}\right) \sin\left(\frac{\pi n y}{h}\right) \cos\left(\frac{\pi i x}{l}\right) \sin\left(\frac{\pi j y}{h}\right) dx dy \\
&+ 2\lambda \sum_{m=0}^{K_1} \sum_{n=1}^{K_2} \left(\frac{\pi}{h}\right)^4 n^2 j^2 b_{m,n} \int_{-h}^h \int_{-l}^l \sin\left(\frac{\pi m x}{l}\right) \cos\left(\frac{\pi n y}{h}\right) \sin\left(\frac{\pi i x}{l}\right) \cos\left(\frac{\pi j y}{h}\right) dx dy = \\
&\quad \frac{2}{N} \sum_{s=1}^N (f(X_s, Y_s) - Z_s) \sin\left(\frac{\pi i X_s}{l}\right) \cos\left(\frac{\pi j Y_s}{h}\right) \\
&+ 2\lambda \sum_{m=0}^{K_1} \sum_{n=0}^{K_2} \left( \left(\frac{\pi}{l}\right)^4 m^2 i^2 + \left(\frac{\pi}{h}\right)^4 n^2 j^2 \right) b_{m,n} \int_{-h}^h \int_{-l}^l \sin\left(\frac{\pi m x}{l}\right) \cos\left(\frac{\pi n y}{h}\right) \sin\left(\frac{\pi i x}{l}\right) \cos\left(\frac{\pi j y}{h}\right) dx dy \\
&\quad + 4\lambda \sum_{m=1}^{K_1} \sum_{n=1}^{K_2} \frac{\pi^4}{l^2 h^2} m n i j b_{m,n} \int_{-h}^h \int_{-l}^l \cos\left(\frac{\pi m x}{l}\right) \sin\left(\frac{\pi n y}{h}\right) \cos\left(\frac{\pi i x}{l}\right) \sin\left(\frac{\pi j y}{h}\right) dx dy
\end{aligned}$$

Sustituyendo

$$f(x, y) := \sum_{m=0}^{K_1} \sum_{n=0}^{K_2} \left\{ a_{m,n} \cos\left(\frac{\pi m x}{l}\right) \cos\left(\frac{\pi n y}{h}\right) + b_{m,n} \sin\left(\frac{\pi m x}{l}\right) \cos\left(\frac{\pi n y}{h}\right) \right. \\ \left. + c_{m,n} \cos\left(\frac{\pi m x}{l}\right) \sin\left(\frac{\pi n y}{h}\right) + d_{m,n} \sin\left(\frac{\pi m x}{l}\right) \sin\left(\frac{\pi n y}{h}\right) \right\}$$

en la expresión anterior obtenemos

$$\begin{aligned} & \frac{\partial \mathcal{L}}{\partial b_{i,j}} = \\ & 4\lambda \sum_{m=1}^{K_1} \sum_{n=1}^{K_2} \frac{\pi^4}{l^2 h^2} m n i j b_{m,n} \int_{-h}^h \int_{-l}^l \cos\left(\frac{\pi m x}{l}\right) \sin\left(\frac{\pi n y}{h}\right) \cos\left(\frac{\pi i x}{l}\right) \sin\left(\frac{\pi j y}{h}\right) dx dy + \\ & 2\lambda \sum_{m=0}^{K_1} \sum_{n=0}^{K_2} \left( \left(\frac{\pi}{l}\right)^4 m^2 i^2 + \left(\frac{\pi}{h}\right)^4 n^2 j^2 \right) b_{m,n} \int_{-h}^h \int_{-l}^l \sin\left(\frac{\pi m x}{l}\right) \cos\left(\frac{\pi n y}{h}\right) \sin\left(\frac{\pi i x}{l}\right) \cos\left(\frac{\pi j y}{h}\right) dx dy \\ & + \frac{2}{N} \sum_{m=0}^{K_1} \sum_{n=0}^{K_2} a_{m,n} \sum_{s=1}^N \cos\left(\frac{\pi m X_s}{l}\right) \cos\left(\frac{\pi n Y_s}{h}\right) \sin\left(\frac{\pi i X_s}{l}\right) \cos\left(\frac{\pi j Y_s}{h}\right) \\ & + \frac{2}{N} \sum_{m=0}^{K_1} \sum_{n=0}^{K_2} b_{m,n} \sum_{s=1}^N \sin\left(\frac{\pi m X_s}{l}\right) \cos\left(\frac{\pi n Y_s}{h}\right) \sin\left(\frac{\pi i X_s}{l}\right) \cos\left(\frac{\pi j Y_s}{h}\right) \\ & + \frac{2}{N} \sum_{m=0}^{K_1} \sum_{n=0}^{K_2} c_{m,n} \sum_{s=1}^N \cos\left(\frac{\pi m X_s}{l}\right) \sin\left(\frac{\pi n Y_s}{h}\right) \sin\left(\frac{\pi i X_s}{l}\right) \cos\left(\frac{\pi j Y_s}{h}\right) \\ & + \frac{2}{N} \sum_{m=0}^{K_1} \sum_{n=0}^{K_2} d_{m,n} \sum_{s=1}^N \sin\left(\frac{\pi m X_s}{l}\right) \sin\left(\frac{\pi n Y_s}{h}\right) \sin\left(\frac{\pi i X_s}{l}\right) \cos\left(\frac{\pi j Y_s}{h}\right) \\ & - \frac{2}{N} \sum_{s=1}^N Z_s \sin\left(\frac{\pi i X_s}{l}\right) \cos\left(\frac{\pi j Y_s}{h}\right) \end{aligned}$$

Factorizando los términos que dependen de  $b_{m,n}$

$$\begin{aligned}
\frac{\partial \mathcal{L}}{\partial b_{i,j}} &= \frac{2}{N} \sum_{s=1}^N \sum_{m=0}^{K_1} \sum_{n=0}^{K_2} a_{m,n} \cos\left(\frac{\pi m X_s}{l}\right) \cos\left(\frac{\pi n Y_s}{h}\right) \sin\left(\frac{\pi i X_s}{l}\right) \cos\left(\frac{\pi j Y_s}{h}\right) \\
&+ 2\lambda \left( \left(\frac{\pi}{l}\right)^4 m^2 i^2 + \left(\frac{\pi}{h}\right)^4 n^2 j^2 \right) \int_{-h}^h \int_{-l}^l \cos\left(\frac{\pi m x}{l}\right) \sin\left(\frac{\pi n y}{h}\right) \cos\left(\frac{\pi i x}{l}\right) \sin\left(\frac{\pi j y}{h}\right) dx dy \\
&+ 4\lambda \frac{\pi^4}{l^2 h^2} m n i j \int_{-h}^h \int_{-l}^l \sin\left(\frac{\pi m x}{l}\right) \cos\left(\frac{\pi n y}{h}\right) \sin\left(\frac{\pi i x}{l}\right) \cos\left(\frac{\pi j y}{h}\right) dx dy \\
&+ \frac{2}{N} \sum_{s=1}^N \sin\left(\frac{\pi m X_s}{l}\right) \cos\left(\frac{\pi n Y_s}{h}\right) \sin\left(\frac{\pi i X_s}{l}\right) \cos\left(\frac{\pi j Y_s}{h}\right) \quad (\text{A.15}) \\
&+ \frac{2}{N} \sum_{m=0}^{K_1} \sum_{n=0}^{K_2} c_{m,n} \sum_{s=1}^N \cos\left(\frac{\pi m X_s}{l}\right) \sin\left(\frac{\pi n Y_s}{h}\right) \sin\left(\frac{\pi i X_s}{l}\right) \cos\left(\frac{\pi j Y_s}{h}\right) \\
&+ \frac{2}{N} \sum_{m=0}^{K_1} \sum_{n=0}^{K_2} d_{m,n} \sum_{s=1}^N \sin\left(\frac{\pi m X_s}{l}\right) \sin\left(\frac{\pi n Y_s}{h}\right) \sin\left(\frac{\pi i X_s}{l}\right) \cos\left(\frac{\pi j Y_s}{h}\right) \\
&- \frac{2}{N} \sum_{s=1}^N Z_s \sin\left(\frac{\pi i X_s}{l}\right) \cos\left(\frac{\pi j Y_s}{h}\right)
\end{aligned}$$

Ahora procedemos a calcular la derivada de  $\mathcal{L}$  respecto a  $c_{i,j}$ . Combinando las ecuaciones (A.4), (A.8) y (A.12) obtenemos

$$\begin{aligned}
\frac{\partial \mathcal{L}}{\partial c_{i,j}} &= \frac{2}{N} \sum_{s=1}^N (f(X_s, Y_s) - Z_s) \cos\left(\frac{\pi i X_s}{l}\right) \sin\left(\frac{\pi j Y_s}{h}\right) \\
&+ 2\lambda \sum_{m=1}^{K_1} \sum_{n=0}^{K_2} \left(\frac{\pi}{l}\right)^4 m^2 i^2 c_{m,n} \int_{-h}^h \int_{-l}^l \cos\left(\frac{\pi m x}{l}\right) \sin\left(\frac{\pi n y}{h}\right) \cos\left(\frac{\pi i x}{l}\right) \sin\left(\frac{\pi j y}{h}\right) dx dy \\
&+ 4\lambda \sum_{m=1}^{K_1} \sum_{n=1}^{K_2} \frac{\pi^4}{l^2 h^2} m n i j c_{m,n} \int_{-h}^h \int_{-l}^l \sin\left(\frac{\pi m x}{l}\right) \cos\left(\frac{\pi n y}{h}\right) \sin\left(\frac{\pi i x}{l}\right) \cos\left(\frac{\pi j y}{h}\right) dx dy \\
&+ 2\lambda \sum_{m=0}^{K_1} \sum_{n=1}^{K_2} \left(\frac{\pi}{h}\right)^4 n^2 j^2 c_{m,n} \int_{-h}^h \int_{-l}^l \cos\left(\frac{\pi m x}{l}\right) \sin\left(\frac{\pi n y}{h}\right) \cos\left(\frac{\pi i x}{l}\right) \sin\left(\frac{\pi j y}{h}\right) dx dy = \\
&\frac{2}{N} \sum_{s=1}^N (f(X_s, Y_s) - Z_s) \cos\left(\frac{\pi i X_s}{l}\right) \sin\left(\frac{\pi j Y_s}{h}\right) \\
&+ 2\lambda \sum_{m=0}^{K_1} \sum_{n=0}^{K_2} \left( \left(\frac{\pi}{l}\right)^4 m^2 i^2 + \left(\frac{\pi}{h}\right)^4 n^2 j^2 \right) c_{m,n} \int_{-h}^h \int_{-l}^l \cos\left(\frac{\pi m x}{l}\right) \sin\left(\frac{\pi n y}{h}\right) \cos\left(\frac{\pi i x}{l}\right) \sin\left(\frac{\pi j y}{h}\right) dx dy \\
&+ 4\lambda \sum_{m=1}^{K_1} \sum_{n=1}^{K_2} \frac{\pi^4}{l^2 h^2} m n i j c_{m,n} \int_{-h}^h \int_{-l}^l \sin\left(\frac{\pi m x}{l}\right) \cos\left(\frac{\pi n y}{h}\right) \sin\left(\frac{\pi i x}{l}\right) \cos\left(\frac{\pi j y}{h}\right) dx dy
\end{aligned}$$

Sustituyendo la expresión de  $f(x, y)$

$$\begin{aligned}
& \frac{\partial \mathcal{L}}{\partial c_{i,j}} = \\
& 4\lambda \sum_{m=1}^{K_1} \sum_{n=1}^{K_2} \frac{\pi^4}{l^2 h^2} m n i j c_{m,n} \int_{-h}^h \int_{-l}^l \sin\left(\frac{\pi m x}{l}\right) \cos\left(\frac{\pi n y}{h}\right) \sin\left(\frac{\pi i x}{l}\right) \cos\left(\frac{\pi j y}{h}\right) dx dy \\
& 2\lambda \sum_{m=0}^{K_1} \sum_{n=0}^{K_2} \left( \left(\frac{\pi}{l}\right)^4 m^2 i^2 + \left(\frac{\pi}{h}\right)^4 n^2 j^2 \right) c_{m,n} \int_{-h}^h \int_{-l}^l \cos\left(\frac{\pi m x}{l}\right) \sin\left(\frac{\pi n y}{h}\right) \cos\left(\frac{\pi i x}{l}\right) \sin\left(\frac{\pi j y}{h}\right) dx dy \\
& + \frac{2}{N} \sum_{m=0}^{K_1} \sum_{n=0}^{K_2} a_{m,n} \sum_{s=1}^N \cos\left(\frac{\pi m X_s}{l}\right) \cos\left(\frac{\pi n Y_s}{h}\right) \cos\left(\frac{\pi i X_s}{l}\right) \sin\left(\frac{\pi j Y_s}{h}\right) \\
& + \frac{2}{N} \sum_{m=0}^{K_1} \sum_{n=0}^{K_2} b_{m,n} \sum_{s=1}^N \sin\left(\frac{\pi m X_s}{l}\right) \cos\left(\frac{\pi n Y_s}{h}\right) \cos\left(\frac{\pi i X_s}{l}\right) \sin\left(\frac{\pi j Y_s}{h}\right) \\
& + \frac{2}{N} \sum_{m=0}^{K_1} \sum_{n=0}^{K_2} c_{m,n} \sum_{s=1}^N \cos\left(\frac{\pi m X_s}{l}\right) \sin\left(\frac{\pi n Y_s}{h}\right) \cos\left(\frac{\pi i X_s}{l}\right) \sin\left(\frac{\pi j Y_s}{h}\right) \\
& + \frac{2}{N} \sum_{m=0}^{K_1} \sum_{n=0}^{K_2} d_{m,n} \sum_{s=1}^N \sin\left(\frac{\pi m X_s}{l}\right) \sin\left(\frac{\pi n Y_s}{h}\right) \cos\left(\frac{\pi i X_s}{l}\right) \sin\left(\frac{\pi j Y_s}{h}\right) \\
& - \frac{2}{N} \sum_{s=1}^N Z_s \cos\left(\frac{\pi i X_s}{l}\right) \sin\left(\frac{\pi j Y_s}{h}\right)
\end{aligned}$$

y factorizando los términos que dependen de  $c_{m,n}$

$$\begin{aligned}
\frac{\partial \mathcal{L}}{\partial c_{i,j}} &= \frac{2}{N} \sum_{m=0}^{K_1} \sum_{n=0}^{K_2} a_{m,n} \sum_{s=1}^N \cos\left(\frac{\pi m X_s}{l}\right) \cos\left(\frac{\pi n Y_s}{h}\right) \cos\left(\frac{\pi i X_s}{l}\right) \sin\left(\frac{\pi j Y_s}{h}\right) \\
& + \frac{2}{N} \sum_{m=0}^{K_1} \sum_{n=0}^{K_2} b_{m,n} \sum_{s=1}^N \sin\left(\frac{\pi m X_s}{l}\right) \cos\left(\frac{\pi n Y_s}{h}\right) \cos\left(\frac{\pi i X_s}{l}\right) \sin\left(\frac{\pi j Y_s}{h}\right) \\
& + \sum_{m=0}^{K_1} \sum_{n=0}^{K_2} c_{m,n} \left[ 4\lambda \frac{\pi^4}{l^2 h^2} m n i j \int_{-h}^h \int_{-l}^l \sin\left(\frac{\pi m x}{l}\right) \cos\left(\frac{\pi n y}{h}\right) \sin\left(\frac{\pi i x}{l}\right) \cos\left(\frac{\pi j y}{h}\right) dx dy \right. \\
& + 2\lambda \left( \left(\frac{\pi}{l}\right)^4 m^2 i^2 + \left(\frac{\pi}{h}\right)^4 n^2 j^2 \right) \int_{-h}^h \int_{-l}^l \cos\left(\frac{\pi m x}{l}\right) \sin\left(\frac{\pi n y}{h}\right) \cos\left(\frac{\pi i x}{l}\right) \sin\left(\frac{\pi j y}{h}\right) dx dy \quad (\text{A.16}) \\
& \left. + \frac{2}{N} \sum_{s=1}^N \cos\left(\frac{\pi m X_s}{l}\right) \sin\left(\frac{\pi n Y_s}{h}\right) \cos\left(\frac{\pi i X_s}{l}\right) \sin\left(\frac{\pi j Y_s}{h}\right) \right] \\
& + \frac{2}{N} \sum_{m=0}^{K_1} \sum_{n=0}^{K_2} d_{m,n} \sum_{s=1}^N \sin\left(\frac{\pi m X_s}{l}\right) \sin\left(\frac{\pi n Y_s}{h}\right) \cos\left(\frac{\pi i X_s}{l}\right) \sin\left(\frac{\pi j Y_s}{h}\right) \\
& - \frac{2}{N} \sum_{s=1}^N Z_s \cos\left(\frac{\pi i X_s}{l}\right) \sin\left(\frac{\pi j Y_s}{h}\right)
\end{aligned}$$

Ahora calculamos la derivada de  $\mathcal{L}$  respecto a  $d_{i,j}$ . Combinando las ecuaciones (A.5), (A.9) y (A.13) obtenemos

$$\begin{aligned}
\frac{\partial \mathcal{L}}{\partial d_{i,j}} &= \frac{2}{N} \sum_{s=1}^N (f(X_s, Y_s) - Z_s) \sin\left(\frac{\pi i X_s}{l}\right) \sin\left(\frac{\pi j Y_s}{h}\right) \\
&+ 2\lambda \sum_{m=1}^{K_1} \sum_{n=0}^{K_2} \left(\frac{\pi}{l}\right)^4 m^2 i^2 d_{m,n} \int_{-h}^h \int_{-l}^l \sin\left(\frac{\pi m x}{l}\right) \sin\left(\frac{\pi n y}{h}\right) \sin\left(\frac{\pi i x}{l}\right) \sin\left(\frac{\pi j y}{h}\right) dx dy \\
&+ 4\lambda \sum_{m=1}^{K_1} \sum_{n=1}^{K_2} \frac{\pi^4}{l^2 h^2} m n i j d_{m,n} \int_{-h}^h \int_{-l}^l \cos\left(\frac{\pi m x}{l}\right) \cos\left(\frac{\pi n y}{h}\right) \cos\left(\frac{\pi i x}{l}\right) \cos\left(\frac{\pi j y}{h}\right) dx dy \\
&+ 2\lambda \sum_{m=0}^{K_1} \sum_{n=1}^{K_2} \left(\frac{\pi}{h}\right)^4 n^2 j^2 d_{m,n} \int_{-h}^h \int_{-l}^l \sin\left(\frac{\pi m x}{l}\right) \sin\left(\frac{\pi n y}{h}\right) \sin\left(\frac{\pi i x}{l}\right) \sin\left(\frac{\pi j y}{h}\right) dx dy
\end{aligned}$$

Sustituyendo la expresión que define a  $f(x, y)$

$$\begin{aligned}
\frac{\partial \mathcal{L}}{\partial d_{i,j}} &= 2\lambda \sum_{m=1}^{K_1} \sum_{n=0}^{K_2} \left(\frac{\pi}{l}\right)^4 m^2 i^2 d_{m,n} \int_{-h}^h \int_{-l}^l \sin\left(\frac{\pi m x}{l}\right) \sin\left(\frac{\pi n y}{h}\right) \sin\left(\frac{\pi i x}{l}\right) \sin\left(\frac{\pi j y}{h}\right) dx dy \\
&+ 4\lambda \sum_{m=1}^{K_1} \sum_{n=1}^{K_2} \frac{\pi^4}{l^2 h^2} m n i j d_{m,n} \int_{-h}^h \int_{-l}^l \cos\left(\frac{\pi m x}{l}\right) \cos\left(\frac{\pi n y}{h}\right) \cos\left(\frac{\pi i x}{l}\right) \cos\left(\frac{\pi j y}{h}\right) dx dy \\
&+ 2\lambda \sum_{m=0}^{K_1} \sum_{n=1}^{K_2} \left(\frac{\pi}{h}\right)^4 n^2 j^2 d_{m,n} \int_{-h}^h \int_{-l}^l \sin\left(\frac{\pi m x}{l}\right) \sin\left(\frac{\pi n y}{h}\right) \sin\left(\frac{\pi i x}{l}\right) \sin\left(\frac{\pi j y}{h}\right) dx dy \\
&+ \frac{2}{N} \sum_{s=1}^N \sum_{m=0}^{K_1} \sum_{n=0}^{K_2} a_{m,n} \cos\left(\frac{\pi m X_s}{l}\right) \cos\left(\frac{\pi n Y_s}{h}\right) \sin\left(\frac{\pi i X_s}{l}\right) \sin\left(\frac{\pi j Y_s}{h}\right) \\
&+ \frac{2}{N} \sum_{s=1}^N \sum_{m=0}^{K_1} \sum_{n=0}^{K_2} b_{m,n} \sin\left(\frac{\pi m X_s}{l}\right) \cos\left(\frac{\pi n Y_s}{h}\right) \sin\left(\frac{\pi i X_s}{l}\right) \sin\left(\frac{\pi j Y_s}{h}\right) \\
&+ \frac{2}{N} \sum_{s=1}^N \sum_{m=0}^{K_1} \sum_{n=0}^{K_2} c_{m,n} \cos\left(\frac{\pi m X_s}{l}\right) \sin\left(\frac{\pi n Y_s}{h}\right) \sin\left(\frac{\pi i X_s}{l}\right) \sin\left(\frac{\pi j Y_s}{h}\right) \\
&+ \frac{2}{N} \sum_{s=1}^N \sum_{m=0}^{K_1} \sum_{n=0}^{K_2} d_{m,n} \sin\left(\frac{\pi m X_s}{l}\right) \sin\left(\frac{\pi n Y_s}{h}\right) \sin\left(\frac{\pi i X_s}{l}\right) \sin\left(\frac{\pi j Y_s}{h}\right) \\
&\quad - \frac{2}{N} \sum_{s=1}^N Z_s \sin\left(\frac{\pi i X_s}{l}\right) \sin\left(\frac{\pi j Y_s}{h}\right)
\end{aligned}$$

o

$$\begin{aligned}
& \frac{\partial \mathcal{L}}{\partial d_{i,j}} = \\
& 4\lambda \sum_{m=1}^{K_1} \sum_{n=1}^{K_2} \frac{\pi^4}{l^2 h^2} m n i j d_{m,n} \int_{-h}^h \int_{-l}^l \cos\left(\frac{\pi m x}{l}\right) \cos\left(\frac{\pi n y}{h}\right) \cos\left(\frac{\pi i x}{l}\right) \cos\left(\frac{\pi j y}{h}\right) dx dy \\
& + 2\lambda \sum_{m=0}^{K_1} \sum_{n=0}^{K_2} \left( \left(\frac{\pi}{l}\right)^4 m^2 i^2 + \left(\frac{\pi}{h}\right)^4 n^2 j^2 \right) d_{m,n} \int_{-h}^h \int_{-l}^l \sin\left(\frac{\pi m x}{l}\right) \sin\left(\frac{\pi n y}{h}\right) \sin\left(\frac{\pi i x}{l}\right) \sin\left(\frac{\pi j y}{h}\right) dx dy \\
& + \frac{2}{N} \sum_{m=0}^{K_1} \sum_{n=0}^{K_2} a_{m,n} \sum_{s=1}^N \cos\left(\frac{\pi m X_s}{l}\right) \cos\left(\frac{\pi n Y_s}{h}\right) \sin\left(\frac{\pi i X_s}{l}\right) \sin\left(\frac{\pi j Y_s}{h}\right) \\
& + \frac{2}{N} \sum_{m=0}^{K_1} \sum_{n=0}^{K_2} b_{m,n} \sum_{s=1}^N \sin\left(\frac{\pi m X_s}{l}\right) \cos\left(\frac{\pi n Y_s}{h}\right) \sin\left(\frac{\pi i X_s}{l}\right) \sin\left(\frac{\pi j Y_s}{h}\right) \\
& + \frac{2}{N} \sum_{m=0}^{K_1} \sum_{n=0}^{K_2} c_{m,n} \sum_{s=1}^N \cos\left(\frac{\pi m X_s}{l}\right) \sin\left(\frac{\pi n Y_s}{h}\right) \sin\left(\frac{\pi i X_s}{l}\right) \sin\left(\frac{\pi j Y_s}{h}\right) \\
& + \frac{2}{N} \sum_{m=0}^{K_1} \sum_{n=0}^{K_2} d_{m,n} \sum_{s=1}^N \sin\left(\frac{\pi m X_s}{l}\right) \sin\left(\frac{\pi n Y_s}{h}\right) \sin\left(\frac{\pi i X_s}{l}\right) \sin\left(\frac{\pi j Y_s}{h}\right) \\
& - \frac{2}{N} \sum_{s=1}^N Z_s \sin\left(\frac{\pi i X_s}{l}\right) \sin\left(\frac{\pi j Y_s}{h}\right)
\end{aligned}$$

y factorizando los términos que dependen de  $d_{m,n}$

$$\begin{aligned}
\frac{\partial \mathcal{L}}{\partial d_{i,j}} &= \frac{2}{N} \sum_{m=0}^{K_1} \sum_{n=0}^{K_2} a_{m,n} \sum_{s=1}^N \cos\left(\frac{\pi m X_s}{l}\right) \cos\left(\frac{\pi n Y_s}{h}\right) \sin\left(\frac{\pi i X_s}{l}\right) \sin\left(\frac{\pi j Y_s}{h}\right) \\
& + \frac{2}{N} \sum_{m=0}^{K_1} \sum_{n=0}^{K_2} b_{m,n} \sum_{s=1}^N \sin\left(\frac{\pi m X_s}{l}\right) \cos\left(\frac{\pi n Y_s}{h}\right) \sin\left(\frac{\pi i X_s}{l}\right) \sin\left(\frac{\pi j Y_s}{h}\right) \\
& + \frac{2}{N} \sum_{m=0}^{K_1} \sum_{n=0}^{K_2} c_{m,n} \sum_{s=1}^N \cos\left(\frac{\pi m X_s}{l}\right) \sin\left(\frac{\pi n Y_s}{h}\right) \sin\left(\frac{\pi i X_s}{l}\right) \sin\left(\frac{\pi j Y_s}{h}\right) \\
& + \sum_{m=0}^{K_1} \sum_{n=0}^{K_2} d_{m,n} \left[ 4\lambda \frac{\pi^4}{l^2 h^2} m n i j \int_{-h}^h \int_{-l}^l \cos\left(\frac{\pi m x}{l}\right) \cos\left(\frac{\pi n y}{h}\right) \cos\left(\frac{\pi i x}{l}\right) \cos\left(\frac{\pi j y}{h}\right) dx dy \right. \\
& + 2\lambda \left( \left(\frac{\pi}{l}\right)^4 m^2 i^2 + \left(\frac{\pi}{h}\right)^4 n^2 j^2 \right) \int_{-h}^h \int_{-l}^l \sin\left(\frac{\pi m x}{l}\right) \sin\left(\frac{\pi n y}{h}\right) \sin\left(\frac{\pi i x}{l}\right) \sin\left(\frac{\pi j y}{h}\right) dx dy \\
& \left. + \frac{2}{N} \sum_{s=1}^N \sin\left(\frac{\pi m X_s}{l}\right) \sin\left(\frac{\pi n Y_s}{h}\right) \sin\left(\frac{\pi i X_s}{l}\right) \sin\left(\frac{\pi j Y_s}{h}\right) \right] \\
& - \frac{2}{N} \sum_{s=1}^N Z_s \sin\left(\frac{\pi i X_s}{l}\right) \sin\left(\frac{\pi j Y_s}{h}\right)
\end{aligned} \tag{A.17}$$

Derivamos (A.14) respecto a  $a_{m,n}$ ,  $b_{m,n}$ ,  $c_{m,n}$  y  $d_{m,n}$  para obtener

$$\begin{aligned}
\frac{\partial^2 \mathcal{L}}{\partial a_{i,j} a_{m,n}} &= 4\lambda \frac{\pi^4}{l^2 h^2} m n i j \int_{-h}^h \int_{-l}^l \sin\left(\frac{\pi m x}{l}\right) \sin\left(\frac{\pi n y}{h}\right) \sin\left(\frac{\pi i x}{l}\right) \sin\left(\frac{\pi j y}{h}\right) dx dy \\
&+ 2\lambda \left( \left(\frac{\pi}{l}\right)^4 m^2 i^2 + \left(\frac{\pi}{h}\right)^4 n^2 j^2 \right) \int_{-h}^h \int_{-l}^l \cos\left(\frac{\pi m x}{l}\right) \cos\left(\frac{\pi n y}{h}\right) \cos\left(\frac{\pi i x}{l}\right) \cos\left(\frac{\pi j y}{h}\right) dx dy \\
&\quad + \frac{2}{N} \sum_{s=1}^N \cos\left(\frac{\pi m X_s}{l}\right) \cos\left(\frac{\pi n Y_s}{h}\right) \cos\left(\frac{\pi i X_s}{l}\right) \cos\left(\frac{\pi j Y_s}{h}\right) \\
\frac{\partial^2 \mathcal{L}}{\partial a_{i,j} b_{m,n}} &= \frac{2}{N} \sum_{s=1}^N \sin\left(\frac{\pi m X_s}{l}\right) \cos\left(\frac{\pi n Y_s}{h}\right) \cos\left(\frac{\pi i X_s}{l}\right) \cos\left(\frac{\pi j Y_s}{h}\right) \\
\frac{\partial^2 \mathcal{L}}{\partial a_{i,j} c_{m,n}} &= \frac{2}{N} \sum_{s=1}^N \cos\left(\frac{\pi m X_s}{l}\right) \sin\left(\frac{\pi n Y_s}{h}\right) \cos\left(\frac{\pi i X_s}{l}\right) \cos\left(\frac{\pi j Y_s}{h}\right) \\
\frac{\partial^2 \mathcal{L}}{\partial a_{i,j} d_{m,n}} &= \frac{2}{N} \sum_{s=1}^N \sin\left(\frac{\pi m X_s}{l}\right) \sin\left(\frac{\pi n Y_s}{h}\right) \cos\left(\frac{\pi i X_s}{l}\right) \cos\left(\frac{\pi j Y_s}{h}\right)
\end{aligned}$$

Luego derivamos (A.15) respecto a  $b_{m,n}$ ,  $c_{m,n}$  y  $d_{m,n}$  obteniendo

$$\begin{aligned}
\frac{\partial^2 \mathcal{L}}{\partial b_{i,j} b_{m,n}} &= 4\lambda \frac{\pi^4}{l^2 h^2} m n i j \int_{-h}^h \int_{-l}^l \cos\left(\frac{\pi m x}{l}\right) \sin\left(\frac{\pi n y}{h}\right) \cos\left(\frac{\pi i x}{l}\right) \sin\left(\frac{\pi j y}{h}\right) dx dy \\
&+ 2\lambda \left( \left(\frac{\pi}{l}\right)^4 m^2 i^2 + \left(\frac{\pi}{h}\right)^4 n^2 j^2 \right) \int_{-h}^h \int_{-l}^l \sin\left(\frac{\pi m x}{l}\right) \cos\left(\frac{\pi n y}{h}\right) \sin\left(\frac{\pi i x}{l}\right) \cos\left(\frac{\pi j y}{h}\right) dx dy \\
&\quad + \frac{2}{N} \sum_{s=1}^N \sin\left(\frac{\pi m X_s}{l}\right) \cos\left(\frac{\pi n Y_s}{h}\right) \sin\left(\frac{\pi i X_s}{l}\right) \cos\left(\frac{\pi j Y_s}{h}\right) \\
\frac{\partial^2 \mathcal{L}}{\partial b_{i,j} c_{m,n}} &= \frac{2}{N} \sum_{s=1}^N \cos\left(\frac{\pi m X_s}{l}\right) \sin\left(\frac{\pi n Y_s}{h}\right) \sin\left(\frac{\pi i X_s}{l}\right) \cos\left(\frac{\pi j Y_s}{h}\right) \\
\frac{\partial^2 \mathcal{L}}{\partial b_{i,j} d_{m,n}} &= \frac{2}{N} \sum_{s=1}^N \sin\left(\frac{\pi m X_s}{l}\right) \sin\left(\frac{\pi n Y_s}{h}\right) \sin\left(\frac{\pi i X_s}{l}\right) \cos\left(\frac{\pi j Y_s}{h}\right)
\end{aligned}$$

Después derivamos (A.16) respecto a  $c_{m,n}$  y  $d_{m,n}$  para obtener

$$\begin{aligned}
\frac{\partial^2 \mathcal{L}}{\partial c_{i,j} c_{m,n}} &= 4\lambda \frac{\pi^4}{l^2 h^2} m n i j \int_{-h}^h \int_{-l}^l \sin\left(\frac{\pi m x}{l}\right) \cos\left(\frac{\pi n y}{h}\right) \sin\left(\frac{\pi i x}{l}\right) \cos\left(\frac{\pi j y}{h}\right) dx dy \\
&+ 2\lambda \left( \left(\frac{\pi}{l}\right)^4 m^2 i^2 + \left(\frac{\pi}{h}\right)^4 n^2 j^2 \right) \int_{-h}^h \int_{-l}^l \cos\left(\frac{\pi m x}{l}\right) \sin\left(\frac{\pi n y}{h}\right) \cos\left(\frac{\pi i x}{l}\right) \sin\left(\frac{\pi j y}{h}\right) dx dy \\
&\quad + \frac{2}{N} \sum_{s=1}^N \cos\left(\frac{\pi m X_s}{l}\right) \sin\left(\frac{\pi n Y_s}{h}\right) \cos\left(\frac{\pi i X_s}{l}\right) \sin\left(\frac{\pi j Y_s}{h}\right)
\end{aligned}$$

$$\frac{\partial^2 \mathcal{L}}{\partial c_{i,j} d_{m,n}} = \frac{2}{N} \sum_{s=1}^N \sin\left(\frac{\pi m X_s}{l}\right) \sin\left(\frac{\pi n Y_s}{h}\right) \cos\left(\frac{\pi i X_s}{l}\right) \sin\left(\frac{\pi j Y_s}{h}\right)$$

Finalmente derivamos (A.17) respecto a  $d_{m,n}$

$$\begin{aligned} \frac{\partial^2 \mathcal{L}}{\partial d_{i,j} d_{m,n}} &= 4\lambda \frac{\pi^4}{l^2 h^2} m n i j \int_{-h}^h \int_{-l}^l \cos\left(\frac{\pi m x}{l}\right) \cos\left(\frac{\pi n y}{h}\right) \cos\left(\frac{\pi i x}{l}\right) \cos\left(\frac{\pi j y}{h}\right) dx dy \\ &+ 2\lambda \left( \left(\frac{\pi}{l}\right)^4 m^2 i^2 + \left(\frac{\pi}{h}\right)^4 n^2 j^2 \right) \int_{-h}^h \int_{-l}^l \sin\left(\frac{\pi m x}{l}\right) \sin\left(\frac{\pi n y}{h}\right) \sin\left(\frac{\pi i x}{l}\right) \sin\left(\frac{\pi j y}{h}\right) dx dy \\ &+ \frac{2}{N} \sum_{s=1}^N \sin\left(\frac{\pi m X_s}{l}\right) \sin\left(\frac{\pi n Y_s}{h}\right) \sin\left(\frac{\pi i X_s}{l}\right) \sin\left(\frac{\pi j Y_s}{h}\right) \end{aligned}$$

Notar que no es necesario calcular las otras entradas del Hessiano  $\Delta^2 \mathcal{L}$  pues éste es simétrico.

# Apéndice B

## Código Fortran

El siguiente código calcula  $\Delta^2\mathcal{L}$  y  $\vec{b}$  en paralelo empleando MPI y Fortran usando las fórmulas de la sección anterior. Como la matriz es simétrica sólo se calculan los 10 bloques encima de la diagonal principal. El Hessiano es dividido en dos matrices

$$\Delta^2\mathcal{L} = He1 + \lambda He2 \tag{B.1}$$

donde  $He2$  es la matriz que contiene las dobles integrales y  $He1$  los demás términos. Esto es con la finalidad de calcular varias soluciones para distintos valores del parámetro de suavidad  $\lambda$  sin tener que calcular  $\Delta^2\mathcal{L}$  otra vez.

El código usa 10 procesadores, indizados de 0 a 9, para calcular los 10 bloques encima de la diagonal principal de  $\Delta^2\mathcal{L}$  (o más bien los 20 bloques, 10 de  $He1$  y 10 de  $He2$ ). Primero, en el procesador 0, leemos los datos del archivo "glacier.txtz los guardamos en la matriz D. El vector  $\vec{b}$  se calcula en la variable `b_vec` y también se calcula el primer bloque de las matrices  $He1$  y  $He2$ .

Luego, para los procesadores 1,...,9 se calculan los bloques correspondientes

en la variable auxiliar *Hesub* y se envían al procesador 0 para ser guardados en *He1* y *He2*. Para saber que entradas de *He1* y *He2* le corresponde a cada procesador hacemos uso de la función

$$\phi(i, j, K_2) = i \cdot (K_2 + 1) + j + 1 \text{ for } 0 \leq i \leq K_1 \text{ and } \quad (\text{B.2})$$

Ésta función calcula el índice de la fila (dados *i* y *j*) o el índice de la columna (dados *m*, *n*) de las matrices *He1* y *He2*.

```

1 program SDFFS
2 use funcs_SDFFS
3 use mpi
4 implicit none
5
6 integer, dimension (mpi_status_size) :: statusMPI
7 integer :: mynode, tn, error_number
8
9 integer, parameter :: K1 = 35
10 integer, parameter :: K2 = 35
11 integer, parameter :: NN = 8345 !This is the number of rows (points) in Data file
12 integer :: i,j,m,n, aux
13 real :: l,h, t1, t2 !Wonder if I can define this variables as parameters
14 double precision :: pi !Wonder if I can define this variables as parameters
15 double precision, dimension(:,), allocatable :: D
16 double precision, dimension(:,), allocatable :: He1, He2
17 double precision, dimension(:,), allocatable :: Hesub1, Hesub2, Heaux
18 double precision, dimension(:,), allocatable :: b_vec
19
20 pi = 4*ATAN(1.0)
21 l=1.2 !I need to adjust this value
22 h=1.2 !I need to adjust this value
23 !lambda=0.0000000001 !I need to adjust this value
24 aux = (K1+1)*(K2+1)
25
26 call mpi_init(error_number)
27 call mpi_comm_size(mpi_comm_world, tn, error_number)
28 call mpi_comm_rank(mpi_comm_world, mynode, error_number)
29
30 t1 = mpi_wtime()
31
32 allocate(Hesub1(aux,aux))
33 allocate(Hesub2(aux,aux))
34 allocate(D(NN,3))
35
36 !Read data form DataFranke.txt file. This has to be in the same directory as the source file
37 open(unit=1,file="glacier.txt",status='old')
38 do i=1,NN
39     read(1,*) D(i,:)
40 end do
41 close(unit=1)
42
43 if (mynode == 0) then
44     allocate(b_vec(4*aux))
45     allocate(Heaux(aux,aux))
46     allocate(He1(4*aux,4*aux))
47     allocate(He2(4*aux,4*aux))
48     He1 = 0.0
49     He2 = 0.0
50     do i=0,K1
51         do j=0,K2
52             b_vec(phi(i,j,K2))=(2.0/NN)*SUM(D(:,3)*COS(pi*dble(i)*D(:,1)/l)*COS(pi*dble(j)*D(:,2)/h))
53             b_vec(phi(i,j,K2)+aux)=(2.0/NN)*SUM(D(:,3)*SIN(pi*dble(i)*D(:,1)/l)*COS(pi*dble(j)*D(:,2)/h))
54             b_vec(phi(i,j,K2)+2*aux)=(2.0/NN)*SUM(D(:,3)*COS(pi*dble(i)*D(:,1)/l)*SIN(pi*dble(j)*D(:,2)/h))
55             b_vec(phi(i,j,K2)+3*aux)=(2.0/NN)*SUM(D(:,3)*SIN(pi*dble(i)*D(:,1)/l)*SIN(pi*dble(j)*D(:,2)/h))
56         end do
57     end do
58
59     open(unit=0,file="b_vec.txt",ACTION="write")
60     do j=1,4*(K1+1)*(K2+1)

```

```

61     write(0,'(1000F14.7)' ) dble(b_vec(j))
62 end do
63 close(unit=0)
64 deallocate(b_vec)
65 print *, 'rhs vector saved'
66 end if
67
68 if (mynode == 0) then
69     do i = 0,K1
70         do j = 0,K2
71             do m = 0, K1
72                 do n = 0,K2
73                     !Delta^2L_{1,1} This matrix block contains partial^2L/(partial a_{i,j} partial a_{m,n})
74                     He1(phi(i,j,K2),phi(m,n,K2))=(2.0/NN)*SUM(COS(pi*m*D(:,1)*(1**(-1)))*COS(pi*n*D(:,2)*(h**(-1)))*&
75                     COS(pi*i*D(:,1)*(1**(-1)))*COS(pi*j*D(:,2)*(h**(-1))))
76                     He2(phi(i,j,K2),phi(m,n,K2))=4*(pi**4)/((1**2)*(h**2))*m*n*i*j*int_sin4(m,n,i,j,l,h)+&
77                     2*((pi/l)**4*m**2*i**2 + (pi/h)**4*(n**2)*(j**2) )*int_cos4(m,n,i,j,l,h)
78                     !end Delta^2L_{1,1} This matrix block contains partial^2L/(partial a_{i,j} partial a_{m,n})
79                 end do
80             end do
81         end do
82     end do
83 end if
84 if (mynode == 1) then
85     do i = 0,K1
86         do j = 0,K2
87             do m = 0, K1
88                 do n = 0,K2
89                     !Delta^2L_{1,2} This matrix block contains partial^2L/(partial a_{i,j} partial b_{m,n})
90                     Hesub1(phi(i,j,K2),phi(m,n,K2))=(2.0/NN)*SUM(SIN(pi*m*D(:,1)*(1**(-1)))*COS(pi*n*D(:,2)*(h**(-1)))*&
91                     COS(pi*i*D(:,1)*(1**(-1)))*COS(pi*j*D(:,2)*(h**(-1))))
92                     !end Delta^2L_{1,2} This matrix block contains partial^2L/(partial a_{i,j} partial b_{m,n})
93                 end do
94             end do
95         end do
96     end do
97     !Send to processor 0 with label 1
98     call mpi_send(Hesub1(1,1),aux*aux,mpi_double_precision,0,1,mpi_comm_world,error_number)
99 end if
100 if (mynode == 0) then
101     !Receive from processor 1 with label 1
102     call mpi_recv(Heaux(1,1),aux*aux,mpi_double_precision,1,1,mpi_comm_world,statusMPI,error_number)
103     He1(1:aux,aux+1:2*aux)=Heaux
104 end if
105 if (mynode == 2) then
106     do i = 0,K1
107         do j = 0,K2
108             do m = 0, K1
109                 do n = 0,K2
110                     !Delta^2L_{1,3} This matrix block contains partial^2L/(partial a_{i,j} partial c_{m,n})
111                     Hesub1(phi(i,j,K2),phi(m,n,K2))=(2.0/NN)*SUM(COS(pi*m*D(:,1)*(1**(-1)))*SIN(pi*n*D(:,2)*(h**(-1)))*&
112                     COS(pi*i*D(:,1)*(1**(-1)))*COS(pi*j*D(:,2)*(h**(-1))))
113                     !end Delta^2L_{1,3} This matrix block contains partial^2L/(partial a_{i,j} partial c_{m,n})
114                 end do
115             end do
116         end do
117     end do
118     !Send to processor 0 with label 2
119     call mpi_send(Hesub1(1,1),aux*aux,mpi_double_precision,0,2,mpi_comm_world,error_number)
120 end if
121 if (mynode==0) then
122     !Receive from processor 2 with label 2
123     call mpi_recv(Heaux(1,1),aux*aux,mpi_double_precision,2,2,mpi_comm_world,statusMPI,error_number)
124     He1(1:aux,2*aux+1:3*aux)=Heaux
125 end if
126 if (mynode == 3) then
127     do i = 0,K1
128         do j = 0,K2
129             do m = 0, K1
130                 do n = 0,K2
131                     !Delta^2L_{1,4} This matrix block contains partial^2L/(partial a_{i,j} partial d_{m,n})
132                     Hesub1(phi(i,j,K2),phi(m,n,K2))=(2.0/NN)*SUM(SIN(pi*m*D(:,1)*(1**(-1)))*SIN(pi*n*D(:,2)*(h**(-1)))*&
133                     COS(pi*i*D(:,1)*(1**(-1)))*COS(pi*j*D(:,2)*(h**(-1))))
134                     !end Delta^2L_{1,4} This matrix block contains partial^2L/(partial a_{i,j} partial d_{m,n})
135                 end do
136             end do
137         end do
138     end do
139     !Send to processor 0 with label 3
140     call mpi_send(Hesub1(1,1),aux*aux,mpi_double_precision,0,3,mpi_comm_world,error_number)
141 end if
142 if (mynode==0) then
143     !Receive from processor 3 with label 3

```

```

144 call mpi_recv(Heaux(1,1),aux*aux,mpi_double_precision,3,3,mpi_comm_world,statusMPI,error_number)
145 He1(1:aux,3*aux+1:4*aux)=Heaux
146 end if
147 if (mynode == 4) then
148   do i = 0,K1
149     do j = 0,K2
150       do m = 0, K1
151         do n = 0,K2
152           !Delta^2L_{2,2} This matrix block contains partial^2L/(partial b_{i,j} partial b_{m,n})
153           Hesub1(phi(i,j,K2),phi(m,n,K2))=(2.0/NN)*SUM(SIN(pi*m*D(:,1)*(1*(-1)))&
154             COS(pi*n*D(:,2)*(h*(-1)))&
155             SIN(pi*i*D(:,1)*(1*(-1)))&
156             COS(pi*j*D(:,2)*(h*(-1))))
157           Hesub2(phi(i,j,K2),phi(m,n,K2))=4*(pi**4)/((1*2)*(h**2))*m*n*i*j*int_sincossin(m,n,i,j,l,h)+&
158             2*((pi/1)**4*m**2*i**2 + (pi/h)**4*(n**2)*(j**2) )*int_sincossin(m,n,i,j,l,h)
159           !end Delta^2L_{2,2} This matrix block contains partial^2L/(partial b_{i,j} partial b_{m,n})
160         end do
161       end do
162     end do
163   end do
164   !Send to processor 0 with label 4
165   call mpi_send(Hesub1(1,1),aux*aux,mpi_double_precision,0,4,mpi_comm_world,error_number)
166   !Send to processor 0 with label 5
167   call mpi_send(Hesub2(1,1),aux*aux,mpi_double_precision,0,5,mpi_comm_world,error_number)
168 end if
169 if (mynode==0) then
170   !Receive from processor 4 with label 4
171   call mpi_recv(Heaux(1,1),aux*aux,mpi_double_precision,4,4,mpi_comm_world,statusMPI,error_number)
172   He1(aux+1:2*aux,aux+1:2*aux)=Heaux
173   !Receive from processor 4 with label 5
174   call mpi_recv(Heaux(1,1),aux*aux,mpi_double_precision,4,5,mpi_comm_world,statusMPI,error_number)
175   He2(aux+1:2*aux,aux+1:2*aux)=Heaux
176 end if
177 if (mynode == 5) then
178   do i = 0,K1
179     do j = 0,K2
180       do m = 0, K1
181         do n = 0,K2
182           !Delta^2L_{2,3} This matrix block contains partial^2L/(partial b_{i,j} partial c_{m,n})
183           Hesub1(phi(i,j,K2),phi(m,n,K2))=(2.0/NN)*SUM(COS(pi*m*D(:,1)*(1*(-1)))&
184             SIN(pi*n*D(:,2)*(h*(-1)))&
185             SIN(pi*i*D(:,1)*(1*(-1)))&
186             COS(pi*j*D(:,2)*(h*(-1))))
187           !end Delta^2L_{2,3} This matrix block contains partial^2L/(partial b_{i,j} partial c_{m,n})
188         end do
189       end do
190     end do
191   end do
192   !Send to processor 0 with label 6
193   call mpi_send(Hesub1(1,1),aux*aux,mpi_double_precision,0,6,mpi_comm_world,error_number)
194 end if
195 if (mynode==0) then
196   !Receive from processor 5 with label 6
197   call mpi_recv(Heaux(1,1),aux*aux,mpi_double_precision,5,6,mpi_comm_world,statusMPI,error_number)
198   He1(aux+1:2*aux,2*aux+1:3*aux)=Heaux
199 end if
200 if (mynode == 6) then
201   do i = 0,K1
202     do j = 0,K2
203       do m = 0, K1
204         do n = 0,K2
205           !Delta^2L_{2,4} This matrix block contains partial^2L/(partial b_{i,j} partial d_{m,n})
206           Hesub1(phi(i,j,K2),phi(m,n,K2))=(2.0/NN)*SUM(SIN(pi*m*D(:,1)*(1*(-1)))&
207             SIN(pi*n*D(:,2)*(h*(-1)))&
208             SIN(pi*i*D(:,1)*(1*(-1)))&
209             COS(pi*j*D(:,2)*(h*(-1))))
210           !end Delta^2L_{2,4} This matrix block contains partial^2L/(partial b_{i,j} partial d_{m,n})
211         end do
212       end do
213     end do
214   end do
215   !Send to processor 0 with label 7
216   call mpi_send(Hesub1(1,1),aux*aux,mpi_double_precision,0,7,mpi_comm_world,error_number)
217 end if
218 if (mynode==0) then
219   !Receive from processor 6 with label 7
220   call mpi_recv(Heaux(1,1),aux*aux,mpi_double_precision,6,7,mpi_comm_world,statusMPI,error_number)
221   He1(aux+1:2*aux,3*aux+1:4*aux)=Heaux
222 end if
223 if (mynode == 7) then
224   do i = 0,K1
225     do j = 0,K2
226       do m = 0, K1
227         do n = 0,K2
228           !Delta^2L_{3,3} This matrix block contains partial^2L/(partial c_{i,j} partial c_{m,n})
229           Hesub1(phi(i,j,K2),phi(m,n,K2))=(2.0/NN)*SUM(COS(pi*m*D(:,1)*(1*(-1)))&
230             SIN(pi*n*D(:,2)*(h*(-1)))&
231             COS(pi*i*D(:,1)*(1*(-1)))&
232             SIN(pi*j*D(:,2)*(h*(-1))))
233           Hesub2(phi(i,j,K2),phi(m,n,K2))=4*(pi**4)/((1*2)*(h**2))*m*n*i*j*int_sincossin(m,n,i,j,l,h)+&
234             2*((pi/1)**4*m**2*i**2 + (pi/h)**4*(n**2)*(j**2) )*int_sincossin(m,n,i,j,l,h)

```

```

227         !end Delta^2L_{3,3} This matrix block contains partial^2L/(partial c_{i,j} partial c_{m,n})
228     end do
229 end do
230 end do
231 end do
232 !Send to processor 0 with label 8
233 call mpi_send(Hesub1(1,1),aux*aux,mpi_double_precision,0,8,mpi_comm_world,error_number)
234 !Send to processor 0 with label 9
235 call mpi_send(Hesub2(1,1),aux*aux,mpi_double_precision,0,9,mpi_comm_world,error_number)
236 end if
237 if (mynode==0) then
238     !Receive from processor 7 with label 8
239     call mpi_recv(Heaux(1,1),aux*aux,mpi_double_precision,7,8,mpi_comm_world,statusMPI,error_number)
240     He1(2*aux+1:3*aux,2*aux+1:3*aux)=Heaux
241     !Receive from processor 7 with label 9
242     call mpi_recv(Heaux(1,1),aux*aux,mpi_double_precision,7,9,mpi_comm_world,statusMPI,error_number)
243     He2(2*aux+1:3*aux,2*aux+1:3*aux)=Heaux
244 end if
245 if (mynode == 8) then
246     do i = 0,K1
247         do j = 0,K2
248             do m = 0, K1
249                 do n = 0,K2
250                     !Delta^2L_{3,4} This matrix block contains partial^2L/(partial c_{i,j} partial d_{m,n})
251                     Hesub1(phi(i,j,K2),phi(m,n,K2))=(2.0/NN)*SUM(SIN(pi*m*D(:,1)*(1**(-1)))*SIN(pi*n*D(:,2)*(h**(-1)))*&
252                         COS(pi*i*D(:,1)*(1**(-1)))*SIN(pi*j*D(:,2)*(h**(-1))))
253                     !end Delta^2L_{3,4} This matrix block contains partial^2L/(partial c_{i,j} partial d_{m,n})
254                 end do
255             end do
256         end do
257     end do
258     !Send to processor 0 with label 10
259     call mpi_send(Hesub1(1,1),aux*aux,mpi_double_precision,0,10,mpi_comm_world,error_number)
260 end if
261 if (mynode==0) then
262     !Receive from processor 8 with label 10
263     call mpi_recv(Heaux(1,1),aux*aux,mpi_double_precision,8,10,mpi_comm_world,statusMPI,error_number)
264     He1(2*aux+1:3*aux,3*aux+1:4*aux)=Heaux
265 end if
266 if (mynode == 9) then
267     do i = 0,K1
268         do j = 0,K2
269             do m = 0, K1
270                 do n = 0,K2
271                     !Delta^2L_{4,4} This matrix block contains partial^2L/(partial d_{i,j} partial d_{m,n})
272                     Hesub1(phi(i,j,K2),phi(m,n,K2))=(2.0/NN)*SUM(SIN(pi*m*D(:,1)*(1**(-1)))*SIN(pi*n*D(:,2)*(h**(-1)))*&
273                         SIN(pi*i*D(:,1)*(1**(-1)))*SIN(pi*j*D(:,2)*(h**(-1))))
274                     Hesub2(phi(i,j,K2),phi(m,n,K2))=4*(pi**4)/((1**2)*(h**2))*m*n*i*j*int_cos4(m,n,i,j,l,h)+&
275                         2*((pi/l)**4*m**2*i**2 + (pi/h)**4*(n**2)*(j**2) )*int_sin4(m,n,i,j,l,h)
276                     !end Delta^2L_{4,4} This matrix block contains partial^2L/(partial d_{i,j} partial d_{m,n})
277                 end do
278             end do
279         end do
280     end do
281     !Send to processor 0 with label 11
282     call mpi_send(Hesub1(1,1),aux*aux,mpi_double_precision,0,11,mpi_comm_world,error_number)
283     !Send to processor 0 with label 12
284     call mpi_send(Hesub2(1,1),aux*aux,mpi_double_precision,0,12,mpi_comm_world,error_number)
285 end if
286 if (mynode==0) then
287     !Receive from processor 9 with label 11
288     call mpi_recv(Heaux(1,1),aux*aux,mpi_double_precision,9,11,mpi_comm_world,statusMPI,error_number)
289     He1(3*aux+1:4*aux,3*aux+1:4*aux)=Heaux
290     !Receive from processor 9 with label 12
291     call mpi_recv(Heaux(1,1),aux*aux,mpi_double_precision,9,12,mpi_comm_world,statusMPI,error_number)
292     He2(3*aux+1:4*aux,3*aux+1:4*aux)=Heaux
293 end if
294
295 if (mynode==0) then
296     open(unit=1,file="He1.txt",ACTION="write")
297     do i=1,4*(K1+1)*(K2+1)
298         write(1, *) ( dble(He1(i,j)),j=1,4*(K1+1)*(K2+1) )
299     end do
300     close(unit=1)
301     open(unit=2,file="He2.txt",ACTION="write")
302     do i=1,4*(K1+1)*(K2+1)
303         write(2, *) ( dble(He2(i,j)),j=1,4*(K1+1)*(K2+1) )
304     end do
305     close(unit=2)
306
307 deallocate(He1)
308 deallocate(He2)
309 deallocate(Heaux)

```

```

310     print *, 'The Hessian was calculated'
311
312     t2 = mpi_wtime()
313
314     open(unit=3, file="elapsedTime.txt", ACTION="write")
315     write(3, *) (t2-t1)
316     close(unit=3)
317
318     print *, 'total time ', t2-t1
319 end if
320
321 deallocate(Hesub1)
322 deallocate(Hesub2)
323 deallocate(D)
324
325 call mpi_finalize(error-number)
326
327 contains
328 !The following function computes the row or column index of part of the matrix given i,j or m,n
329 !It is just one of the 16 blocks of the matrix
330 integer function phi(i,j,K2) result(s)
331     integer, intent(in) :: i
332     integer, intent(in) :: j
333     integer, intent(in) :: K2
334     s = i*(K2+1) + (j+1)
335 end function phi
336
337 end program SDFFS

```

El código anterior hace uso del módulo funcs\_SDFFS el cual contiene las funciones que calculan exactamente las integrales dadas en las tablas de la sección anterior.

```

1 module funcs_SDFFS
2
3     !double precision, parameter :: pi=4*atan(1.0)
4     !pi = 4*atan(1.0)
5 contains
6
7     double precision function int_cos4(m,n,i,j,l,h) result(y)
8
9     implicit none
10
11     integer, intent(in) :: m,n,i,j
12     real, intent(in) :: l,h
13     real :: pi
14
15     pi=4.0*atan(1.0)
16
17     if (m==0) then
18         if (n==0) then
19             if (i==0) then
20                 if (j==0) then
21                     y=4*h*1
22                 else
23                     y=(4*h*1*sin(j*pi))/(j*pi)
24                 end if
25             else
26                 if (j==0) then
27                     y=(4*h*1*sin(i*pi))/(i*pi)
28                 else
29                     y=(4*h*1*sin(i*pi)*sin(j*pi))/(i*j*pi**2)
30                 end if
31             end if
32         else
33             if (i==0) then
34                 if (j==0) then
35                     y=(4*h*1*sin(n*pi))/(n*pi)
36                 else
37                     if (n==j) then
38                         y=2*h*1+(h*1*sin(2*j*pi))/(j*pi)
39                     else
40                         y=(4*h*j*1*cos(n*pi)*sin(j*pi))/((j**2-n**2)*pi)-(4*h*1*n*cos(j*pi)*sin(n*pi))/((j**2-n**2)*pi)
41                     end if
42                 end if
43             else

```

```

44     if (j==0) then
45         y=(4*h*l*sin(i*pi)*sin(n*pi))/(i*n*pi**2)
46     else
47         if (n==j) then
48             y=(2*h*l*sin(i*pi))/(i*pi)+(h*l*sin(i*pi)*sin(2*j*pi))/(i*j*pi**2)
49         else
50             y=(4*h*j*l*cos(n*pi)*sin(i*pi)*sin(j*pi))/(i*(j**2-n**2)*pi**2)&
51               -(4*h*l*n*cos(j*pi)*sin(i*pi)*sin(n*pi))/(i*(j**2-n**2)*pi**2)
52         end if
53     end if
54 end if
55 end if
56 else
57     if (n==0) then
58         if (i==0) then
59             if (j==0) then
60                 y=(4*h*l*sin(m*pi))/(m*pi)
61             else
62                 y=(4*h*l*sin(j*pi)*sin(m*pi))/(j*m*pi**2)
63             end if
64         else
65             if (j==0) then
66                 if (m==i) then
67                     y=2*h*l+(h*l*sin(2*i*pi))/(i*pi)
68                 else
69                     y=(2*h*l*sin((i-m)*pi))/((i-m)*pi)+(2*h*l*sin((i+m)*pi))/((i+m)*pi)
70                 end if
71             else
72                 if (m==i) then
73                     y=(2*h*l*sin(j*pi))/(j*pi)+(h*l*sin(2*i*pi)*sin(j*pi))/(i*j*pi**2)
74                 else
75                     y=(2*h*l*sin(j*pi)*sin((i-m)*pi))/(j*(i-m)*pi**2)+(2*h*l*sin(j*pi)*sin((i+m)*pi))/(j*(i+m)*pi**2)
76                 end if
77             end if
78         end if
79     else
80         if (i==0) then
81             if (j==0) then
82                 y=(4*h*l*sin(m*pi)*sin(n*pi))/(m*n*pi**2)
83             else
84                 if (n==j) then
85                     y=(2*h*l*sin(m*pi))/(m*pi) + (h*l*sin(2*j*pi)*sin(m*pi))/(j*m*pi**2)
86                 else
87                     y=(4*h*j*l*cos(n*pi)*sin(j*pi)*sin(m*pi))/(m*(j**2-n**2)*pi**2)&
88                       -(4*h*l*n*cos(j*pi)*sin(m*pi)*sin(n*pi))/(m*(j**2-n**2)*pi**2)
89                 end if
90             end if
91         else
92             if (j==0) then
93                 if (m==i) then
94                     y=(2*h*l*sin(n*pi))/(n*pi)+(h*l*sin(2*i*pi)*sin(n*pi))/(i*n*pi**2)
95                 else
96                     y=(2*h*l*sin((i-m)*pi)*sin(n*pi))/((i-m)*n*pi**2)+(2*h*l*sin((i+m)*pi)*sin(n*pi))/((i+m)*n*pi**2)
97                 end if
98             else
99                 if (m==i) then
100                     if (n==j) then
101                         y=h*l+(h*l*sin(2*i*pi))/(2*i*pi)+(h*l*sin(2*j*pi))/(2*j*pi)&
102                           +(h*l*sin(2*i*pi)*sin(2*j*pi))/(4*i*j*pi**2)
103                     else
104                         y=(2*h*j*l*cos(n*pi)*sin(j*pi))/((j**2-n**2)*pi)&
105                           +(h*j*l*cos(n*pi)*sin(2*i*pi)*sin(j*pi))/(i*(j**2-n**2)*pi)&
106                           -(2*h*l*n*cos(j*pi)*sin(n*pi))/((j**2-n**2)*pi)&
107                           -(h*l*n*cos(j*pi)*sin(2*i*pi)*sin(n*pi))/(i*(j**2-n**2)*pi)
108                     end if
109                 else
110                     if (n==j) then
111                         y=(2*h*i*l*cos(m*pi)*sin(i*pi))/((i-m)*(i+m)*pi)&
112                           +(h*i*l*cos(m*pi)*sin(i*pi)*sin(2*j*pi))/(j*(i-m)*(i+m)*pi**2)&
113                           -(2*h*l*m*cos(i*pi)*sin(m*pi))/((i-m)*(i+m)*pi)&
114                           -(h*l*m*cos(i*pi)*sin(2*j*pi)*sin(m*pi))/(j*(i-m)*(i+m)*pi**2)
115                     else
116                         y=(4*h*i*j*l*cos(m*pi)*cos(n*pi)*sin(i*pi)*sin(j*pi))/((i-m)*(i+m)*(j**2-n**2)*pi**2)&
117                           -(4*h*j*l*m*cos(i*pi)*cos(n*pi)*sin(j*pi)*sin(m*pi))/((i-m)*(i+m)*(j**2-n**2)*pi**2)&
118                           -(4*h*i*l*n*cos(j*pi)*cos(m*pi)*sin(i*pi)*sin(n*pi))/((i-m)*(i+m)*(j**2-n**2)*pi**2)&
119                           +(4*h*l*m*n*cos(i*pi)*cos(j*pi)*sin(m*pi)*sin(n*pi))/((i-m)*(i+m)*(j**2-n**2)*pi**2)
120                     end if
121                 end if
122             end if
123         end if
124     end if
125 end if
126

```

```

127 end function int_cos4
128
129 !the prevooos function seems to be right. I tried once
130
131 double precision function int_sin4(m,n,i,j,l,h) result(y)
132
133 implicit none
134
135 integer, intent(in) :: m,n,i,j
136 real, intent(in) :: l,h
137 real :: pi
138
139 pi=4.0*atan(1.0)
140
141 if (m==0 .OR. n==0 .OR. i==0 .OR. j==0) then
142     y=0;
143 else
144     if (m==i) then
145         if (n==j) then
146             y=h*1-(h*1*sin(2*i*pi))/(2*i*pi)-(h*1*sin(2*j*pi))/(2*j*pi)+&
147             (h*1*sin(2*i*pi)*sin(2*j*pi))/(4*i*j*pi**2)
148         else
149             y=(2*h*1*n*cos(n*pi)*sin(j*pi))/((j**2-n**2)*pi)-&
150             (h*1*n*cos(n*pi)*sin(2*i*pi)*sin(j*pi))/(i*(j**2-n**2)*pi**2)-&
151             (2*h*j*1*cos(j*pi)*sin(n*pi))/((j**2-n**2)*pi)+&
152             (h*j*1*cos(j*pi)*sin(2*i*pi)*sin(n*pi))/(i*(j**2-n**2)*pi**2)
153         end if
154     else
155         if (n==j) then
156             y=(2*h*1*m*cos(m*pi)*sin(i*pi))/((i-m)*(i+m)*pi)-&
157             (h*1*m*cos(m*pi)*sin(i*pi)*sin(2*j*pi))/(j*(i-m)*(i+m)*pi**2)-&
158             (2*h*i*1*cos(i*pi)*sin(m*pi))/((i-m)*(i+m)*pi)+&
159             (h*i*1*cos(i*pi)*sin(2*j*pi)*sin(m*pi))/(j*(i-m)*(i+m)*pi**2)
160         else
161             y=(4*h*1*m*n*cos(m*pi)*cos(n*pi)*sin(i*pi)*sin(j*pi))/((i-m)*(i+m)*(j**2-n**2)*pi**2)-&
162             (4*h*i*1*n*cos(i*pi)*cos(n*pi)*sin(j*pi)*sin(m*pi))/((i-m)*(i+m)*(j**2-n**2)*pi**2)-&
163             (4*h*j*1*n*cos(j*pi)*cos(m*pi)*sin(i*pi)*sin(n*pi))/((i-m)*(i+m)*(j**2-n**2)*pi**2)+&
164             (4*h*i*j*1*cos(i*pi)*cos(j*pi)*sin(m*pi)*sin(n*pi))/((i-m)*(i+m)*(j**2-n**2)*pi**2)
165         end if
166     end if
167 end function int_sin4
168
169 !the prevooos function seems to be right. I tried once
170
171 double precision function int_sincossincos(m,n,i,j,l,h) result(y)
172
173 implicit none
174
175 integer, intent(in) :: m,n,i,j
176 real, intent(in) :: l,h
177 real :: pi
178
179 pi=4.0*atan(1.0)
180
181 if (m==0 .OR. i==0) then
182     y=0
183 else
184     if (n==0) then
185         if (j==0) then
186             if (m==i) then
187                 y=2*h*1-(h*1*sin(2*i*pi))/(i*pi)
188             else
189                 y=(2*h*1*sin((i-m)*pi))/((i-m)*pi)-(2*h*1*sin((i+m)*pi))/((i+m)*pi)
190             end if
191         else
192             if (m==i) then
193                 y=(2*h*1*sin(j*pi))/(j*pi)-(h*1*sin(2*i*pi)*sin(j*pi))/(i*j*pi**2)
194             else
195                 y=(2*h*1*sin(j*pi)*sin((i-m)*pi))/(j*(i-m)*pi**2)-&
196                 (2*h*1*sin(j*pi)*sin((i+m)*pi))/(j*(i+m)*pi**2)
197             end if
198         end if
199     else
200         if (j==0) then
201             if (m==i) then
202                 y=(2*h*1*sin(n*pi))/(n*pi)-(h*1*sin(2*i*pi)*sin(n*pi))/(i*n*pi**2)
203             else
204                 y=(2*h*1*sin((i-m)*pi)*sin(n*pi))/((i-m)*n*pi**2)-&
205                 (2*h*1*sin((i+m)*pi)*sin(n*pi))/((i+m)*n*pi**2)
206             end if
207         else
208             if (j==0) then
209                 if (m==i) then
210                     y=(2*h*1*sin(n*pi))/(n*pi)-(h*1*sin(2*i*pi)*sin(n*pi))/(i*n*pi**2)
211                 else
212                     y=(2*h*1*sin((i-m)*pi)*sin(n*pi))/((i-m)*n*pi**2)-&
213                     (2*h*1*sin((i+m)*pi)*sin(n*pi))/((i+m)*n*pi**2)
214                 end if
215             else
216                 if (m==i) then
217                     y=(2*h*1*sin(j*pi))/(j*pi)-(h*1*sin(2*i*pi)*sin(j*pi))/(i*j*pi**2)
218                 else
219                     y=(2*h*1*sin(j*pi)*sin((i-m)*pi))/(j*(i-m)*pi**2)-&
220                     (2*h*1*sin(j*pi)*sin((i+m)*pi))/(j*(i+m)*pi**2)
221                 end if
222             end if
223         end if
224     end if
225 end function int_sincossincos

```

```

210     if (m == i) then
211         if (n==j) then
212             y=h*1-(h*1*sin(2*i*pi))/(2*i*pi)+(h*1*sin(2*j*pi))/(2*j*pi)-&
213             (h*1*sin(2*i*pi)*sin(2*j*pi))/(4*i*j*pi**2)
214         else
215             y=(2*h*j*1*cos(n*pi)*sin(j*pi))/((j**2-n**2)*pi)-&
216             (h*j*1*cos(n*pi)*sin(2*i*pi)*sin(j*pi))/(i*(j**2-n**2)*pi)-&
217             (2*h*1*n*cos(j*pi)*sin(n*pi))/((j**2-n**2)*pi)+&
218             (h*1*n*cos(j*pi)*sin(2*i*pi)*sin(n*pi))/(i*(j**2-n**2)*pi)
219         end if
220     else
221         if (n==j) then
222             y=(2*h*1*m*cos(m*pi)*sin(i*pi))/((i-m)*(i+m)*pi)+&
223             (h*1*m*cos(m*pi)*sin(i*pi)*sin(2*j*pi))/(j*(i-m)*(i+m)*pi**2)-&
224             (2*h*1*cos(i*pi)*sin(m*pi))/((i-m)*(i+m)*pi)-&
225             (h*1*cos(i*pi)*sin(2*j*pi)*sin(m*pi))/(j*(i-m)*(i+m)*pi**2)
226         else
227             y=(4*h*j*1*m*cos(m*pi)*cos(n*pi)*sin(i*pi)*sin(j*pi))/((i-m)*(i+m)*(j**2-n**2)*pi**2)-&
228             (4*h*i*j*1*cos(i*pi)*cos(n*pi)*sin(j*pi)*sin(m*pi))/((i-m)*(i+m)*(j**2-n**2)*pi**2)-&
229             (4*h*1*m*n*cos(j*pi)*cos(m*pi)*sin(i*pi)*sin(n*pi))/((i-m)*(i+m)*(j**2-n**2)*pi**2)+&
230             (4*h*i*1*n*cos(i*pi)*cos(j*pi)*sin(m*pi)*sin(n*pi))/((i-m)*(i+m)*(j**2-n**2)*pi**2)
231         end if
232     end if
233 end if
234 end if
235 end if
236
237 end function int_sincossincos
238
239 !the previous function seems to be correct. I tried it once
240
241 double precision function int_cossincossin(m,n,i,j,l,h) result(y)
242
243 implicit none
244
245 integer, intent(in) :: m,n,i,j
246 real, intent(in) :: l,h
247 real :: pi
248
249 pi=4.0*atan(1.0)
250
251 if (n==0 .OR. j==0) then
252     y=0
253 else
254     if (m==0) then
255         if (i==0) then
256             if (n==j) then
257                 y=2*h*1-(h*1*sin(2*j*pi))/(j*pi)
258             else
259                 y=4*h*1*n*(cos(n*pi)*sin(j*pi))/((j**2-n**2)*pi)-&
260                 4*h*j*1*(cos(j*pi)*sin(n*pi))/((j**2-n**2)*pi)
261             end if
262         else
263             if (n==j) then
264                 y=(2*h*i*1*cos(m*pi)*sin(i*pi))/((i-m)*(i+m)*pi)-&
265                 (h*i*1*cos(m*pi)*sin(i*pi)*sin(2*j*pi))/(j*(i-m)*(i+m)*pi**2)-&
266                 (2*h*1*m*cos(i*pi)*sin(m*pi))/((i-m)*(i+m)*pi)+&
267                 (h*1*m*cos(i*pi)*sin(2*j*pi)*sin(m*pi))/(j*(i-m)*(i+m)*pi**2)
268             else
269                 y=4*h*1*n*(cos(n*pi)*sin(i*pi)*sin(j*pi))/(i*(j**2-n**2)*pi**2)-&
270                 4*h*j*1*(cos(j*pi)*sin(i*pi)*sin(n*pi))/(i*(j**2-n**2)*pi**2)
271             end if
272         end if
273     else
274         if (i==0) then
275             if (n==j) then
276                 y=(2*h*1*sin(m*pi))/(m*pi)-(h*1*sin(2*j*pi)*sin(m*pi))/(j*m*pi**2)
277             else
278                 y=4*h*1*n*(cos(n*pi)*sin(j*pi)*sin(m*pi))/(m*(j**2-n**2)*pi**2)-&
279                 4*h*j*1*(cos(j*pi)*sin(m*pi)*sin(n*pi))/(m*(j**2-n**2)*pi**2)
280             end if
281         else
282             if (n == j) then
283                 if (m==i) then
284                     y=h*1+(h*1*sin(2*i*pi))/(2*i*pi)-(h*1*sin(2*j*pi))/(2*j*pi)-&
285                     (h*1*sin(2*i*pi)*sin(2*j*pi))/(4*i*j*pi**2)
286                 else
287                     y=(2*h*i*1*cos(m*pi)*sin(i*pi))/((i-m)*(i+m)*pi)-&
288                     (h*i*1*cos(m*pi)*sin(i*pi)*sin(2*j*pi))/(j*(i-m)*(i+m)*pi**2)-&
289                     (2*h*1*m*cos(i*pi)*sin(m*pi))/((i-m)*(i+m)*pi)+&
290                     (h*1*m*cos(i*pi)*sin(2*j*pi)*sin(m*pi))/(j*(i-m)*(i+m)*pi**2)
291                 end if
292             else

```

```

293     if (m==i) then
294         y=(2*h*l*n*cos(n*pi)*sin(j*pi))/((j**2-n**2)*pi)+&
295           (h*l*n*cos(n*pi)*sin(2*i*pi)*sin(j*pi))/(i*(j**2-n**2)*pi**2)-&
296           (2*h*j*l*cos(j*pi)*sin(n*pi))/((j**2-n**2)*pi)-&
297           (h*j*l*cos(j*pi)*sin(2*i*pi)*sin(n*pi))/(i*(j**2-n**2)*pi**2)
298     else
299         y=(4*h*i*l*n*cos(m*pi)*cos(n*pi)*sin(i*pi)*sin(j*pi))/((i-m)*(i+m)*(j**2-n**2)*pi**2)-&
300           (4*h*l*m*n*cos(i*pi)*cos(n*pi)*sin(j*pi)*sin(m*pi))/((i-m)*(i+m)*(j**2-n**2)*pi**2)-&
301           (4*h*i*j*l*cos(j*pi)*cos(m*pi)*sin(i*pi)*sin(n*pi))/((i-m)*(i+m)*(j**2-n**2)*pi**2)+&
302           (4*h*j*l*m*cos(i*pi)*cos(j*pi)*sin(m*pi)*sin(n*pi))/((i-m)*(i+m)*(j**2-n**2)*pi**2)
303     end if
304 end if
305 end if
306 end if
307 end if
308
309 end function int_cossincosin
310
311 !The previous function seems to work correctly. I tried it once
312
313 end module funcs_SDFFS

```

Finalmente el vector de coeficientes de Fourier se calcula (en la variable coef)

usando el siguiente código MATLAB

```

1  %import vol87 skipping the first row (it contains metadata)
2  %and change its name to input_data
3  border_eps=0.1;
4  x_range=max(input_data(:,1))-min(input_data(:,1));
5  input_data(:,1)=(input_data(:,1)-min(input_data(:,1)))/x_range*(1-2*border_eps)-0.5+border_eps;
6
7  y_range=max(input_data(:,2))-min(input_data(:,2));
8  input_data(:,2)=(input_data(:,2)-min(input_data(:,2)))/y_range*(1-2*border_eps)-0.5+border_eps;
9
10 %plot3(input_data(:,1),input_data(:,2),input_data(:,3),'b')
11
12 dlmwrite('glacier.txt',input_data)
13
14 %run the fortran code and import He1.txt, He2.txt, and b_vec.txt
15 l=1.2;
16 h=1.2;
17 K1=35;
18 K2=35;
19 for i=1:4*(K1+1)*(K2+1)
20     for j=1:i
21         He1(i,j)=He1(j,i);
22     end
23 end
24
25 lambda=0.00000001;
26 He=He1+lambda*He2;
27 coef=pinv(He,0.0000001)*b_vec;
28 [u1,v1]=meshgrid(-1/3:0.005:1/3,-h/3:0.005:h/3);
29 s3=size(u1);
30 f_vals=zeros(s3(1),s3(2));
31 for i=1:s3(1)
32     for j=1:s3(2)
33         f_vals(i,j)=f_new(coef,u1(i,j),v1(i,j),K1,K2,l,h);
34     end
35 end
36 figure(1)
37 surf(u1,v1,f_vals)
38 colormap(bone);
39 shading interp
40 campos([3 -4.8 6741.3])
41 axis([-0.4,0.4,-0.4,0.4,1200,2200])
42 %%%%%%%%%%%This was done on Sep 2
43 c=min(input_data(:,3)):25:max(input_data(:,3));
44 figure(2)
45 contour(u1,v1,f_vals,c,'k')
46 %axis off
47 axis([min(min(u1)),max(max(u1)),min(min(v1)),max(max(v1))])
48 daspect([5 5 1])
49 figure(3)
50 plot(input_data(:,1),input_data(:,2),'k','MarkerSize',3);
51 %axis off
52 axis([min(input_data(:,1)),max(input_data(:,1)),min(input_data(:,2)),max(input_data(:,2))])
53 colormap(gray(256));
54 daspect([5 5 1])

```

Para calcular el valor de la serie de Fourier en un punto el código anterior usa la función

```
1 function z=f_new(coef,x,y,K1,K2,l,h)
2
3 [U,V]=meshgrid(x.*[0:K1],y.*[0:K2]);
4 %U=U'; V=V';
5 A=cos(pi*U/l).*cos(pi*V/h);
6 B=sin(pi*U/l).*cos(pi*V/h);
7 C=cos(pi*U/l).*sin(pi*V/h);
8 D=sin(pi*U/l).*sin(pi*V/h);
9 s=size(A);
10 value=s(1)*s(2);
11 z=horzcat(reshape(A,1,value),reshape(B,1,value),reshape(C,1,value),reshape(D,1,value))*reshape(coef,length(coef),1);
12 end
```

# Bibliografía

- Björck, A. (1996). *Numerical Methods for Least Squares Problems*. SIAM e-books. Society for Industrial y Applied Mathematics (SIAM, 3600 Market Street, Floor 6, Philadelphia, PA 19104). ISBN: 9781611971484. URL: <https://books.google.com.mx/books?id=6YCC9U9\1UkC>.
- Buhmann, M.D. (2003). *Radial Basis Functions: Theory and Implementations*. Cambridge Monographs on Applied and Computational Mathematics. Cambridge University Press. ISBN: 9781139435246. URL: <https://books.google.com.mx/books?id=TRMf53opzlsC>.
- Davydov, O. *Oleg Davydov's Home Page*. URL: <http://www.staff.uni-giessen.de/~gc1266/>.
- "Davydov, O." (2002). "On the approximation power of local least squares polynomials". En: *Proceeding Algorithms for Approximation IV*, págs. 346-353.
- Davydov, O., R. Morandi y A. Sestini (2006). "Local hybrid approximation for scattered data fitting with bivariate splines". En: *Computer Aided Geometric Design* 23.9, págs. 703 -721. ISSN: 0167-8396. DOI: <https://doi.org/10.1016/j.cagd.2006.04.001>. URL: <http://www.sciencedirect.com/science/article/pii/S0167839606000422>.
- Davydov, O. y L. L. Schumaker (2002). "On stable local bases for bivariate polynomial spline spaces". En: *Constructive Approximation* 18, págs. 87-116.
- Davydov, O., A. Sestini y R. Morandi (2005). "Local RBF Approximation for Scattered Data Fitting with Bivariate splines". En: *Trends and Applications in Constructive Approximations* 151, págs. 91-102.
- Davydov, O. y F. Zeilfelder (2004). "Scattered Data Fitting by Direct Extension of Local Polynomials to Bivariate Splines". En: *Advances in Computational Mathematics* 21.3, págs. 223-271. ISSN: 1572-9044. DOI: 10.1023/B:ACOM.0000032041.68678.fa. URL: <https://doi.org/10.1023/B:ACOM.0000032041.68678.fa>.
- Farin, G.E. (1993). *Curves and Surfaces for Computer Aided Geometric Design: A Practical Guide*. Computer science and scientific computing. Academic Press. ISBN: 9780122490521. URL: <https://books.google.com.mx/books?id=U\4YAQAIAAJ>.

- Fasshauer, G.E. (2007). *Meshfree Approximation Methods with MATLAB*. Interdisciplinary mathematical sciences. World Scientific. ISBN: 9789812706331. URL: <https://books.google.com.mx/books?id=gtqBdMEqryEC>.
- Franke, R. (1979). "A critical comparison of some methods for interpolation of scattered data". En: *Report NPS-53-79-003*.
- Grishin, D. y T. Strohmer (2003). "Fast multi-dimensional scattered data approximation with Neumann boundary conditions". En: *ArXiv Mathematics e-prints*. eprint: math/0301152.
- Kimeldorf, G. y G. Wahba (1971). "Some Results on Tchebycheffian Spline Functions". En: *Journal of Mathematical Analysis and Applications* 33, págs. 82-95.
- Kunis, S. y D. Potts (2007). "Stability Results for Scattered Data Interpolation by Trigonometric Polynomials". En: *ArXiv Mathematics e-prints*. eprint: math/0702019.
- Potts, D., G. Steidl y M. Tasche (2001). "Fast Fourier transforms for nonequispaced data: A tutorial". En: *Modern Sampling Theory: Mathematics and Applications*, págs. 247-270.
- Reincsh, C. H. (1967). "Smoothing by spline functions". En: *Numerische Mathematik* 10.3, págs. 177-183. ISSN: 0945-3245. DOI: 10.1007/BF02162161. URL: <https://doi.org/10.1007/BF02162161>.
- Sewchuk, J. R. (1994). "An Introduction to the Conjugate Gradient Method Without the Agonizing Pain". En: *Report*.
- Steidl, G. (1998). "A note on fast Fourier transforms for nonequispaced grids". En: *Advances in Computational Mathematics* 9.3, págs. 337-352. ISSN: 1572-9044. DOI: 10.1023/A:1018901926283. URL: <https://doi.org/10.1023/A:1018901926283>.
- Wendland, H. (2004). *Scattered Data Approximation*. Cambridge Monographs on Applied and Computational Mathematics. Cambridge University Press. ISBN: 9781139456654. URL: <https://books.google.com.mx/books?id=qy4cbwUmSyYC>.
- Zhou, T. y D. Han (2008). "A weighted least squares method for scattered data fitting". En: *Journal of Computational and Applied Mathematics* 217.1, págs. 56 -63. ISSN: 0377-0427. DOI: <https://doi.org/10.1016/j.cam.2007.06.015>. URL: <http://www.sciencedirect.com/science/article/pii/S0377042707003159>.